

FACULTAD DE CIENCIAS MATEMÁTICAS Y FÍSICA CARRERA DE INGENIERÍA CIVIL

TRABAJO DE TITULACIÓN PREVIO A LA OBTENCIÓN DEL TITULO DE

INGENIERO CIVIL

ESTRUCTURAS

ANÁLISIS DE VULNERABILIDAD SÍSMICA DE UNA EDIFICACIÓN DE 8 NIVELES CON EDIFICIOS CONTIGUOS CON LOSAS ALINEADAS Y NO ALINEADAS

AUTOR: ANTHONY JOSUE TERAN IBARRA

TUTOR: DANIEL DOUGLAS ITÚRBURU SALVADOR

GUAYAQUIL, OCTUBRE 2021

ii

Agradecimiento

Agradezco a cada uno de mis maestros que supieron guiarme en el proceso de formación como ingeniero civil, con sus enseñanzas y sabios conocimientos para llegar a este feliz término.

Por su apoyo desinteresado al Ing. Douglas Iturburu, que como director de esta investigación fue mi guía.

A todos y cada uno de mis compañeros de banca, que se convirtieron en mis amigos que día a día y con trabajo en equipo me animaron y ayudaron a que me levante una y otra vez, los llevare en mi corazón, fueron mis mejores años de vida.

Anthony Josué Terán Ibarra

iii

Dedicatoria

Dedico mi conocimiento plasmado en este proyecto de titulación a mi madre,

mi eterna gratitud a ella, quien con mucho amor, dedicación, paciencia y firmeza supo

formarme en valores para que pueda alcanzar las metas que me proponga. A mi

familia, quienes supieron aconsejarme y apoyarme a lo largo de esta ardua pero

satisfactoria trayectoria.

Sé que se sentirán muy orgullosos del ser que formaron.

Anthony Josué Terán Ibarra

Declaración Expresa

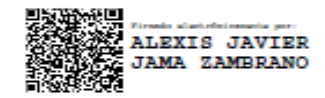
Artículo XI.- del Reglamento Interno de Graduación de la Facultad de Ciencias Matemáticas y Físicas de la Universidad de Guayaquil.

La responsabilidad de los hechos, ideas y doctrinas expuestas en este trabajo de titulación corresponden exclusivamente al autor y al Patrimonio Intelectual de la Universidad de Guayaquil

Anthony Josué Terán Ibarra

TRIBUNAL DE GRADUACIÓN





ING. ALEXIS JAMA ZAMBRANO, MSc. VOCAL

Firmado digitalmente por LENIN MARCELO MONCAYO

THEURER

ING. MARCELO MONCAYO THEURER, MSc. VOCAL

Nombre: Anthony Josué Terán Ibarra



ANEXO VI. - CERTIFICADO DEL DOCENTE- TUTOR DEL TRABAJO DE TITULACIÓN

FACULTAD: <u>CIENCIAS MATEMÁTICAS Y FÍSICAS</u> CARRERA: <u>INGENIERÍA CIVIL</u>

Guayaquil,

Ingeniero
Javier Córdova Rizo, MSc.
DIRECTOR DE LA CARRERA CIVIL
FACULTAD DE CIENCIAS MATEMÁTICAS Y FÍSICAS
UNIVERSIDAD DE GUAYAQUIL
Ciudad. -

De mis consideraciones:

Envío a Ud. el Informe correspondiente a la tutoría realizada al Trabajo de Titulación "ANÁLISIS DE VULNERABILIDAD SÍSMICA DE UNA EDIFICACIÓN DE 8 NIVELES CON EDIFICIOS CONTIGUOS CON LOSAS ALINEADAS Y NO ALINEADAS", del estudiante TERAN IBARRA ANTHONY JOSUE, indicando que ha cumplido con todos los parámetros establecidos en la normativa vigente:

- El trabajo es el resultado de una investigación.
- El estudiante demuestra conocimiento profesional integral.
- El trabajo presenta una propuesta en el área de conocimiento.
- El nivel de argumentación es coherente con el campo de conocimiento.

Adicionalmente, se adjunta el certificado de porcentaje de similitud y la valoración del trabajo de titulación con la respectiva calificación.

Dando por concluida esta tutoría de trabajo de titulación, **CERTIFICO**, para los fines pertinentes, que el estudiante está apto para continuar con el proceso de revisión final.

Atentamente,

Firmdo electrónicamente por DANIEL DOUGLAS
LE TURBURU
LE TURBURU
LE TURBURU
LE TURBURU

Ing. Daniel Douglas Iturburu Salvador

C.C.: 0907589154 FECHA: 16/09/2021



ANEXO VII.- CERTIFICADO PORCENTAJE DE SIMILITUD

FACULTAD: <u>CIENCIAS MATEMÁTICAS Y FÍSICAS</u> CARRERA: <u>INGENIERÍA CIVIL</u>

Habiendo sido nombrado DANIEL ITURBURU SALVADOR, tutor del trabajo de titulación certifico que el presente trabajo de titulación ha sido elaborado por TERAN IBARRA ANTHONY JOSUE con CI: 0932069297, con mi respectiva supervisión como requerimiento parcial para la obtención del título de: INGENIERO CIVIL.

Se informa que el trabajo de titulación: ANÁLISIS DE VULNERABILIDAD SÍSMICA DE UNA EDIFICACIÓN DE 8 NIVELES CON EDIFICIOS CONTIGUOS CON LOSAS ALINEADAS Y NO ALINEADAS", ha sido orientado durante todo el periodo de ejecución en el programa antiplagio URKUND quedando el 4% de coincidencia.



Urkund Analysis Result

Analysed Document: Tesis Anthony - Para enviar v1.docx (D112730192)

Submitted: 9/16/2021 6:40:00 PM

Submitted By: douglas.iturburus@ug.edu.ec

Significance: 4 %

Sources included in the report:

20190123 Albarracín Augusto.pdf (D47159515)

Ballesteros Salazar Kevin & Caizaguano Montero Diego URKUND.docx (D77551559)

TESIS-GALLARDO ROMEL.pdf (D105635359)

Tesis - Barreno Sánchez Ivette Thalía.pdf (D111000610)

https://docplayer.es/162190901-Universidad-central-del-ecuador.html

http://repositorio.puce.edu.ec/bitstream/handle/22000/12655/Tesis%20Almagro%20-%

20Paredes.pdf?sequence=1&isAllowed=y

Instances where selected sources appear:

16



Ing. Daniel Douglas Iturburu Salvador

C.C.: 0907589154 FECHA: 16/09/2021



ANEXO VIII.- INFORME DEL DOCENTE REVISOR

FACULTAD: CIENCIAS MATEMÁTICAS Y FÍSICAS CARRERA: INGENIERÍA CIVIL

Guayaguil, 01 de octubre del 2021

Ingeniero
Javier Córdova Rizo, MSc.
DIRECTOR DE LA CARRERA DE INGENIERIA CIVIL
FACULTAD CIENCIAS MATEMATICAS Y FISICAS
UNIVERSIDAD DE GUAYAQUIL
Ciudad. -

De mis consideraciones:

Envio a Ud. El Informe correspondiente a la REVISIÓN FINAL del Trabajo de Titulación "ANÁLISIS DE VULNERABILIDAD SÍSMICA DE UNA EDIFICACIÓN DE 8 NIVELES CON EDIFICIOS CONTIGUOS CON LOSAS ALINEADAS Y NO ALINEADAS" del estudiante ANTHONY JOSUÉ TERÁN IBARRA. Las gestiones realizadas me permiten indicar que el trabajo fue revisado considerando todos los parámetros establecidos en las normativas vigentes, en el cumplimento de los siguientes aspectos:

Cumplimiento de requisitos de forma:

- El título tiene un máximo de 19 palabras.
- La memoria escrita se ajusta a la estructura establecida.
- El documento se ajusta a las normas de escritura cientifica seleccionadas por la Facultad.
- La investigación es pertinente con la línea y sublineas de investigación de la carrera.
- Los soportes teóricos son de máximo 10 años.
- La propuesta presentada es pertinente.

Cumplimiento con el Reglamento de Régimen Académico:

- El trabajo es el resultado de una investigación.
- El estudiante demuestra conocimiento profesional integral.
- El trabajo presenta una propuesta en el área de conocimiento.
- El nivel de argumentación es coherente con el campo de conocimiento.

Adicionalmente, se indica que fue revisado, el certificado de porcentaje de similitud, la valoración del tutor, así como de las páginas preliminares solicitadas, lo cual indica el que el trabajo de investigación cumple con los requisitos exigidos.

Una vez concluida esta revisión, considero que el estudiante **ANTHONY JOSUÉ TERÁN IBARRA** está apto para continuar el proceso de titulación. Particular que comunicamos a usted para los fines pertinentes.

Atentamente,



Ing, Alexis Javier Jama Zambrano MSc. C.C. 092833943-1 FECHA: 01-OCTUBRE-2021



DECLARACIÓN DE AUTORÍA Y DE AUTORIZACIÓN DE LICENCIA GRATUITA INTRANSFERIBLE Y NO EXCLUSIVA PARA EL USO NO COMERCIAL DE LA OBRA CON FINES NO ACADÉMICOS

FACULTAD DE CIENCIAS MATEMATICAS Y FISICAS CARRERA DE INGENIERÍA CIVIL

LICENCIA GRATUITA INTRANSFERIBLE Y NO COMERCIAL DE LA OBRA CON FINES NO ACADÉMICOS

Yo, ANTHONY JOSUE TERAN IBARRA, con C.I. No. 0932069297; certifico que el contenido desarrollado en este trabajo de titulación, cuyo título es "ANÁLISIS DE VULNERABILIDAD SÍSMICA DE UNA EDIFICACIÓN DE 8 NIVELES CON EDIFICIOS CONTIGUOS CON LOSAS ALINEADAS Y NO ALINEADAS" es de mi absoluta propiedad y responsabilidad, en conformidad al Artículo 114 del CÓDIGO ORGÁNICO DE LA ECONOMÍA SOCIAL DE LOS CONOCIMIENTOS, CREATIVIDAD E INNOVACIÓN*, autorizo la utilización de una licencia gratuita intransferible, para el uso no comercial de la presente obra a favor de la Universidad de Guayaquil.

Anthony Josué Terán Ibarra

C.C. 0932069297

INDICE GENERAL

CAPÍTULO I

(3	Δ	n	Δ	ra	li	hi	a	d	ρς	2
•	_	G		ᆫ	ıa	ш	u	а	u	C :	3

1.1 Introducción	1
1.2 Planteamiento del Problema	1
1.3 Justificación e Importancia	3
1.4 Objetivo de la investigación	
1.4.1 Objetivo General	
1.4.2 Objetivos específicos	
1.5 Metodología	4
CAPÍTULO II	
Marco Teórico	
2.1 Sismicidad y Geodinámica del Ecuador	5
2.1.1 Sismicidad	
2.1.2 Geodinámica	
2.2 Sismo	
2.2.1 Zonificación Sísmica	
2.2.2 Vulnerabilidad sísmica	
2.2.3 Clases de Vulnerabilidad Sismica	
2.2.3.2 Vulnerabilidad No Estructural	11
2.2.4 Riesgo Sísmico.	
2.3 Métodos para evaluación de la vulnerabilidad sísmica de edificaciones	
2.3.1 Propuesta metodológica de la Secretaría Nacional de Gestión de Riesg	
(SNGR)	.13
2.3.2 Metodología la Norma Ecuatoriana de la Construcción NEC, propuesta	
la Guía Práctica para Evaluación Sísmica y Rehabilitación de Estructuras	
2.3.3 Método ATC 21 (FEMA P-154)	. 35
CAPÍTULO III	
Análisis de Vulnerabilidad Sísmica Aplicando el Método Mecánio	СО
no Lineal Estático (Pushover) Utilizando el Software ETABS	
3.1.1 Sistema Porticado	
3.1.2 Viga, Columna y Losa	
3.1.3 Código ACI 318-19	
3.1.4 Código AISC 360-16	
3.1.5 Norma NEC-15	
3.1.7 Análisis no Lineal Estático Pushover	57 57
3.1.8 Parámetros Utilizados en el Análisis Estructural	
3.1.9 Parámetros del Espectro de Respuesta Sísmica	
3.2 Metodología Pushover	

3.2.1 Condiciones para Realizar Pushover	61
3.2.2 Fuerzas Laterales	62
3.2.3 Rotulas Plásticas en los Elementos	
3.2.4 Caso de Carga no Lineal Pushover	
3.2.5 Espectro de Demanda Sísmica	
3.2.6 Análisis Pushover	
3.2.6.1 Análisis de la Rotulas Plásticas	70
3.2.6.2 Resultados del Método de los Coeficiente ASCE 41-13	
3.2.6.3 Límites de Aceptación	
3.3 Análisis de Vulnerabilidad Sísmica Aplicando la Metodología Propuesta po	
Secretaría Nacional de Gestión de Riesgos (SNGR)	n la e 90
CAPÍTULO IV	
Resultados 4.1 Observaciones Finales del Análisis no Lineal Estático (Pushover)	99 100
CAPÍTULO V	
Conclusiones y Recomendaciones	
5.1 Conclusiones y Recomendaciones	. 102
BIBLIOGRAFÍA	
ANEXOS	

Índice de Ilustraciones

Ilustración 1: Geodinámica de la peligrosidad sísmica del Ecuador	6
Ilustración 2: Zonas sísmicas del Ecuador	8
Ilustración 3: Relación Amenaza - Vulnerabilidad – Riesgo	9
Ilustración 4: Edificio que colapsó en el terremoto de abril 2016 en Manabí	.10
Ilustración 5: Irregularidad vertical: Irregularidad geométrica	.24
Ilustración 6: Irregularidad vertical: Irregularidad por ubicación	24
Ilustración 7: Irregularidad vertical: Piso débil	.25
Ilustración 8: Irregularidad vertical: Columna corta o larga	. 25
Ilustración 9: Irregularidad ejes verticales discontinuos soportados por columnas	s25
Ilustración 10: Irregularidad vertical: distribución de masa	.26
Ilustración 11: Irregularidad vertical: piso flexible en elevación	.26
Ilustración 12: Irregularidad vertical: adiciones	.27
Ilustración 13: Irregularidad en planta: configuración en planta	.27
Ilustración 14: Irregularidad en planta; Discontinuidad en el sistema de piso	.28
Ilustración 15: Irregularidad en planta: ejes estructurales no paralelos	.28
Ilustración 16: Irregularidad en planta: torsional	.29
Ilustración 17: Irregularidad en plantas: adiciones	.29
Ilustración 18: Irregularidades verticales	.40
Ilustración 19: Irregularidades de planta, según FEMA- P-154	.41
Ilustración 20: Formula cuando existe una estructura colindante	.48
Ilustración 21: Formula cuando existe una estructura colindante con separación	49
Ilustración 22: Formula cuando existe estructura colindante sin separación	.49
Ilustración 23: Formula en estructura colindante con cotas que no coinciden	.49
Ilustración 24: Formula para estructuras adosadas	.49

Ilustración 25: Separación de edificios colindantes
Ilustración 26: Coeficientes en función del tipo de cemento para mampostería52
Ilustración 27: Separación sísmica en cualquier piso según Norma Colombiana. 53
Ilustración 28: Separación entre edificaciones según el (RNC). Perú54
Ilustración 29: Junta sísmica55
Ilustración 30: Modelo 3D62
Ilustración 31: Caso de Carga Gravitacional No Lineal creada64
Ilustración 32: Vista en planta #3 con ubicación de rotulas plásticas en las vigas 65
Ilustración 33: Vista en perfil con ubicación de rotulas plásticas en las columnas 65
Ilustración 34: Caso de carga Pushover en sentido X
Ilustración 35: Caso de carga Pushover en sentido "Y"
Ilustración 36: Espectro de demanda para 43 años
Ilustración 37: Espectro de demanda para 72 años
Ilustración 38: Espectro de demanda para 475 años69
Ilustración 39: Espectro de demanda para 975 años69
Ilustración 40: Espectro de demanda para 1500 años70
Ilustración 41: Curva de Capacidad de la estructura del Pushover en X71
Ilustración 42: Rotulas plásticas límite de Colapso Total del Pushover en X72
Ilustración 43: Curva de Capacidad de la estructura del Pushover en Y73
Ilustración 44: Rotulas plásticas límite de Colapso Total del Pushover en Y74
Ilustración 45: Gráfica de la Bilinealización del Pushover en X74
Ilustración 46: Grafica de la Bilinealizacion del Pushover en Y75
Ilustración 47: Curva capacidad con límites aceptación de un sismo de 43 años .75
Ilustración 48: Curva de capacidad con los límites de aceptación de un sismo de 72
años con Pushover aplicado en el sentido "x"76

Ilustración 49: Curva capacidad con límites aceptación de sismo de 475 años ...77
Ilustración 50: Curva de capacidad con límites aceptación de sismo de 975 años 78
Ilustración 51: Curva de capacidad con límites aceptación de sismo de 1500 años 79
Ilustración 52: Curva de capacidad con límites aceptación de sismo de 43 años 81
Ilustración 53: Curva de capacidad con límites aceptación de sismo de 72 años .82
Ilustración 54: Curva de capacidad con límites aceptación de sismo de 475 años Y83
Ilustración 55: Curva de capacidad con límites aceptación de sismo de 975 años Y84
Ilustración 56: Curva capacidad con límites aceptación de sismo de 1500 años Y85

Índice de Tablas

Tabla 1: Valores del factor Z en función de la zona sísmica adoptada	7
Tabla 2: Variables e Indicadores para Vulnerabilidad Sísmica de Edificacio	nes 17
Tabla 3: Índices de vulnerabilidad para amenaza sísmica	18
Tabla 4: Nivel de vulnerabilidad - Metodología SNGR	19
Tabla 5: Datos de la edificación	20
Tabla 6: Datos del profesional	21
Tabla 7: Tipología del sistema estructural	22
Tabla 8: Valoración básica	22
Tabla 9: Indicadores	23
Tabla 10: Valoración grado vulnerabilidad sísmica Formato NEC	33
Tabla 11: Formulario Evaluación visual rápida de vulnerabilidad sísmica	34
Tabla 12: Región sísmica según aceleración espectral	36
Tabla 13: Tipo de suelo	37
Tabla 14: Puntaje básico y modificadores	38
Tabla 15: Interpretación de resultados sobre la base de índices de vulnera	bilidad42
Tabla 16: Clasificación del daño para estructuras de concreto	43
Tabla 17: Formulario de encuesta nivel 1	44
Tabla 18: Formulario de encuesta nivel 2	45
Tabla 19: Formulario encuesta nivel 1 (zona de sismicidad moderadament	e alta) 46
Tabla 20: Formulario encuesta nivel 2 (zona con sismicidad moderadamer	nte alta)47
Tabla 21: Separación mínima de edificaciones	48
Tabla 22: Valores cortante basal	62
Tabla 23. Rotulas Plásticas en los pasos del Pushover en X	70
Tabla 24. Rotulas Plásticas en los pasos del Pushover en Y	72

Tabla 25: Análisis de ductilidad	76
Tabla 26: Análisis del factor de reducción sísmica R	76
Tabla 27: Análisis de ductilidad	77
Tabla 28: Análisis del factor de reducción sísmica R	77
Tabla 29: Análisis de ductilidad	78
Tabla 30: Análisis del factor de reducción sísmica R	78
Tabla 31: Análisis de ductilidad	79
Tabla 32: Análisis del factor de reducción sísmica R	79
Tabla 33: Análisis de ductilidad	80
Tabla 34: Análisis del factor de reducción sísmica R	80
Tabla 35: Resumen de desplazamientos de sismo de demanda en sentido X	80
Tabla 36: Análisis de ductilidad	81
Tabla 37: Análisis del factor de reducción sísmica R	82
Tabla 38: Análisis de ductilidad	82
Tabla 39: Análisis del factor de reducción sísmica R	83
Tabla 40: Análisis de ductilidad	83
Tabla 41: Análisis del factor de reducción sísmica R	84
Tabla 42: Análisis de ductilidad	84
Tabla 43: Análisis del factor de reducción sísmica R	85
Tabla 44: Análisis de ductilidad	85
Tabla 45: Análisis del factor de reducción sísmica R	86
Tabla 46: Resumen de los desplazamientos sismo de demanda en sentido "y"	86

xvii



RESUMEN DEL TRABAJO DE TITULACIÓN (ESPAÑOL) FACULTAD DE CIENCIAS MATEMATICAS Y FISICAS CARRERA DE INGENIERÍA CIVIL

Título del Trabajo de Titulación: "Análisis de vulnerabilidad sísmica de una edificación

de 8 niveles con edificios contiguos con losas alineadas y no alineadas"

Autor: Anthony Josué Terán Ibarra

Tutor: Ing. Douglas Daniel Iturburu Salvador

RESUMEN

La presente investigación se desarrolló con el propósito de analizar y evaluar la vulnerabilidad sísmica en una edificación.

Se tomó como referencia metodologías existentes en Ecuador y el método ATC21 (que incluye el formulario FEMA P-154), que permitieron obtener los indicadores suficientes que permitió determinar que toda edificación siempre estará expuesta a peligro latente, por lo cual deberá realizarse su estudio conforme lo determinan el código y normas de construcción, con la finalidad de precautelar las vidas humanas.

El estudio realizado permitió determinar la vulnerabilidad existente al estar en contigüidad con construcciones de losas alineadas y no alineadas, y es necesario tomar en cuenta las causas y efectos que pueden producir estas. Por ello se recomienda la construcción de juntas sísmicas lo que permitirá que exista la separación suficiente y así evitar el golpeteo o pounding.

PALABRAS CLAVES: ANALISIS - VULNERABILIDAD SÍSMICA- EDIFICACIÓN-LOSAS- ALINEADAS Y NO ALINEADAS.



RESUMEN DEL TRABAJO DE TITULACIÓN (INGLÉS) FACULTAD DE CIENCIAS MATEMATICAS Y FISICAS CARRERA DE INGENIERÍA CIVIL

Title of Degree Work Carried Out: Seismic vulnerability analysis of an 8-story building

with adjoining buildings with aligned and non-aligned slabs

Author: Anthony Josue Terán Ibarra

Advisor: Ing. Douglas Daniel Iturburu Salvador

ABSTRACT

This research was developed with the purpose of analyzing and evaluating the seismic vulnerability of a building.

Existing methodologies in Ecuador and the ATC21 method were used as a reference, which allowed obtaining sufficient indicators that allowed determining that every building will always be exposed to latent danger, so its study should be carried out according to the building code and standards, in order to protect human lives.

The study carried out made it possible to determine the existing vulnerability due to the contiguity of aligned and non-aligned slab constructions, and it is necessary to take into account the causes and effects that these can produce. Therefore, the construction of seismic joints is recommended, which will allow for sufficient separation and thus avoid pounding.

KEYWORDS: SEISMIC VULNERABILITY, SEISMIC ANALYSIS AND EVALUATION, EVALUATION METHODOLOGIES, CONTIGUITY, ALIGNED SLABS

_

CAPÍTULO I

Generalidades

1.1 Introducción

Nuestro país, se encuentra en la zona de mayor peligrosidad sísmica a nivel mundial, ya que se sitúa en el denominado cinturón circunpacifico, que de acuerdo con estudios profundos realizados es donde se libera la mayor cantidad de energía sísmica, por ello las edificaciones son vulnerables a sufrir daños por sismos de gran magnitud o por irregularidades en el proceso de construcción, lo que conlleva a pérdidas económicas y muchas veces humanas.

El presente estudio se ejecuta en Quevedo que es el cantón más poblado de la Provincia de Los Ríos en Ecuador, sus habitantes son aproximadamente 213.842 de acuerdo con los datos proporcionados por el Instituto Nacional de Estadísticas y Censos, el área es de 303 km² está distribuida en 9 parroquias urbanas y dos parroquias rurales. El presente estudio se centra en la parroquia central Quevedo, considerada cabecera cantonal, que posee actualmente 158.694 habitantes.

El objeto del presente estudio analiza la vulnerabilidad sísmica de una edificación de 8 niveles construida en el centro de la ciudad de Quevedo, la cual posee edificaciones contiguas con losas alineadas y no alineadas, aplicando la Norma Ecuatoriana de la Construcción (NEC) mediante metodología FEMA 154.

1.2 Planteamiento del Problema

A raíz del siniestro ocurrido el 16 de abril del 2016, fecha en la cual se produjo un terremoto en Ecuador de 7,8 grados en la escala de Richter, donde fueron afectadas directamente las provincias de Esmeraldas, Manabí, Santo Domingo de los Tsáchilas, Guayas, Los Ríos y Santa Elena, provocando el colapso de cientos de estructuras y la pérdida de miles de vidas humanas. Los estudios realizados revelaron que el colapso de la mayoría de las estructuras fue ocasionado por el uso de arena de mar para la elaboración del hormigón, sin embargo, también influyeron factores como: irregularidades geométricas tanto en planta como en

elevación, columnas cortas, ejes estructurales no paralelos, primer piso blando, baja resistencia lateral y contigüidad de edificios con losas alineadas y no alineadas.

Antes de la creación de las normativas y códigos de construcción actualmente vigentes que gobiernan, controlan y regulan los procesos constructivos, las personas realizaban construcciones informales, las cuales no contaban con un diseño y cálculos estructurales apropiados acorde a su composición y necesidad ocupacional, en aquel entonces se desconocía sobre de la ingeniería sísmica y el diseño sismorresistente. Sin lugar a duda estas construcciones informales son muy vulnerables y propensas a sufrir daños severos ante eventos sísmicos.

Uno de los errores más visibles en cuanto al tema de las construcciones informales, más allá de no haber construido con un diseño y cálculo estructural, es el hecho de que no se respetaba o no se consideraba un espaciamiento prudente al momento de construir a lado de una edificación ya consolida.

Actualmente con las normativas y códigos vigentes de construcción, en el Ecuador las Normas Ecuatorianas de Construcción (NEC-2015) en su capítulo de Peligro Sísmico estipula fórmulas para determinar el espaciamiento lateral entre edificaciones adyacentes, las mismas que deben ser consideradas en los cálculo y diseños estructurales.

Se conoce como golpeteo o "pounding" a la colisión que se presenta entre 2 edificaciones aledañas cuando no se deja entre ellas una separación adecuada que permita la deformación de cada edificación sin que se golpeen entre sí. El problema de 2 edificaciones adyacentes, que se golpean entre sí durante un evento sísmico está relacionado con dos temas importantes en la configuración, el primero son las juntas de separación (espacio que debe existir entre 2 estructuras conectadas arquitectónicamente para formar un solo edificio) y segundo, la rigidez (falta de flexibilidad de un edificio que le imposibilita desplazarse en las plantas superiores.

El golpeteo entre edificios se incluye en el estudio de los temas de configuración porque se relaciona con la localización del edificio en relación con otros edificios adyacentes. Como ya se ha estudiado antes, los edificios bajos son más rígidos, y si se tiene un proyecto que considera la construcción de un edificio alto adyacente a un edificio bajo, se debe considerar una separación adecuada que no perjudique a la nueva edificación.

En base a esta problemática existente, he decidido realizar el análisis de vulnerabilidad sísmica a una edificación de 8 niveles construida en la ciudad de Quevedo, provincia de Los Ríos, la cual presenta contigüidad de edificios con losas alineadas y no alineadas.

1.3 Justificación e Importancia

La contigüidad de edificios tanto con losas alineadas y no alineadas al momento de presentarse un evento sísmico, incide o influye en el comportamiento estructural de las edificaciones colindantes o adyacentes, debido a que éstas chocarán entre sí al momento de producirse las derivas de entrepiso generadas por el vaivén de la estructura debido a la vibración del suelo producida por las ondas sísmicas, generándose de este modo el fenómeno de golpeteo o "pounding" que puede ocasionar el colapso de la estructura. También es de consideración que las edificaciones adyacentes con losas no alineadas impiden o restringen el desplazamiento de las columnas adyacentes a ella, lo cual genera indirectamente el fenómeno de columna corta. Por estas razones es importante realizar un análisis de vulnerabilidad sísmica con la finalidad de evaluar el riesgo de construir edificaciones contiguas sin considerar un espaciamiento adecuado entre ellas y determinar la vulnerabilidad sísmica de la edificación en estudio.

1.4 Objetivo de la Investigación

1.4.1 Objetivo General.

Analizar la vulnerabilidad sísmica de una edificación de 8 niveles con edificios contiguos con losas alineadas y no alineadas, construida en la ciudad de Quevedo, provincia de Los Ríos.

1.4.2 Objetivos Específicos.

- Determinar la vulnerabilidad sísmica de la edificación mediante el análisis no lineal estático (PushOver) utilizando el software ETABS.
- Determinar la vulnerabilidad sísmica utilizando la metodología SNGR

- Determinar la vulnerabilidad sísmica utilizando la metodología NEC
- Determinar la vulnerabilidad sísmica utilizando la metodología FEMA P-154
- Evaluar el riesgo de construir edificaciones contiguas.
- Comparar los resultados obtenidos mediante estas metodologías.

1.5 Metodología

Para el desarrollo del presente proyecto de titulación, se aplicará el método mecánico que incluye el método analítico basado en el modelo simple y detallado, que generalmente se utilizan para la evaluación de estructuras individuales, debido a que involucran análisis detallado y un modelo más refinado. Este procedimiento utiliza el análisis no lineal estático (PushOver) el cual representa de manera más apegada el comportamiento real de la estructura bajo acciones de un movimiento de terreno o carga lateral, ya que aquí se considera dicho comportamiento más allá de su rango elástico. Como metodologías adicionales se utilizarán: la propuesta por el Sistema Nacional de Gestión de Riesgos y el Ministerio de Desarrollo Urbano y Vivienda; así como la que propone la Norma Ecuatoriana de Construcción y el método del coeficiente de desplazamiento ATC 21 que incluye como técnica la encuesta FEMA P-154, éste último nos permitirá describir un procedimiento rápido para identificar el edificio que supone grave riesgo, pérdida de vidas humanas y lesiones, o de los servicios comunitarios, en caso de un terremoto, su metodología está basada en una encuesta de campo, enfoque que consiste en la identificación del sistema resistente estructural primario y su material de construcción, y la asignación de puntuación básica de riesgos estructurales y los modificadores de rendimiento basado en las características de construcción observada.

CAPÍTULO II

Marco Teórico

2.1 Sismicidad y Geodinámica del Ecuador

2.1.1 Sismicidad.

Debido a que nuestro país (Ecuador) se encuentra atravesado por una gran falla geológica, producida por la subducción de la placa de Nazca (situada en el océano) con la placa Sudamericana, es propenso a sufrir eventos sísmicos y terremotos cada año.

Los eventos sísmicos como temblores o sismos son fenómenos físicos naturales que no ocasionan daños materiales o económicos perceptibles ni pérdidas humanas. A diferencia de los terremotos que también son eventos sísmicos, estos sí ocasionan daños perceptibles de toda índole, destruyendo toda infraestructura construida sobre el suelo, dejando devastación total y pérdidas humanas a lo largo de toda su trayectoria y recorrido.

Sin lugar a duda, el evento sísmico que marcó la historia de nuestro país fue el terremoto producido el 16 de abril del 2016, el cual alcanzó una ponderación de 7.8 grados en la escala de Richter, donde fueron afectadas directamente las provincias de Esmeraldas, Manabí, Santo Domingo de los Tsáchilas, Guayas, Los Ríos y Santa Elena, provocando el colapso de cientos de estructuras y la pérdida de miles de vidas humanas. Los estudios realizados revelaron que el colapso de la mayoría de las estructuras fue ocasionado por el uso de arena de mar para la elaboración del hormigón, sin embargo, también influyeron factores como: irregularidades geométricas tanto en planta como en elevación, columnas cortas, ejes estructurales no paralelos, primer piso blando, baja resistencia lateral y contigüidad de edificios con losas alineadas y no alineadas.

Si bien es cierto, ninguna estructura o edificación es igual a otra, de igual forma sus configuraciones estructurales y mecanismos de falla o colapso son distintos al momento de producirse un evento sísmico, debido a que cada estructura tiene su propia respuesta sísmica y su propia forma de vibrar

2.1.2 Geodinámica.

La tectónica de placas que se tiene frente a la costa ecuatoriana, es una de las más complejas del mundo, lo que provoca que la zona de subducción en el Ecuador no sea uniforme. El movimiento de la placa de Nazca contra las placas de América del Sur y la placa del Caribe ha generado la mega falla Guayaquil – Caracas que es una falla transcurrente dextral. (Toulkeridis T., 2009) lo ha identificado con el número 1, en la ilustración 1. Se estima que el movimiento de esta falla es de 3 a 4.5 mm/año Winter *et al.* (1993), sin embargo, existen otros estudios en que indican que el movimiento es de 15 mm/año para la parte norte de Ecuador y de 13 mm/año para la parte sur de Colombia. (Tibaldi A. & León J., 2000)

Con el número 2, en la ilustración 1, se indica la subducción de la placa oceánica de Nazca con una tasa de 58 ± 2 mm/año. En el siglo XX, se registraron cuatro grandes sismos en este segmento del Ecuador y son los sismos de 1906 (Mw = 8.8), 1942 (Mw = 7.8), 1958 (Mw = 7.7) y del 1979 (Mw = 8.2). Más adelante se va a hablar un poco más sobre estos sismos, lo único que se destaca por ahora es que el ángulo de subducción es diferente en la costa ecuatoriana.

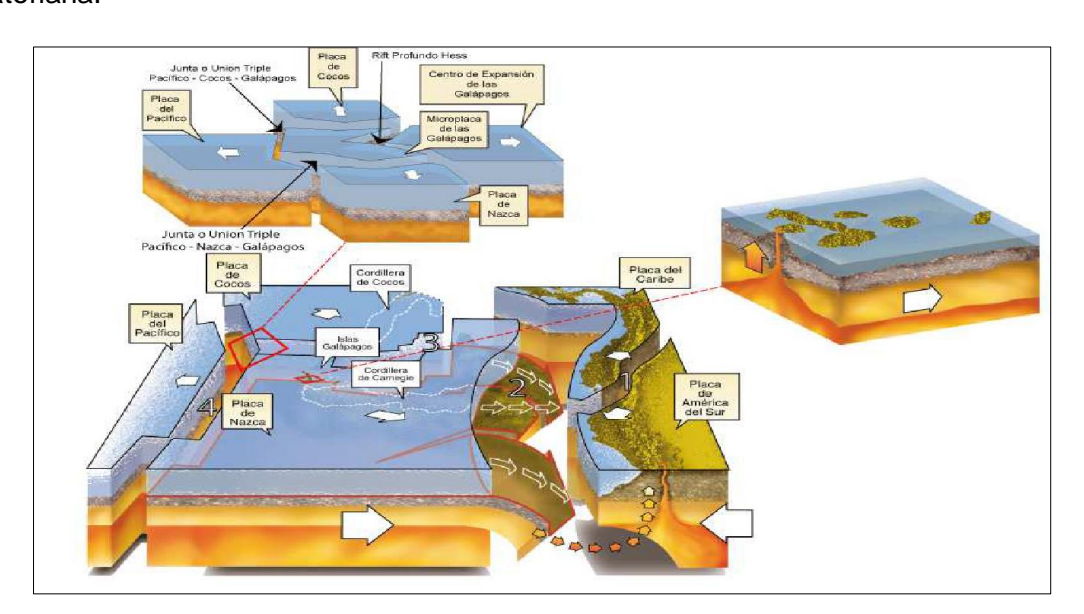


Ilustración 1 Geodinámica de la peligrosidad sísmica del Ecuador.

Fuente: (Toulkeridis T., 2009)

En la ilustración 1 y con el número 3, (Toulkeridis T., 2009) hace referencia a Cresta de Carnegie, que es una cordillera submarina que se originó en el punto caliente de Galápagos

y que se está expandiendo hasta llegar a la fosa ecuatoriana. Se supone que debido a este movimiento tectónico hay una reducción de la sismicidad en la región interandina. (Ruff L. J., 1996), (Swenson & Beck, 1999)

2.2 Sismo

Según expone (Bergman, 2016) los sismos se originan debido a la energía que es liberada en forma de ondas que viajan desde el punto del origen del terremoto en un lugar llamado foco. Las ondas sísmicas se originan en el foco. Las ondas sísmicas causan un temblor intenso en la superficie de la Tierra, estos temblores pueden derrumbar edificios y carreteras. No todas las ondas sísmicas son iguales. Hay varios tipos, y cada tipo de onda sísmica tiene un movimiento único. Aun cuando hay diversos tipos de ondas sísmicas y cada uno tiene su forma única de moverse. Recuentos de lo que es experimentar un terremoto, generalmente describen ondas en la superficie, debido a que éstas son más notables en la superficie de la Tierra.

2.2.1 Zonificación Sísmica.

Los estudios geológicos, litológicos y algunos otros, realizados en nuestro País, han dado como resultados un mapa de zonificación sísmica, determinando tipos de zonas en base al comportamiento sísmico.

Tabla 1: Valores del factor Z en función de la zona sísmica adoptada

Zona sísmica	I	Ш	III	IV	V	VI
Valor Z	0.15	0.25	0.3	0.35	0.4	≥0.5
Caracterización						
del peligro	Intermedia	Alta	Alta	Alta	Alta	Muy alta
sísmico						

Fuente: (NEC-SE-DS, 2015)

En la tabla 1 se muestra que todos los valores son altos, esto obedece a que se representa en términos generales la alta peligrosidad sísmica en todo el Ecuador, con excepción de la zona I que se considera como peligrosidad intermedia representada por la región amazónica. (NEC-SE-DS, 2015)

El mapa de zonificación sísmica, que presenta la Norma Ecuatoriana de la Construcción (NEC) registra que la Región Costa se encuentra atravesada por el cinturón de fuego del Pacifico, sitio en el que se genera la subducción de la placa de Nazca debajo de la placa Sudamericana, considerada la principal fuente de generación de sismos en el Ecuador; además de un sistema de fallas ciegas localizadas en la región Interandina o Sierra (NEC, 2015)

La figura 2 nos muestra las diferentes zonas sísmicas que se obtuvieron de los estudios de riesgo sísmico para un 10% de excedencia en 50 años (periodo de retorno 475 años). Nos da a conocer las zonas sísmicas establecidas en el diseño de estructuras.

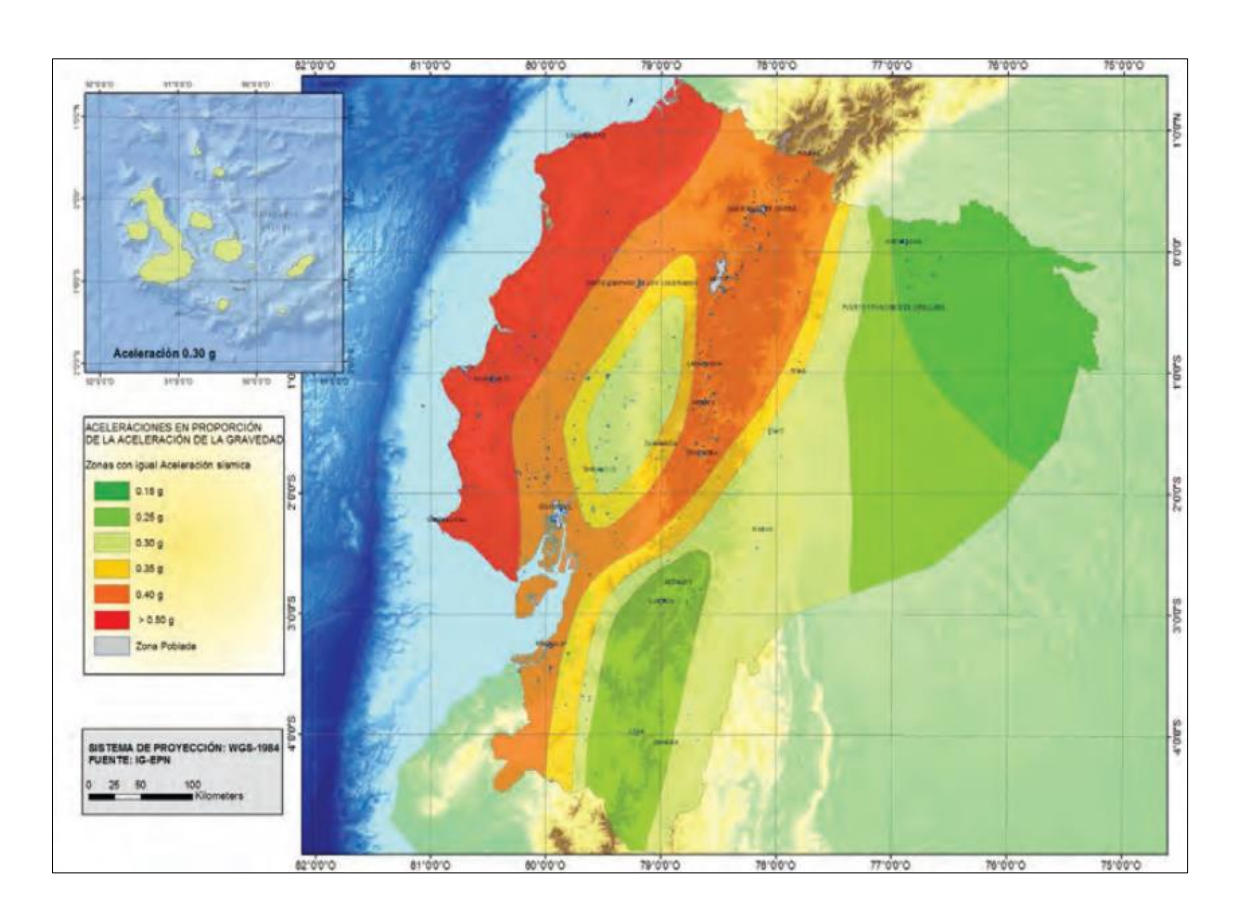


Ilustración 2: Zonas sísmicas del Ecuador

Fuente: (NEC-SE-DS, 2015)

2.2.2 Vulnerabilidad Sísmica.

Se denomina vulnerabilidad sísmica al grado de daño que sufre una estructura debido a un evento sísmico de determinadas características. Estas características pueden calificarse

en "más vulnerables" o "menos vulnerables" ante un evento sísmico. (Bozzo Rotondo & Harbat, 2014)

Según el criterio de (Barbat et al., 2005) la vulnerabilidad sísmica frente a un sismo de determinadas características es una propiedad intrínseca de cada estructura y, por tanto, independiente de la peligrosidad del emplazamiento. Esto quiere decir que una estructura puede ser vulnerable pero no estar en riesgo si no se encuentra en un sitio con una cierta peligrosidad sísmica. En otras palabras, una estructura puede ser vulnerable, pero no estar en riesgo si no se encuentra en un lugar con un determinado peligro sísmico o amenaza sísmica.

Es necesario señalar que no existen metodologías estándares para estimar la vulnerabilidad de las estructuras. El resultado de los estudios de vulnerabilidad es un índice de daño que caracteriza la degradación que sufriría una estructura de una tipología estructural dada, sometida a la acción de un sismo de determinadas características. (Bozzo Rotondo & Harbat, 2014)

Concordante con lo que sostienen el BID y la CELAC (Zapata Martí et al., 2000): "La reducción de la vulnerabilidad es una inversión clave, no solamente para reducir los costos humanos y materiales de los desastres naturales, sino también para alcanzar un desarrollo sostenible". En la figura 3 se explica cómo la vulnerabilidad se relaciona con el riesgo y su amenaza.



Ilustración 3: Relación Amenaza - Vulnerabilidad - Riesgo

Fuente: (NEC-SE-DS, 2015)

Constituye entonces la Vulnerabilidad una condición previa que se manifiesta durante el desastre, cuando no se ha invertido suficiente en prevención y mitigación, y se acepta un

nivel de riesgo muy elevado. De aquí se desprende la tarea prioritaria de definir una estrategia preventiva de reducción de la vulnerabilidad, ya que no es posible enfrentarse a las fuerzas naturales con el propósito de anularlas.

2.2.3 Clases de Vulnerabilidad Sísmica.

2.2.3.1 Vulnerabilidad Estructural.

Este tipo de vulnerabilidad se encuentra intrínseca en edificaciones que desde su planificación no conciben un criterio de diseño y construcción sismo resistente, este factor puede ser modificado mediante rehabilitaciones estructurales sismo resistente.

Los elementos estructurales son aquellas partes que sostienen la estructura de una edificación, encargados de resistir y transmitir a la cimentación y luego al suelo; las fuerzas causadas por el peso del edificio y su contenido, así como las cargas provocadas por los sismos. Entre estos elementos se encuentran las columnas, vigas, placas de concreto, muros de albañilería de corte, etc.

Razones suficientes que constituyen que un buen diseño estructural sea la clave para que la integridad de un edificio sobreviva aún ante desastres naturales severos tales como un terremoto.



Ilustración 4: Edificio que colapsó en el terremoto de abril de 2016 en Manabí

Fuente: (El Universo, 2016)

En Ecuador queda una gran lección tras este devastador fenómeno ocurrido en el 2016, donde se constató en algunos casos que no se aplicaron las normas y criterios de diseño sismo resistente de manera efectiva, normas que no consideran las especificaciones especiales al momento de levantar edificaciones de varios niveles.

2.2.3.2 Vulnerabilidad no Estructural.

Se relaciona a la susceptibilidad de los elementos no estructurales a sufrir daños, debido a las fuerzas que se presentan mediante un evento sísmico. Estos elementos no estructurales no aportan resistencia a la edificación, por lo cual se los puede identificar como elementos arquitectónicos (puertas, ventanas, etc.) y electromecánicos (conexiones, bombas de agua, equipos, etc.). Los elementos no estructurales son vitales en edificaciones esenciales; de ahí la importancia de protegerlos en un evento sísmico. No se debe subestimar la importancia de los elementos no estructurales estos pueden cambiar la respuesta dinámica de diseño de una edificación. Por ejemplo, pesados revestimientos pueden ocasionar excentricidades o torsión; la interacción entre columnas y mampostería a la mitad de estas, ocasiona el efecto columna corta que tanto daño ha provocado. Adicionalmente, durante un sismo, el colapso de elementos no estructurales puede causar graves daños a personas, llegando a causar muertes de no tomarse las medidas apropiadas, para lo cual debe utilizarse la normativa existente. (Ludeña Guaicha, 2017)

2.2.4 Riesgo Sísmico.

La UNDRO y la UNESCO promovieron una definición que se sintetiza a continuación a partir de los siguientes conceptos: (Sandi, (1983) en (Barbat et al., 2005).

- Amenaza, peligro o peligrosidad, H: Probabilidad de ocurrencia de un evento sísmico potencialmente desastroso durante cierto período de tiempo en un sitio determinado.
- Vulnerabilidad, V: Es el grado o porcentaje de pérdida de un elemento o grupo de elementos bajo riesgo como resultado de la probable ocurrencia de un evento sísmico destructivo.

- Elementos en riesgo, E: Son la población, los edificios y obras civiles, las actividades económicas, los servicios públicos, las utilidades y la infraestructura expuesta a una amenaza en un área determinada.
- Riesgo Sísmico, R: Se define como el número de pérdidas humanas, heridos, daños a las propiedades y efectos sobre la actividad económica debido a la ocurrencia de un desastre, es decir el producto del riesgo específico, y los elementos en riesgo, E.

Con estas definiciones, la evaluación del riesgo total puede llevarse a cabo mediante la siguiente fórmula general:

R=H*V*E

2.3 Métodos para la Evaluación de la Vulnerabilidad Sísmica de Edificaciones

Para realizar los estudios de vulnerabilidad existen muchas metodologías válidas en la literatura internacional que se han encontrado en la bibliografía consultada. En general éstas se clasifican en:

- 1. Métodos cualitativos
- Métodos cuantitativos
- Métodos experimentales.
- 4. Métodos analíticos.

El método cualitativo es considerado de primer nivel en la evaluación de la vulnerabilidad sísmica de edificaciones, por cuanto es el que menos recurso e información requiere, busca clasificar estructuras en grupos y tipos de vulnerabilidad, con el propósito de priorizar las acciones futuras que se pudieran implementar para reducir la misma (NEC, 2015). La aplicación de esta metodología evalúa las cualidades de la estructura mediante resultados, entre ellos: baja vulnerabilidad, media o alta y en otros casos indicando si el comportamiento de la estructura es seguro o no.

Con este enfoque, los métodos cuantitativos, llegan a predecir un nivel de vulnerabilidad o de daños esperados frente a los diferentes niveles de la amenaza considerada, que llegan a

ser útiles para la toma decisiones directas sobre las estructuras. Estos métodos requieren de mayores recursos e información precisa, por lo que su aplicación se justifica para estudios particulares más detallados, es decir, permiten profundizar los resultados obtenidos de la aplicación de metodologías cualitativas.

La vulnerabilidad sísmica permite clasificar a las estructuras por sus características y calidad estructural, catalogándolas dentro de un rango muy vulnerable hasta uno no muy vulnerable, bajo la acción de un sismo, para lo cual se utilizará metodologías de evaluación acorde al nivel de estudio que se requiere alcanzar y mediante un procedimiento sencillo pero eficaz.

Japón y Estados Unidos, se han considerado países pioneros en el desarrollo de metodologías orientadas a la evaluación de la vulnerabilidad sísmica de edificios existentes. Estos países, al igual que otros más, aportan metodologías para la evaluación de la posible vulnerabilidad que puede existir en una estructura ante la generación de algún sismo probable (SNGR y otros, 2011)

Para el desarrollo del presente trabajo de titulación, se ha considerado la aplicación de estas metodologías que se adaptan a la realidad de nuestro país y un método estándar:

- (MIDUVI & SGR, 2016) propuesta metodológica de la Secretaría Nacional de Gestión de Riesgos (SGR).
- (NEC, 2015) Metodología propuesta en la guía práctica para evaluación sísmica y rehabilitación de estructuras, de conformidad con la norma ecuatoriana de la construcción NEC
- Método FEMA P-154 (2015), (FEMA P-154, 2015)...

2.3.1 Propuesta Metodológica de la Secretaría Nacional de Gestión de Riesgos (SNGR).

En el año 2012, la Secretaria Nacional de Gestión de Riesgos (SNGR), diseña una metodología para ser aplicada a nivel de zonas urbanas de las cabeceras cantonales de municipios medianos y pequeños del Ecuador.

Considera características físicas de las estructuras, especialmente aquellas que inciden de manera directa en el comportamiento estructural de la edificación frente a la amenaza sísmica, por lo que permite calificarla de manera cualitativa y, ponderar los resultados con el objetivo de encontrar un valor o índice de vulnerabilidad para cada edificación. (Buñay & Tenelema, 2014)

De lo que expone la Metodología - Análisis de Vulnerabilidad a Nivel Nacional, elaborada por la Secretaría Nacional de Gestión de Riesgos (MIDUVI & SGR, 2016) debe considerarse esta metodología como una herramienta para la creación de una base sólida de información, que priorice y oriente la creación de estrategias, programas y planes de reducción de vulnerabilidades. Por cuanto los resultados que se obtengan al aplicar esta metodología tienen el carácter preliminar y demandan, para su afinamiento y precisión, de un estudio de mayor alcance, y por sí sola, esta metodología no se puede considerar como una herramienta técnica única de evaluación de la vulnerabilidad sísmica.

Variables e Indicadores de Vulnerabilidad de la metodología SNGR

Son parámetros que identifican las características estructurales principales de una estructura, fiscalizando su comportamiento frente a alguna amenaza. La evaluación es con enfoque cualitativa, considerando realizar un análisis comprensivo del comportamiento esperado de las edificaciones. (MIDUVI & SGR, 2016)

Se describen las variables para la evaluación de la vulnerabilidad física de edificaciones ante la amenaza sísmica, en base a la metodología planteada por la SGR.

Sistema Estructural

Se considera una variable básica el tipo de sistema estructural resistente, por cuanto aporta con información mínima necesaria para comenzar un análisis de vulnerabilidad sísmica.

La metodología (MIDUVI & SGR, 2016)considera que las estructuras construidas a base de hormigón armado son menos vulnerables que los otros sistemas estructurales (caña, pared portante, madera o mixta)

Tipo de material de paredes

Define si la estructura ha sido construida con paredes portantes (piedra, adobe, entre otros), o si más bien obedece a tipologías menos vulnerables como: paredes de bloque o ladrillo (MIDUVI & SGR, 2016)

Tipo de Cubierta

Nos da a conocer qué tan expuesta es una estructura ante un evento sísmico, pues proporciona confinamiento al sistema estructural. Considera esta metodología que las cubiertas a base de hormigón armado son menos vulnerables que los otros tipos de cubiertas (metálica, caña, zinc, entre otras) (MIDUVI & SGR, 2016)

Entrepisos

Este apartado limita el resto de elementos estructurales y proporciona resistencia ante cierto tipo de fallas. Considera esta metodología que los sistemas de entrepiso a base de hormigón armado son menos vulnerables que los otros sistemas de entre pisos (madera, metálico, entre otros) (MIDUVI & SGR, 2016)

Número de Pisos

En este apartado, la variable número de pisos considera que a mayor altura de la estructura existe mayor vulnerabilidad, toda vez que mientras mayor número de pisos se requiere de mayores esfuerzos y cuidados para presentar un buen comportamiento (MIDUVI & SGR, 2016).

Año de Construcción

Esta variable se considera muy importante para el estudio de vulnerabilidad. Por cuanto está asociado directamente con los códigos de construcción aplicados en el diseño de las estructuras, mide la posibilidad de que la inexistencia de normativas de construcción incremente la vulnerabilidad de la estructura (MIDUVI & SGR, 2016).

Razón por la que esta metodología considera aquellas edificaciones que hayan sido construidas antes de 1970 mucho más vulnerables que aquellas construidas luego de ese año ((MIDUVI & SGR, 2016)

Estado de Conservación

Variable que considera el posible daño o deterioro de las propiedades mecánicas de los materiales y con ello la reducción de su resistencia, aumentando el grado de vulnerabilidad ante una amenaza sísmica (SNGR y otros, 2011)

Características del Suelo

El suelo donde se encuentra construida la estructura es susceptible de facilitar que la amenaza pueda afectar a la edificación, esta variable nos permite estudiar estas características.

Nos hace notar que, un suelo firme y seco tendrá una menor vulnerabilidad que un suelo húmedo, blando o de relleno (SNGR y otros, 2011)

Topografía del Sitio

El tipo de relieve que tiene el terreno donde está construida una edificación, debe tenerse en cuenta, ya que si el terreno es escarpado genera un alto grado de vulnerabilidad en la edificación, en tanto que si el terreno es plano se reduce dicha vulnerabilidad (SNGR y otros, 2011)

Forma de la Construcción

La metodología, toma en consideración la forma de construcción de la edificación, si su forma es regular presenta menor vulnerabilidad ante un evento sísmico (SNGR y otros, 2011).

 Tabla 2: Variables e Indicadores para Vulnerabilidad Sísmica de Edificaciones.

METODOLOGÍA SNGR

Variable de Vulnerabilidad	Descripción de la Variable y Uso de la Información	Indicadores Considerados	Amenaza Sismica
		Hormigón armado	0
		Estructura metálica	1
		Estructura de madera	1
Sistema estructural	Describe la tipología estructural predominante en la edificación	Estructura de caña	10
	prodominanto on la comodolori	Estructura de pared portable	5
		Mixta madera/hormigón	5
		Mixta metálica/hormigón	1
		Pared de Ladrillo	1
Tipo do material en	Describe el material predominante	Pared de bloque	1
Tipo de material en paredes	utilizado en las paredes divisorias	Pared de piedra	10
	de la edificación	Pared de adobe	10
		Pared de tapia/bahareque/madera	5
		Cubierta metálica	5
	Describe el tipo de material	Losa de hormigón armado	0
Tipo de cubierta	utilizado como sistema de cubierta	Vigas de madera y zinc	5
	de la edificación	Caña y zinc	10
		Vigas de madera y teja	5
		Losa de hormigón armado	0
	Describe el tipo de material	Vigas y entramado madera	5
Sistema de entrepisos	utilizado para el sistema de pisos	Entramado madera/caña	10
	diferentes a la cubierta	Entramado Metálico	1
		Entramado hormigón/metálico	1
	Sa considera al número de nisce	1 piso	0
	Se considera el número de pisos como una variable de vulnerabilidad, debido a que se altura incide en su comportamiento	2 pisos	1
Número de pisos		3 pisos	5
		4 pisos	10
	comportamiento	5 pisos o mas	1
	Permite tener una idea de la	antes de 1970	10
Año de construcción	posible aplicación de criterios de diseño de defensa contra la amenaza	entre 1971 y 1980	5
Alle de constideción		entre 1981 y 1990	1
		entre 1991 y 2010	0
		Bueno	0
Estado de	El grado de deterioro influye en la	Aceptable	1
conscrvación	vulnerabilidad de la edificación	Regular	5
		Malo	10
Corostorísticos del	El tipo do torrono influyo en los	Firme, seco	0
Características del suelo bajo la	El tipo de terreno influye en las características de vulnerabilidad	Inundable	1
edificación	física	Ciénaga	5
		l lúmedo, blando, relleno	10
	La topografía del sitio de	A nivel, terreno plano	0 E
Topografía del sitio	construcción de la edificación indica posibles debilidades frente	Bajo nivel calzada Sobre nivel calzada	5 0
	a la amenaza	Escarpe positivo o negativo	10
Farmer 4-1-	La presencia de irregularidad en	Regular	0
Forma de la construcción	la edificación genera	Irregular	5
OUTION ACCION	vulnerabilidades	Irregularidad severa	10

Fuente: (MIDUVI & SGR, 2016)

En la tabla 2, se muestra cada variable y sus indicadores, los mismos que tienen asignado valores entre 0, 1, 5 y 10, según la condición de la edificación a la cual se está evaluando, en donde el valor 0 refleja una vulnerabilidad baja y el valor 10 una vulnerabilidad alta. Consecuentemente, una misma edificación puede presentar, para cada variable analizada, un solo indicador posible, y tendrá asignado un único valor numérico, obedeciendo al tipo de amenaza considerada para su evaluación (SNGR y otros, 2011)

Índice de vulnerabilidad basado en la Metodología SNGR

La metodología de la SNGR plante que los valores y pesos, para la calificación y ponderación, se deducen conforme al conocimiento del comportamiento estructural de las diferentes tipologías de edificaciones, delante de las distintas amenazas posibles, utilizando como modelo las experiencias documentadas en desastres pasados y, con la información proveniente de la literatura técnica reciente a nivel mundial (Yépez Moya et al., 1996)

El procedimiento para analizar el resultado de estos indicadores establecidos para cada una de las variables es multiplicado por los valores de ponderación asignados. Se visualiza en la tabla 3, los valores de ponderación asignados en la metodología propuesta por la SNGR:

Tabla 3: Índices de vulnerabilidad para amenaza sísmica

Variable	Valores posibles del indicador	Ponderación	Valor máximo
Sistema estructural	0,1,5,10	1.2	12
Material de paredes	0,1,5,10	1.2	12
Tipo de cubierta	0,1,5,10	1	10
Tipo de entrepiso	0,1,5,10	1	10
Número de pisos	0,1,5,10	0.8	8
Año de construcción	0,1,5,10	1	10
Estado de conservación	0,1,5,10	1	10
Características del suelo	0,1,5,10	0,8	8
Topografía del sitio	0,1,5,10	0,8	8
Forma de construcción	0,1,5,10	1,2	12
	/alor mínimo = 0		100

Fuente: (MIDUVI & SGR, 2016)

Con el resultado que se obtiene, se procede a la aplicación de una sumatoria ponderada de todos los valores obtenidos de los indicadores de cada variable de la edificación. Este resultado se conoce como índice de vulnerabilidad y permite catalogar a la edificación según su nivel de vulnerabilidad.

La ponderación del nivel de vulnerabilidad resultante del proceso de evaluación de una edificación se determina conforme se muestra en la tabla 4.

Tabla 4: Nivel de vulnerabilidad - Metodología SNGR

Nivel de vulnerabilidad	Puntaje
Bajo	0 a 33 puntos
Medio	34 a 66 puntos
Alto	Más de 66 puntos

Fuente: (MIDUVI & SGR, 2016)

2.3.2 Metodología la Norma Ecuatoriana de la Construcción NEC, Propuesta en la Guía Práctica para Evaluación Sísmica y Rehabilitación de Estructuras.

Para inspección y evaluación sísmica simplificada de estructuras existentes (pre-evento), esta metodología muestra en la guía práctica para evaluación de estructuras, que se publica en la NEC, a partir del año 2015, en base a una adaptación del FEMA 154 (Rapid Visual Screening of Building for Potential Seismic Hazargs), la que fue implementada inicialmente por el Colegio de Arquitectos del Ecuador y el Municipio del Distrito Metropolitano de Quito.

Fue elaborada esta propuesta para que los profesionales de la construcción del Ecuador evalúen las edificaciones existentes partiendo de condiciones propias a su realidad constructiva, los resultados obtenidos en base a un índice de valoración cuyo puntaje permite identificar el grado de vulnerabilidad de una estructura existente.

Clasifica en tres categorías el grado de vulnerabilidad: edificaciones con baja, media y alta vulnerabilidad, en donde si se presenta el último caso se debe realizar un estudio más profundo y completo de su estructura, para lo cual el evaluador determinará el tipo de investigación a realizar y los objetivos de rehabilitación. De seguido, se detallan los apartados que componen el formulario, para la evaluación rápida de vulnerabilidad sísmica de edificaciones (MIDUVI & SGR, 2016).

Datos de Edificación

Este apartado del formulario está destinado para registrar información general que el investigador recopila en la observación realizada a la edificación; consta de los siguientes datos: ubicación, uso, año de construcción, número de pisos y área construida.

Se considera el año de construcción como el parámetro más relevante en esta sección ya que indirectamente, permite conocer las prácticas de diseño y construcción que se aplicaron en la edificación.

De igual manera, el uso de la edificación, aunque no influye directamente en los resultados de la vulnerabilidad, por cuanto no tiene relación directa con la probabilidad de sufrir daños estructurales frente a un sismo, permite elaborar un plan de mitigación de riesgos

Muchas edificaciones tienen más de un uso u ocupación por lo que el evaluador debe considerar el principal de ellos y registrar los demás en la sección (observaciones). (MIDUVI & SGR, 2016)

La tabla 5, indica los datos de la edificación que se presenta en el formato de evaluación visual rápida de la vulnerabilidad de edificaciones.

Tabla 5: Datos de la edificación

DATOS DE LA EDIFICACION		
Dirección		
Nombre de la edificación		
sitio de referencia		
tipo de uso	fecha de evaluación	
Año de construcción	Año de remodelación	
Área de construcción (m²)	Número de pisos	

Fuente: (MIDUVI & SGR, 2016)

Datos del Profesional

En este apartado se incluye la información referente a la persona encargada de realizar la evaluación de la edificación. Al ser un proceso sencillo, los evaluadores pueden ser: constructores, diseñadores, inspectores municipales y estudiantes de arquitectura o ingeniería apropiadamente capacitados (MIDUVI & SGR, 2016)

Se muestra en la tabla 6, los datos requeridos en el formulario de evaluación visual rápida de la vulnerabilidad de edificaciones.

Tabla 6: Datos del profesional

DATOS DEL PROFESIONAL

Nombre del evaluador

C. I.

Registro Senescyt

Fuente: (MIDUVI & SGR, 2016)

Esquema estructural en planta y elevación en la edificación

Como se encuentra detallado en el formulario, en este apartado se deberá realizar al menos un esquema de la planta y si es posible un esquema de la elevación del edificio. En dicho esquema en planta se indicará la ubicación, lo más exacta posible del ducto o ductos de gradas y ascensores. (MIDUVI & SGR, 2016)

Será de gran ayuda estos esquemas ya que permitirán determinar posibles irregularidades. Al realizar estos esquemas, el evaluador podrá identificar muchos aspectos que tenga la construcción (MIDUVI & SGR, 2016)

Las mínimas dimensiones deberán estar indicadas en el esquema de planta son longitud y ancho, y si se puede realizar un esquema de la estructura, se deberá colocar la altura de entrepiso (MIDUVI & SGR, 2016)

Fotografía

La fotografía será de la parte frontal de la edificación (acceso principal), procurando que en esta se pueda observar en su totalidad (MIDUVI & SGR, 2016).

Identificación del sistema estructural

Esta evaluación rápida de vulnerabilidad frente a un evento sísmico, presume que el profesional a cargo estará en capacidad de determinar el sistema estructural de la edificación en estudio (MIDUVI & SGR, 2016).

Lo más probable es que la tipología estructural no se pueda determinar en la etapa de planificación, antes de la visita de campo. Los subsuelos, en el caso de edificios, son los mejores sitios para reconocer un sistema estructural (MIDUVI & SGR, 2016)

Si por algún motivo, no se puede determinar la tipología de la estructura, y el acceso a la edificación es imposible, el evaluador deberá eliminar aquellos sistemas estructurales que sean imposible para la estructura en estudio y calificar las posibles opciones que quedan. El resultado final, S, que se considera será el de menor valor (MIDUVI & SGR, 2016).

La tipología de estructuras por las que está constituido en su mayoría el territorio ecuatoriano se los ha dividido en 13 grupos para este sistema de evaluación y se los presenta a continuación en la tabla 7, con sus respectivos códigos.

Tabla 7: Tipología del sistema estructural

	TIPO	LOGIA DEL SISTEMA EST	RUC	TURAL	
Madera	WI	Pórtico hormigón armado	C1	Pórtico acero laminado	S1
Mampostería sin refuerzo	URM	Pórtico hormigón armado con mampostería confinada sin refuerzos	C2	Pórtico Acero Laminado con diagonales	S2
Mampostería reforzada	RM	Pórtico hormigón armado		Pórtico Acero doblado en frío	S3
Mixta acero-hormigón o mixta madera-	MX	con mampostería sin refuerzos	C3	Pórtico Acero Laminado con muros estructurados de hormigón armado	S4
hormigón		Hormigón armado prefabricado	РС	Pórtico Acero con paredes mampostería	S5

Fuente: (MIDUVI & SGR, 2016)

Para cada uno de estos 13 tipos de construcción, (MIDUVI & SGR, 2016) calcula un índice de peligro estructural (puntaje básico) que refleja la probabilidad de daño y pérdida de una edificación, basándose en FEMA 154 y 155, se los presenta a continuación en la tabla 8.

Tabla 8: Valoración básica

Tipología del sistema estructural	WI	URM	RM	MX	C1	C2	C3	PC	S1	S2	S3	S4	S5
Puntaje básico	4.4	1.8	2.8	1.8	2.5	2.8	1.6	2.4	2.6	3.0	2.0	2.8	2.0

Fuente: (MIDUVI & SGR, 2016)

Modificadores

Se denominan modificadores a los factores vitales que afectan expresamente el rendimiento de la edificación en estudio (MIDUVI & SGR, 2016). Cada uno de estos indicadores poseen un valor y obedecen al tipo de estructura, como se muestra en la siguiente tabla.

Tabla 9: Indicadores

Tipología del sistema estructural	WI	URM	RM	MX	C1	C2	C3	PC	S1	S2	S3	S4	S5
Puntaje básico	4.4	1.8	2.8	1.8	2.5	2.8	1.6	2.4	2.6	3.0	2.0	2.8	2.0
ALTURA DE LA EDIFICA	CION												
Baja altura (menor a 4 pisos)	0.0	0.0	0.0	0.0	0.0	0.0	0.0	0.0	0.0	0.0	0.0	0.0	0.0
Mediana altura (4 a 7 pisos)	N/A	N/A	0.4	0.2	0.4	0.4	0.2	0.2	0.2	0.4	N/A	0.4	0.4
gran altura (mayor a 7 pisos)	N/A	N/A	N/A	0.3	0.6	0.8	0.3	0.4	0.6	0.8	N/A	0.8	0.8
REGULARIDAD DE LA E	REGULARIDAD DE LA EDIFICACION												
Irregularidad vertical	-2.5	-1.0	-1.0	-1.5	-1.5	-1.0	-1.0	-1.0	-1.0	-1.5	-1.5	-1.0	-1.0
irregularidad en planta	-0.5	-0.5	-0.5	-0.5	-0.5	-0.5	-0.5	-0.5	-0.5	-0.5	-0.5	-0.5	-0.5
CODIGO DE LA CONSTR	UCCIO	N											
Pre-código (construido antes de 1977) o auto construido	0.0	-0.2	-1.0	-1.2	-1.2	-1.0	-0.2	-0.8	-0.1	-0.8	-0.8	-0.8	-0.2
Construido en etapa de transición (entre 1977 y 2001)	0.0	0.0	0.0	0.0	0.0	0.0	0.0	0.0	0.0	0.0	0.0	0.0	0.0
Post código moderno (construido a partir de 2001	1.0	N/A	2.8	1.0	1.4	2.4	1.4	1.0	1.4	1.4	1.0	1.6	1.0
TIPO DE SUELO													
Tipo de suelo C	0.0	-0.4	-0.4	-0.4	-0.4	-0.4	-0.4	-0.4	-0.4	-0.4	-0.4	-0.4	-0.4
Tipo de suelo D	0.0	-0.6	-0.6	-0.6	-0.6	-0.6	-0.4	-0.6	-0.6	-0.6	-0.6	-0.6	-0.4
Tipo de suelo E	0.0	-0.8	-0.4	-1.2	-1.2	-0.8	-0.8	-1.2	-1.2	-1.2	-1.2	-1.2	-0.8

Fuente: (MIDUVI & SGR, 2016)

Se presentan a continuación, las descripciones de cada uno de los modificadores que se utilizarán en la evaluación de vulnerabilidad sísmica.

• Altura de la Edificación

(MIDUVI & SGR, 2016), considera tres categorías:

Baja altura (menor a 4 niveles): No se considera que las construcciones de 1 a 3 niveles creen grandes riesgos frente a un sismo leve. Por ello su valor es cero en todos los tipos de sistema estructural.

Mediana altura (4 a 7 niveles); si la construcción posee de 4 a 7 niveles se estima de mediana altura.

Gran altura (mayor a 7 niveles); si la edificación tiene 8 pisos o más se considera de gran altura (MIDUVI & SGR, 2016)

Irregularidad de la edificación

Irregularidad vertical

Según la metodología (MIDUVI & SGR, 2016) expone que presenta irregularidades en elevación que se deben marcar.

Irregularidad geométrica: La edificación es irregular cuando la anchura en planta del sistema resistente en determinado piso es mayor que 1.3 veces la misma anchura en un piso adyacente, excepto en el caso de los altillos de un solo piso (a>1.3b) (MIDUVI & SGR, 2016)

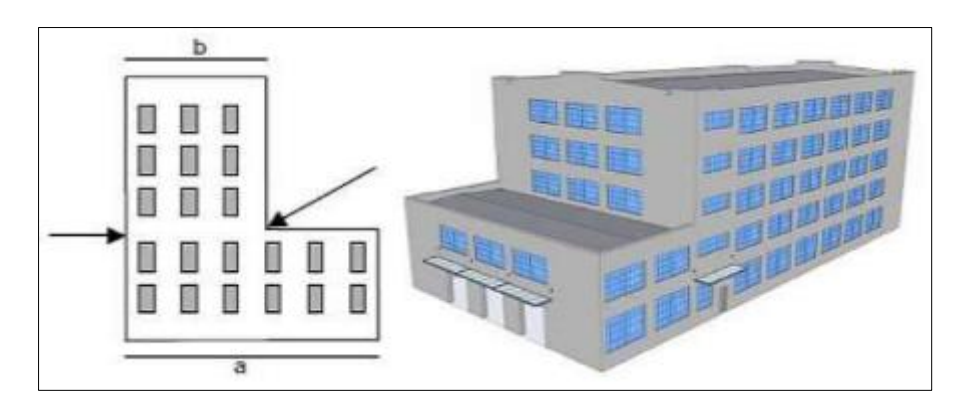


Ilustración 5: Irregularidad vertical: Irregularidad geométrica

Fuente: (MIDUVI & SGR, 2016)

Irregularidad por ubicación: si la edificación se encuentra en un cerro empinado, tal que a lo largo de la pendiente exista al menos un piso de altura (MIDUVI & SGR, 2016)

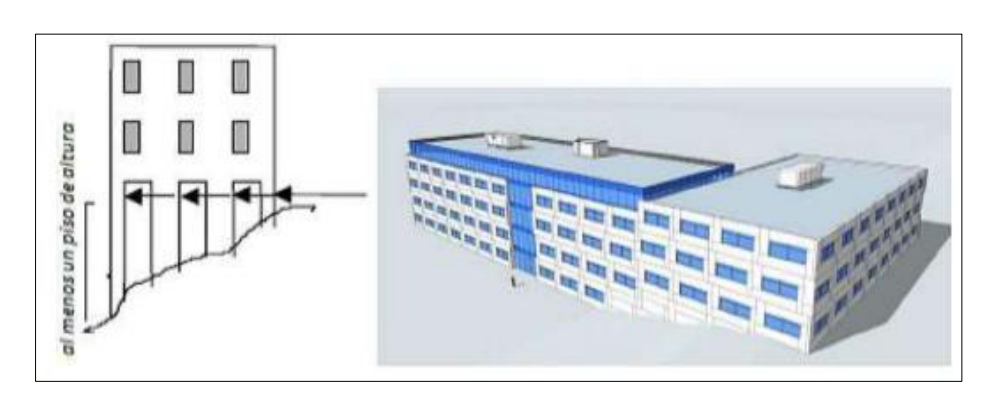


Ilustración 6: Irregularidad vertical: Irregularidad por ubicación

Fuente: (MIDUVI & SGR, 2016)

Piso débil: si la dureza de un piso es drásticamente menor que la mayoría de los demás pisos. Disminución en mampostería portante o muros (MIDUVI & SGR, 2016).

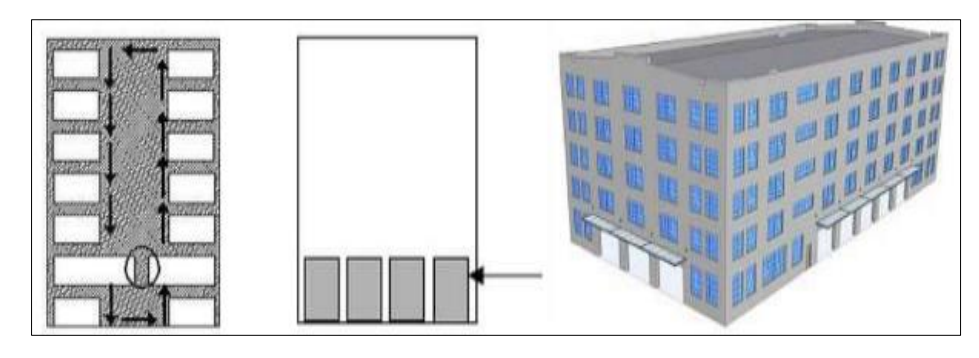


Ilustración 7: Irregularidad vertical: Piso débil

Columna corta o larga: si la construcción muestra columnas cortas o muy largas (comúnmente en mezzanines) (MIDUVI & SGR, 2016)

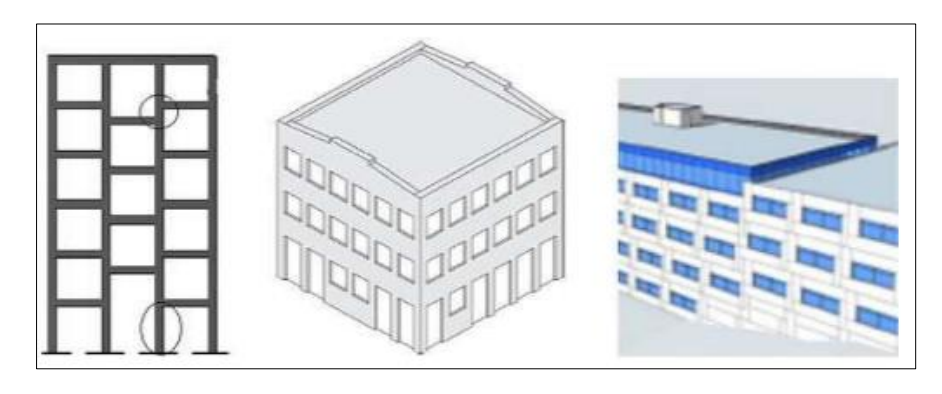


Ilustración 8: Irregularidad vertical: Columna corta o larga

Fuente: (MIDUVI & SGR, 2016)

Ejes verticales discontinuos o muros soportados por columnas: la estructura de la edificación es irregular cuando existen desplazamientos en el alineamiento de elementos verticales y estos desplazamientos son más grandes que la dimensión horizontal del elemento (MIDUVI & SGR, 2016)

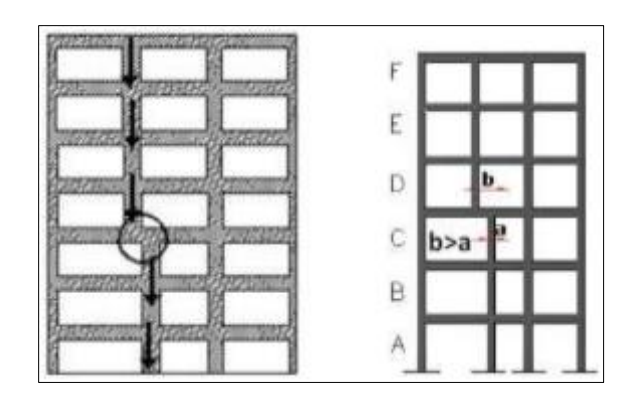


Ilustración 9: Irregularidad vertical: ejes verticales discontinuos o muros soportados por columnas

Fuente: (MIDUVI & SGR, 2016)

Distribución de masa: la estructura de la edificación es irregular cuando la masa de cualquier piso es mayor que 1.5 veces la masa de uno de los pisos adyacentes, con excepción del piso de cubierta que sea más liviano que el piso inferior (MIDUVI & SGR, 2016), (Véliz Indacochea, 2018).

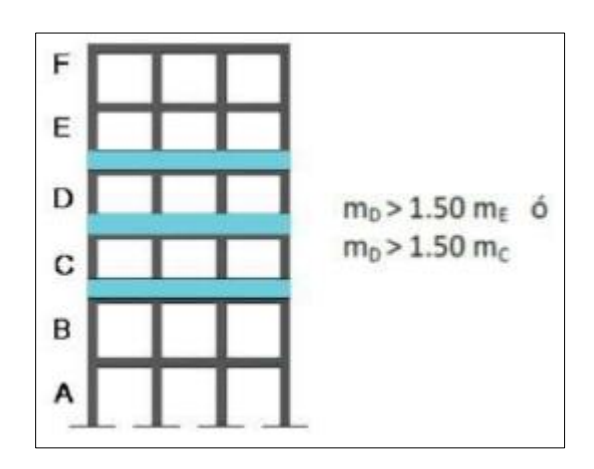


Ilustración 10: Irregularidad vertical: distribución de masa

Fuente: (MIDUVI & SGR, 2016)

Piso flexible: la estructura de la edificación no es regular cuando la rigidez lateral de un piso es menor que el 70% de la rigidez del piso superior o menos que el 80% del promedio de la rigidez lateral de los tres pisos superiores (MIDUVI & SGR, 2016), (Osorio, 2017).

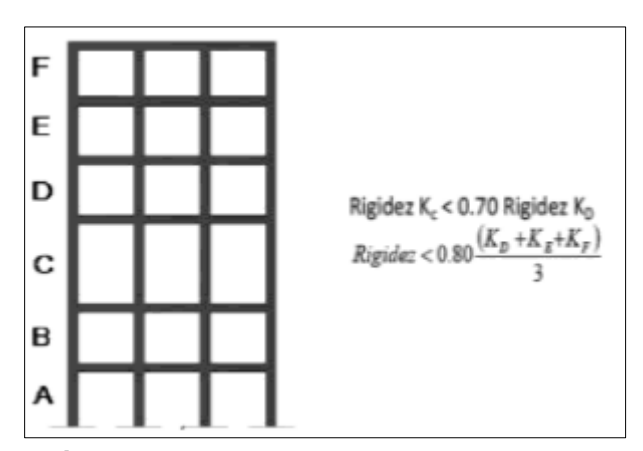


Ilustración 11: Irregularidad vertical: piso flexible en elevación

Fuente: (MIDUVI & SGR, 2016)

Adiciones: la estructura de la edificación es irregular cuando existen adiciones, fuera del diseño original, de un piso más. (MIDUVI & SGR, 2016)



Ilustración 12: Irregularidad vertical: adiciones

- Irregularidad en planta

La estructura de la edificación no es regular cuando su proporción en planta presenta las formas L, T, I, U, E o forma de cruz, sin juntas de construcción (MIDUVI & SGR, 2016), (Osorio, 2017).

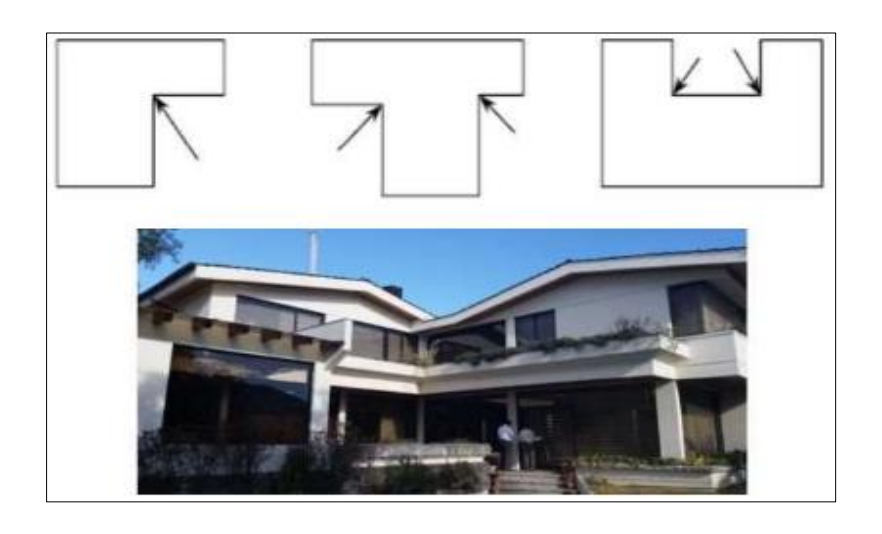


Ilustración 13: Irregularidad en planta: configuración en planta

Fuente: (MIDUVI & SGR, 2016)

Discontinuidades en el sistema de piso: la estructura de la edificación no es regular cuando el sistema de piso tiene disconformidades apreciables o variaciones significativas en su rigidez, causadas por aberturas, entrantes o huecos con áreas mayores al 50% del área total del piso (MIDUVI & SGR, 2016), (Osorio, 2017).

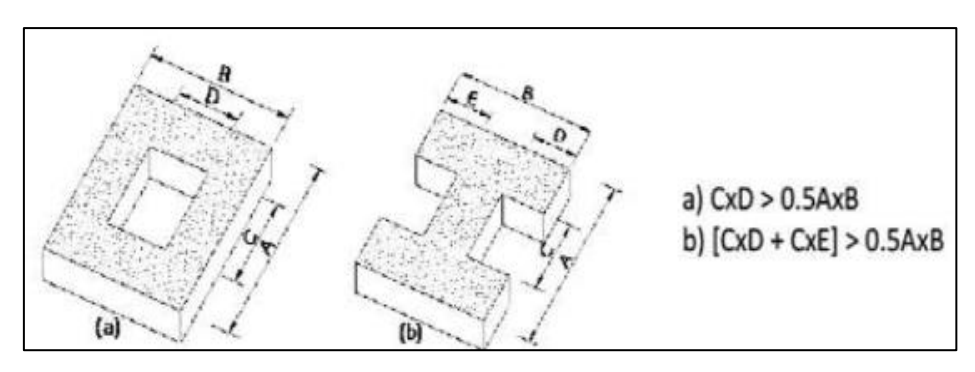




Ilustración 14: Irregularidad en planta; Discontinuidad en el sistema de piso

Ejes estructurales no paralelos: la estructura de la construcción no es regular cuando los ejes estructurales no son paralelos o simétricos con respecto a los ejes ortogonales principales de la estructura. (MIDUVI & SGR, 2016).



Ilustración 15: Irregularidad en planta: ejes estructurales no paralelos

Fuente: (MIDUVI & SGR, 2016)

Torsional: la estructura de la edificación es irregular cuando presenta buena resistencia lateral en una dirección, pero en la otra no o si existe rigidez excéntrica en plantas, o cuando su centro de rigidez no coincide con su centro de masa (MIDUVI & SGR, 2016), (Osorio, 2017).

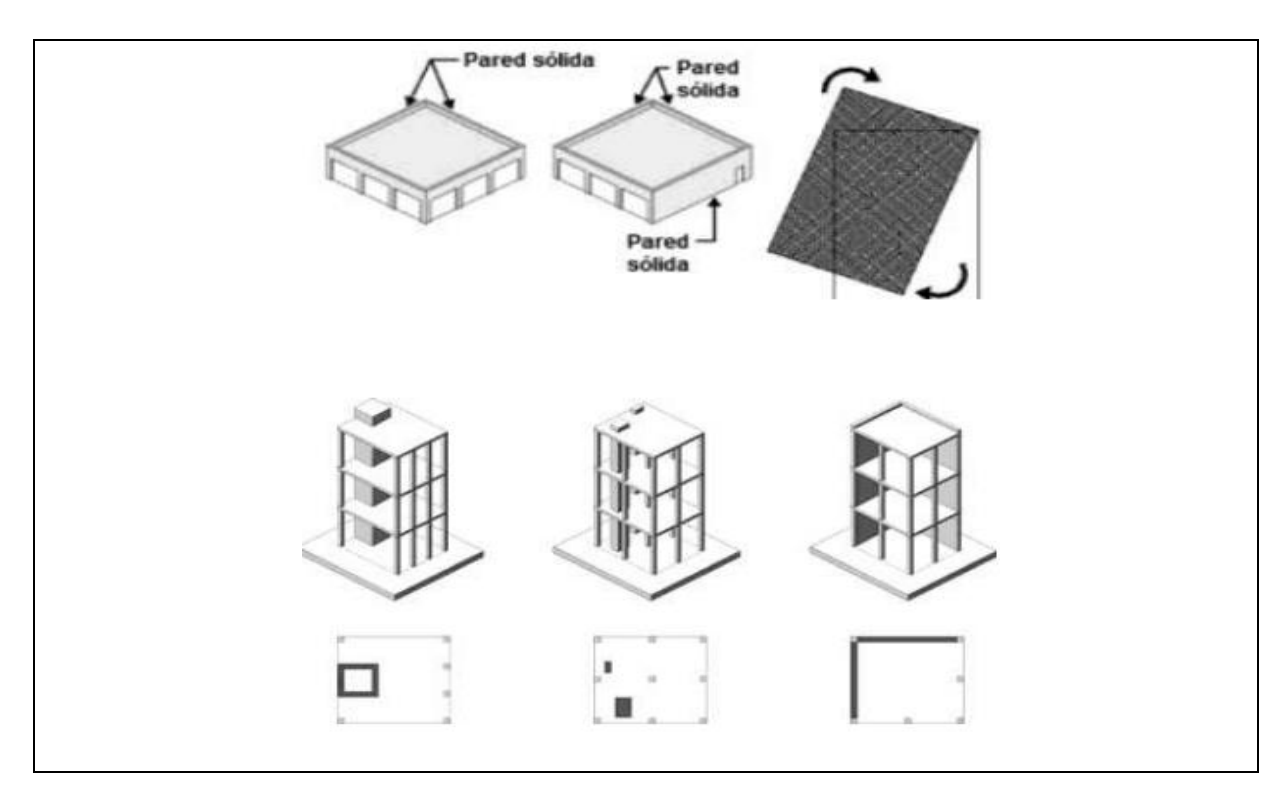


Ilustración 16: Irregularidad en planta: torsional

Adiciones: la estructura de la construcción es irregular cuando existen adiciones, fuera del diseño original, sin su respectiva junta de construcción (MIDUVI & SGR, 2016), (Osorio, 2017).



Ilustración 17: Irregularidad en plantas: adiciones

Fuente: (MIDUVI & SGR, 2016)

Código de Construcción.

En Ecuador se estableció en 1977, el primer código de construcción ecuatoriano que describe un proceso de estimación de fuerzas laterales y requisitos de diseño sísmico, luego de la publicación del Código Americano UBC 1974. (MIDUVI & SGR, 2016), (Ludeña Guaicha, 2017).

Años más tarde. Después de colapsos y daños en edificaciones sufridos a causa del terremoto de magnitud 7.1 ocurrido en Bahía de Caráquez, en la costa norte del Ecuador, se implantó en el año 2001, el primer mapa de zonificación sísmica de Ecuador en el Código Ecuatoriano de la Construcción (CEC-2001), poco después de aplicar los principios sismológicos adecuados y conocimientos de ingeniería sísmica disponibles en ese momento en todo el mundo (MIDUVI & SGR, 2016), (Osorio, 2017).

El ejemplar del código del año 2001 contiene una serie de requisitos de diseño y modelado, análogas al código americano UBC 1997. Por lo tanto, 2001 podría ser considerado como año de referencia del diseño sísmico en Ecuador.

Hoy en día, se encuentra aprobada la nueva Norma Ecuatoriana de la Construcción NEC-2015, la que se considera como un código mejorado, con respecto al diseño sismo-resistente de estructuras (MIDUVI & SGR, 2016), (Osorio, 2017).

Por lo tanto, es razonable considerar que los edificios antes de 1977 tendrán una resistencia sísmica inaceptable. Por el contrario, todos los edificios construidos después de 2001, se podrían considerar que tienen un diseño sismo-resistente adecuado (MIDUVI & SGR, 2016), (Osorio, 2017).

Pre-código (construido antes de 1977) o autoconstrucción se utilizará este indicador cuando una obra haya sido construida antes de 1977 (primer código ecuatoriano), o cuando la edificación muestre señales que se la construyó sin un profesional a cargo (MIDUVI & SGR, 2016), (Osorio, 2017).

Construido en etapa de transición (entre 1977 y 2001) se utilizará este indicador cuando una edificación haya sido construida entre los años 1977 y 2001

Post-código moderno (construido a partir de 2001) se utilizará este indicador cuando una edificación haya sido construida después de 2001, año de referencia del diseño sísmico en Ecuador (MIDUVI & SGR, 2016), (Osorio, 2017).

Tipo de suelo.

La metodología (MIDUVI & SGR, 2016) establece que este indicador muestra tres tipos de suelo para calificar a una estructura (C, D y E), a pesar que la NEC-2015 especifica 6 tipos de suelo (Osorio, 2017).

Las edificaciones cimentadas en suelos tipo A y B, no se considera que puedan ser afectadas significativamente frente a un sismo (MIDUVI & SGR, 2016), (Osorio, 2017).

Como se muestra, no hay ningún indicador para tipo de suelo F, ya que las edificaciones cimentadas en este tipo de suelo, no pueden ser evaluadas eficazmente por este procedimiento de evaluación visual rápida. Se requerirá de un ingeniero geotécnico para verificar este tipo de suelo F y un ingeniero con experiencia en evaluación de construcciones mediante este proceso (MIDUVI & SGR, 2016), (Osorio, 2017).

Es importante mencionar que, si la edificación tiene un sistema de pilotaje en su cimentación, la edificación podrá ser calificada con un tipo de suelo "mejorado". Por ejemplo, si la estructura está construida sobre un tipo de suelo E, según los mapas de caracterización de suelos, y tiene pilotes como cimentación, se podrá calificar en el formulario de evaluación como suelo tipo D (MIDUVI & SGR, 2016), (Osorio, 2017).

Se describen a continuación las características de cada tipo de suelo que se presentan como modificador en el formulario, y constan en la NEC-2015. (Ver anexo 1)

Tipo de suelo C: : perfiles de suelos muy densos o roca blanda, con velocidad de onda cortante de suelo entre 360 y 760 m/s > Vs≥ 180 m/s) o con suelos que cumplan con cualquiera de estos dos criterios: número medio de golpes del ensayo de penetración estándar mayor o igual a 50 (N≥50) y la resistencia al corte no drenado sea mayor o igual a 100 kPa (Su ≥ 100) (MIDUVI & SGR, 2016).

Tipo de suelo D: perfiles de suelos rígidos, con velocidad de onda cortante de suelo mayores o igua- les que 180 m/s, pero menores que 360 m/s (360 m/s > Vs \geq 180 m/s) ó con suelos que cumplan con cualquiera de estas dos condiciones: número medio de golpes del ensayo de penetración estándar mayores o iguales a 15 pero menores que 50 (50 > N \geq 15) y la

resistencia al corte no drenado sea mayor o igual a 50 kPa pero menor a 100 kPa (100 kPa > Su ≥ 50 kPa) (MIDUVI & SGR, 2016), (Osorio, 2017).

Tipo de suelo E: perfiles con velocidad de onda cortante de suelo menores a 180 m/s (Vs < 180 m/s) ó perfiles que contienen un espesor total H mayor a 3 metros de arcillas blandas con: índice de plasticidad mayor a 20 (IP > 20), contenido de agua mayor o igual al 40% (w ≥ 40%) y resistencia al corte no drenado menor a 50 kPa (Su < 50 kPa) (MIDUVI & SGR, 2016), (Osorio, 2017).

Puntaje Final, S y Grado de Vulnerabilidad Sísmica

El puntaje estructural final, "S", para una edificación, se determina mediante la suma y/o resta de los valores de los modificadores antes explicados. Una vez obtenido el puntaje final "S", el evaluador deberá marcar con una "X" o visto el grado de vulnerabilidad de la estructura. Si "S" es mayor a 2.5 se considera que la estructura tiene una vulnerabilidad baja, si resultado S está entre 2 y 2.5 se considera una edificación de vulnerabilidad media y si el puntaje final S es menor a 2, entonces será una estructura de alta vulnerabilidad y requerirá una evaluación especial, realizado por un ingeniero experto en diseño estructural (MIDUVI & SGR, 2016), (Osorio, 2017).

Fundamentalmente, el puntaje final "S", es una estimación o probabilidad de que la edificación colapsará si se produce un evento sísmico. Esta estimación se basa en los modificadores antes mencionados y en la habilidad del profesional a cargo de la evaluación para tomar los datos correctos; por lo tanto, es una calificación de vulnerabilidad frente a eventos sísmicos aproximada. Por ejemplo, un puntaje S = 2 implica que hay una probabilidad de 1 en, 1 en 100 de que la edificación se derrumbe (MIDUVI & SGR, 2016), (Osorio, 2017).

Además, como se indicó anteriormente, si por algún motivo, no se puede determinar la tipología de la estructura, y el acceso a la edificación es imposible, el evaluador deberá eliminar aquellos sistemas estructurales que sean imposibles para la estructura en estudio y calificar las posibles opciones que quedan. El resultado final, S, que se considere será el de menor valor y se marcará el grado de vulnerabilidad de la estructura (MIDUVI & SNGR, 2015), (Osorio, 2017).

Tabla 10: Valoración para grado de vulnerabilidad sísmica - Formato Guía de Evaluación NEC

Grado de vulnerabilidad	Puntaje
Alta	S<2.0
Media	2.0>S>2.5
Baja	S>2.5

Observaciones:

Esta última parte del formulario es para registrar observaciones que el evaluador desee hacer con respecto a la construcción, uso, condición, circunstancias inusuales que presente la edificación o algún detalle importante que se crea necesario mencionar.

Este procedimiento de evaluación visual rápida que se presenta en esta guía, es una detección preliminar de muchas fases que puede tener el identificar a los edificios que son vulnerables frente a un sismo.

Las edificaciones identificadas como vulnerables mediante este proceso de evaluación deberán ser analizadas con mayor detalle por un ingeniero especialista en diseño sísmico. (MIDUVI & SGR, 2016), (Osorio, 2017).

Además de identificar potencialmente a las edificaciones sísmicamente vulnerables, los resultados de este proceso de evaluación también podrían servir para otros fines como: diseño de programas de mitigación de riesgos sísmicos para un barrio, ciudad etc., inventarios de edificaciones para posibles rehabilitaciones, planes de emergencia durante y después de un evento sísmico etc. (MIDUVI & SGR, 2016), (Osorio, 2017).

Tabla 11: Formulario de Evaluación visual rápida de la vulnerabilidad sísmica de edificaciones

ı	F) (4 4 1 1	a cióniano		DID & DI			D 4 D 61		DEE	DIEICA.	CLONICS			
	EVALU	IACIÓN VIS	UAL KA		DE LA EI			SMICA	DEE	DIFICA	CIONES			
				Direcci		JIIICA	CIOI							
					e de la e	difica	ción:							
					referer									
				Tipo de		icia.					Fecha de	evaluac	ón:	
				_	constru	cción:						emodela		
					nstruida						Numero		CIOII.	
					DEL PRO						Numero	pisos:		
					e del ev	aluado	or:							
				C.I.	- CENIEC	CME								
ESQUEMA ESTRUCTURAL	EN PLAN	ITA Y ELEVA	CION	Registr	o SENES	CYI								
DE LA ED	IFICACIO	N												
									F ОТО	GRAFI <i>A</i>	4			
					DEL SISTE							·		
Madera	W1	Pórtico ho	rmigón	armado)	C1	Pórtice	Acer	o Lam	inado				\$1
		Pórtico H.	Armado	o con										
Mampostería sin	URM	mamposte	ería con	finada s	in	C2	Pórtico	o Acer	o Lam	inado	con diago	onales		S2
refuerzo		refuerzos												
Name nostavia rafarrada	RM						Pórtico		o Dob	lada a	n fri o			\$3
Mampostería reforzada	RIVI	Pórtico H.												55
Mixta acero-hormigón o		mamposte	ería con	finada s	in	C3					con murc	s estruct	urales	S4
mixta madera-hormigón	MX	refuerzos						migór	arma	do				
		H. Armado	prefab	ricado							S5			
		PUNTA		SICOS, I	MODIFIC	ADOR	ES Y PL	Y PUNTAJE FINAL 5						
Tipología del sistema est	ructural	W1	URM	RM	MX	C1	C2	C3	PC	51	52	53	54	\$5
Puntaje Básico		4.4	1.8	2.8	1.8	2.5	2.8	1.6	2.4	2.6	3.0	2.0	2.8	2.0
ALTURA DE LA EDIFICACIO														
Baja altura (menor a 4 pis		0.0	0.0	0.0	0.0	0.0	0.0	0.0	0.0	0.0	0.0	0.0	0.0	0.0
Mediana altura (4 a 7 pisc		N/A	N/A	0.4	0.2	0.4	0.4	0.2	0.2	0.2	0.4	N/A	0.4	0.4
Gran altura (mayor a 7 pis	os)	N/A	N/A	N/A	0.3	0.6	0.8	0.3	0.4	0.6	0.8	N/A	0.8	0.8
IRREGULARIDAD DE LA EL	DIFICACIÓ													
Irregularidad vertical		-2.5	-1.0	-1.0	-1.5	-1.5	-1.0	-1.0	-1.0	-1.0	-1.5	-1.5	-1.0	-1.0
Irregularidad en planta		-0.5	-0.5	-0.5	-0.5	-0.5	-0.5	-0.5	-0.5	-0.5	-0.5	-0.5	-0.5	-0.5
CÓDIGO DE LA CONSTRU	CCIÓN													
Pre-código (construido ar	ntes de	0.0	-0.2	-1.0	1.2	-1.2	4.0	-0.2	0.0	10	0.0	0.0	0.0	0.3
1977) o auto construido		0.0	-0.2	-1.0	-1.2	-1.2	-1.0	-0.2	-0.8	-1.0	-0.8	-0.8	-0.8	-0.2
Construido en etapa de transición (entre 1977 y 2	001)	0.0	0.0	0.0	0.0	0.0	0.0	0.0	0.0	0.0	0.0	0.0	0.0	0.0
Post código moderno (co					 									
a partir de 2001)		1.0	N/A	2.8	1.0	1.4	2.4	1.4	1.0	1.4	1.4	1.0	1.6	1.0
TIPO DE SUELO		L	Щ.		L	L		Ь		L	l	l		<u> </u>
Tipo de suelo C		0.0	-0.4	-0.4	-0.4	-0.4	-0.4	-0.4	-0.4	-0.4	-0.4	0.4	0.4	-0.4
		0.0		-0.4	-0.4	-0.4	-0.4	-0.4	-0.4	-0.4	-0.4	-0.4 -0.6	-0.4 -0.6	-0.4
	Tipo de suelo D 0.0 -0.6			-0.4			-0.8	_						
PUNTAJE FINAL S	Tipo de suelo E 0.0 -0.8				-1.2	-1.2	-0.8	-0.8	-1.2	-1.2	-1.2	-1.2	-1.2	-0.8
GRADO DE VULNERABILIE	DAD CÍCA	IICA			L	L								
S<2.0		nera bilidad,	rocuito	re evel	uaclán									
3≤2.0	especial		, requie	re eval	uacion									
2.0>\$>2.5		ulnerabilida	ad											
S>2.5	Baja vulr	nerabilidad							Fi	rma re	sponsabl	le de eva	luación	
OBSERVACIONES:								<u> </u>						

2.3.3 Método ATC 21 (FEMA P-154).

Fue desarrollado este método por la Agencia Federal de Manejo de Emergencias de los Estados Unidos (FEMA) con el objeto de determinar la seguridad sísmica de las diferentes construcciones civiles (FEMA P-154, 2015), (Alvarez Sanchez & Pulgar Santacruz, 2019). Está orientado a determinar cuáles estructuras poseen niveles alto de vulnerabilidad y porcentaje de colapsos. Se constituye el FEMA P-154 apropiado para evaluar conjunto de estructuras por tratarse de un análisis rápido. Del mismo modo facilita conocer las estructuras que no tendrían que ser consideradas lugar de refugio por su grado de vulnerabilidad. (FEMA P-154, 2015), (Alvarez Sanchez & Pulgar Santacruz, 2019).

Inicialmente se utilizó en Estados Unidos por la Agencia Federal de Manejo de Emergencias, validados sus eficaces resultados y fácil aplicación, varios países alrededor del mundo lo usan para hacer una evaluación rápida que permita tener datos de alta vulnerabilidad en hospitales, colegios, edificios, etc. (FEMA P-154, 2015), (Alvarez Sanchez & Pulgar Santacruz, 2019).

Se describe a continuación los parámetros necesarios que toma la metodología para la evaluación de distintas edificaciones existentes:

Paso 1: Debe determinarse la región sísmica. Esto se hará escogiendo el tipo de cartilla de encuesta a utilizar con la finalidad de realizar la evaluación de las diferentes construcciones. Los cuestionarios se dividen en sismicidad baja, sismicidad moderada, sismicidad moderada-alta, sismicidad alta y sismicidad muy alta (FEMA P-154, 2015), (Alvarez Sanchez & Pulgar Santacruz, 2019)

La zona sísmica, se escoge a partir de la verificación del período del suelo, que mediante la aceleración espectral se obtiene, como se muestra en la siguiente tabla.

Tabla 12: Región sísmica según aceleración espectral

R	legión sísmica	Aceleración del suelo según el periodo (periodo corto o 0.2 s)	Aceleración del suelo según el periodo (periodo largo o 1 s)
	Bajo	menos de 0.25g	menos de 0.10g
	Moderado	mayor o igual a 0.25g pero menor que 0.50g	mayor o igual a 0.10g pero menor que 0.20g
	Moderado alto	mayor o igual a 0.50g pero menor que 1.00g	mayor o igual a 0.20g pero menor que 0.40g
	Alto	mayor o igual a 1.00g pero menor que 1.50g	mayor o igual a 0.40g pero menor que 0.60g
	Muy alto	mayor o igual a 1.50g	mayor o igual a 0.60g

Fuente: (FEMA P-154, 2015)

Dato: g = aceleración de la gravedad en dirección horizontal

Nota: Esta tabla provee información para determinar la región sísmica en la que se encuentra la edificación seleccionada para estudio, según la aceleración del suelo. Adaptado de "Rapid visual screening of buildings for potential seismic hazards: A handbook", por FEMA 154.2015. (Alvarez Sanchez & Pulgar Santacruz, 2019)

Paso 2: Determinar el tipo de suelo (FEMA P-154, 2015). Se utiliza este parámetro para determinar si es o no favorable evaluar la edificación, a través de lo que expone la tabla que presenta la American Society of Civil Engineers (ASCE, 203), (Alvarez Sanchez & Pulgar Santacruz, 2019).

Tabla 13: Tipo de suelo

Tipo de suelo	Velocidad cortante de las ondas, Vs	SPT, N	Resistencia no drenada al cortante por encima de los 100 pies, Su
A: Roca dura	Vs>5000 pies/s		
B: Roca	2500 pies/s <vs<5000pies s<="" td=""><td></td><td></td></vs<5000pies>		
C: Suelo muy denso y Roca suave	1200 pies/s <vs<2500pies s<="" td=""><td>N>50</td><td>Su>2000psf</td></vs<2500pies>	N>50	Su>2000psf
D: Suelo rígido	600 pies/s <v<1200pies s<="" td=""><td>15<n<50< td=""><td>1000psf<su<2000psf< td=""></su<2000psf<></td></n<50<></td></v<1200pies>	15 <n<50< td=""><td>1000psf<su<2000psf< td=""></su<2000psf<></td></n<50<>	1000psf <su<2000psf< td=""></su<2000psf<>
E: Arcilla suave	Vs<=600 pies/s Más de 10 pies de plasticidad Pf>20, o Su<500psf		
F: Suelo pobre	Suelo que requiere de cargas sísmicas como altamente sensitivas, cementado. -Arcilla orgánica o esp -Muy alta plasticidad o pies de suave o mediar	fallas potendo licuefacción suelo con mayor a le las arcillas	ciales o colapso bajo on del suelo, arcillas plapsable débilmente a 10 pies de turba. s (Pf>75)Más de 120

Nota: Demuestra la tabla que antecede el tipo de suelo de acuerdo con las características que presenta, es utilizado por FEMA P-154 y es coincidente con la Norma Ecuatoriana de Construcción, NEC-SE-DS. Adaptado de "Minimum design for buildings and other structures", por ASCE/SEI 7-10, 2013. (Alvarez Sanchez & Pulgar Santacruz, 2019)

Si no se puede determinar el tipo de suelo en el sitio de estudio, la (FEMA P-154, 2015) recomienda tomar las características de suelo rígido (D). debe anotarse además que estos parámetros son similares a los que detalla la norma Ecuatoriana de Construcción, NEC-SE-DS.

Paso 3. Como establece el método de la (FEMA P-154, 2015), se selecciona el tipo de construcción, que se incluye en el inicio de la hoja de evaluación. Se dividen las construcciones así:

W1: Construcciones de madera ligera unifamiliar o multifamiliar de 1 o más pisos.

W1A: Construcciones de madera ligera de varios pisos (construcción residencial) con un área en planta mayor a 3000 pies²=280m².

W2: Construcciones de madera comerciales e industriales con un área en planta mayor a 5000 pies²=465m².

S1: Construcciones de acero resistente a los momentos.

S2: Construcciones de acero con arriostres.

S3: Construcciones de metal ligero.

S4: Construcciones de acero con placas de concreto.

S5: Construcciones de acero con muros de ladrillo no reforzado.

C1: Construcciones de concreto resistente a los momentos.

C2: Construcciones de concreto con placas.

C3: Construcciones de concreto con muros de ladrillo no reforzado.

PC1: Edificios inclinados.

PC2: Construcciones con concreto prefabricado.

RM1: Construcciones de ladrillo reforzado, con pisos y diafragmas flexibles.

RM2: Construcciones de ladrillo reforzado, con pisos y diafragmas rígidos.

URM: Construcciones con muros de contención de ladrillo sin reforzar.

MH: Construcciones prefabricadas.

La tabla 14, presenta los valores base de calificación y los modificadores que puntúa de acuerdo con el tipo de construcción, y determina el puntaje básico en función de la región de sismicidad.

Tabla 14: Puntaje básico y modificadores

FEMA TIPO DE EDIFICIO NO	W1	W1A	W2	51	52	S3	S4	S5	C1	C2	C3	PC1	PC2	RM1	RM2	URM	MH
Sabemos				(MRF)	(BR)	(LM)	(RC SW)	(URMIN F)	(MRF)	(SW)	(URMI NF)	(TV)		(FD)	(RD)		
Puntaje Basico	3,6	3,2	2,9	2,1	2,0	2,6	2,0	1,7	1,5	2,0	1,2	1,6	1,4	1,7	1,7	1,0	1,5
Irregularidad Vertical Grave, VL 1	-1,2	-1,2	-1,2	-1,0	-1,0	-1,1	-1,0	-0,8	-0,9	-1,0	-0,7	-1,0	-0,9	-0,9	-0,9	-0,7	NA
Irregularidad Vertical Moderada, VL1	-0,7	-0,7	-0,7	-0,6	-0,6	-0,7	-0,6	-0,5	-0,5	-0,6	-0,4	-0,6	-0,5	-0,5	-0,5	-0,4	NA
Plan de Irregularidad, PL1	-1,1	-1,0	-1,0	-0,8	-0,7	-0,9	-0,7	-0,6	-0,6	-0,8	-0,5	-0,7	-0,6	-0,7	-0,7	-0,4	NA
Pre-Codigo	-1,1	-1,0	-0,9	-0,6	-0,6	-0,8	-0,6	-0,2	-0,4	-0,7	-0,1	-0,5	-0,3	-0,5	-0,5	0,00	-0,1
Posterior-año de Referencia	1,6	1,9	2,2	1,4	1,4	1,1	1,9	NA	1,9	2,1	NA	2,0	2,4	2,1	2,1	NA	1,2
Suelo Tipo A o B	0,1	0,3	0,5	0,4	0,6	0,1	0,6	0,5	0,4	0,5	0,3	0,6	0,4	0,5	0,5	0,3	0,3
Suelo Tipo E(1-3 Historia)	0,2	0,2	0,1	-0,2	-0,4	0,2	-0,1	-0,4	0,0	0,0	-0,2	-0,3	-0,1	-0,1	-0,1	-0,2	-0,4
Suelo Tipo E(>3 Historia)	0,3	-0,6	-0,9	-0,6	-0,6	NA	-0,6	-0,4	-0,5	-0,7	-0,3	NA	-0,4	-0,5	-0,6	-0,2	NA
Puntaje Minimo Smin	1,1	0,9	0,7	0,5	0,5	0,6	0,5	0,5	0,3	0,3	0,3	0,2	0,2	0,3	0,3	0,2	1,0

Fuente: (FEMA P-154, 2015)

Cada una de estas presenta un conjunto único de puntuación básica, en el caso del presentado en la tabla 14, corresponde al formulario de toma de datos para una zona de alto riesgo sísmico.

La selección de la tipología de la edificación se realiza considerando aspectos como: la adyacencia, los materiales de construcción y adiciones, mediante la implementación de una inspección interna y externa en la edificación, para la posterior puntuación de los modificadores. La tipología estructural está en función del tipo de construcción, si alguna de las características estructurales no se aplica para algún tipo de construcción FEMA; se debe considerar N/A, esto indica que dicha puntuación de modificador no es aplicable. (FEMA P-154, 2015)

Paso 4. Se verifican las irregularidades verticales que puedan tener las edificaciones, las mismas que pueden ser: edificaciones en lugares inclinados, piso débil, columna corta, desviación en los pisos superiores e inferiores que se conocen como (out-of-plane setback)

	Irregularidad vertical	Severidad	Instrucciones
Sitio inclinado	(a) (b)	Varia	Se aplica si hay más de 1 piso inclinado. a) para W1, moderado y b) para las demás estructuras, severo.
Piso débil		severa	c) Cuando uno de los pisos tiene menos muros o columnas que los otros y d) cuando un piso es más alto que los otros.
Out-of- plane setback		Severo	Aplica cuando se tiene esquinas ∨erticales que hacen ∨ariar la homogeneidad de las estructuras.
Columna corta/		Severo	a) Cuando algunas columnas son más pequeños que los otros en el mismo piso, b) cuando las columnas son más pequeños que el peralte de las ∨igas y c) hay muros que acortan el tamaño de las columnas.
In-plane setback	~~	Moderado	Se aplica cuando hay descompensación de los sistemas laterales
Niveles de división		Moderado	Se aplica si el diafragma de la construcción no está alineado con los demás.

llustración 18: Irregularidades verticales

Nota. Muestra esta tabla los tipos de irregularidades verticales y su severidad según corresponda. Adaptado de "Rapid visual screening of buildings for potential seismic hazards: a handbook", por FEMA 154, 2015. (Alvarez Sanchez & Pulgar Santacruz, 2019)

Paso 5: Las irregularidades en planta serán verificadas tales como: torsión, sistemas no paralelos, esquinas entrantes, diafragmas abiertos y vigas no alineadas a las columnas como se muestra en la siguiente figura.

	Irregularidad en planta	Instrucción
Torsión	Pared Solida Solida Solida Pared Solida Pared Solida Pared Solida	Aplicar si hay una buena resistencia lateral en una dirección, pero no la otra,o si hay rigidez excéntrica en la planta (como se muestra en las figuras (a) y (b); paredes sólidas en dos o tres lados con paredes con las porciones deaberturas en los lados restantes.
Sistemas no paralelos		Aplicar si los lados del edificio noforman ángulos de 90 grados
Esquinas entrantes		Aplicará si hay un rincón de reentrada, es decir, el edificio es L, T, U, o en forma de +, con proyecciones de más de 20 pies. Siempre que sea posible, comprobar para ver si hay separaciones sísmicas donde las alas se encuentran.
Diafragmas abiertos		Aplicar si hay una abertura que tiene una anchura de más de 50% de la anchura de la membrana en cualquier nivel
Vigas no alineadas con columnas		Aplicara si las vigas exteriores no se alinean con las columnas en la planta. Típicamente, esto se aplica a edificios de concreto, donde as columnas perimetrales están por fuera de las vigas perimetrales.

Ilustración 19: Irregularidades de planta, según FEMA- P-154

Nota: Ilustra la figura los tipos de irregularidades en planta según su característica, adaptado de "Rapid visual screening of buildings for potential seismic hazards: a handbook", por FEMA 154, 2015. (Alvarez Sanchez & Pulgar Santacruz, 2019).

Además, señala que la proporción de irregularidades verticales y en planta deben ser evaluadas de forma visual para el nivel 1 de verificación.

Paso 6: Se definirán los pre-codes y post-benchmarks, los mismos que están establecidos por los años en que las normas cambiaron drásticamente, en Ecuador se utilizará 1997 conforme se encuentra definido en la Norma Ecuatoriana de Construcción.

Finalmente, una vez que se encuentra el valor final S podrá predecirse el permisible comportamiento que la estructura pueda tener, de la siguiente manera:

La clasificación del nivel de vulnerabilidad que tiene una edificación se determina conforme se muestra en la tabla 15.

Tabla 15: Interpretación de resultados sobre la base de índices de vulnerabilidad

Interp	retación de los resultados (comportamiento esperado de las construcciones)
	Alta probabilidad de tener daño de grado 5 y muy alta probabilidad de tener daño
S<0.3	de grado 4
	Alta probabilidad de tener daño de grado 4 y muy alta probabilidad de tener daño
0.3 <s<0.7< th=""><th>de grado 3</th></s<0.7<>	de grado 3
	Alta probabilidad de tener daño de grado 3 y muy alta probabilidad de tener daño
0.7 <s<2.0< th=""><th>de grado 2</th></s<2.0<>	de grado 2
	Alta probabilidad de tener daño de grado 2 y muy alta probabilidad de tener daño
2.0 <s<3.0< th=""><th>de grado 1</th></s<3.0<>	de grado 1
S>3.0	Probabilidad de tener daño de grado 1

Nota: Muestra esta tabla como deberá ser interpretado el resultado que se obtenga en grados de daño.

Adaptado de "Rapid visual screening of buildings for potential seismic hazards: a handbook", por FEMA

154, 2015. (Alvarez Sanchez & Pulgar Santacruz, 2019)

Como soporte de la interpretación que se realice con estos datos, se clasificara el daño de la siguiente manera, como se expone en la tabla siguiente:

Tabla 16: Clasificación del daño para estructuras de concreto

Clasificación de daño para estructuras de concreto con muros	Gráficos
Grado 1: Daños despreciables o ligeros (ningún daño estructural, daños no-estructurales ligeros), fisuras en los tabiques.	March Comp. Dozen M. World
Grado 2: Daños moderados (daños estructurales ligeros, daños no-estructurales moderados), gritas en vigas y en los muros estructurales y Grietas en los tabiques, caída de revestimientos y enlucidos frágiles.	
Grado 3: Daños importantes a graves (daños estructurales moderados, daños no-estructurales graves), grietas en columnas y vigas y en las juntas de los muros. Grandes grietas en tabiques y muros.	President land of the control of the
Grado 4: Daños muy graves (daños estructurales graves, daños no estructurales muy graves), Grandes grietas en los elementos estructurales por compresión y rotura de armadura, inclinación de columnas. Colapso de algunas columnas o plantas altas.	THE PARTY OF THE P
Grado 5: Destrucción (daños estructurales muy graves), colapso de la planta baja o de algunas partes de la edificación.	

Nota: Muestra esta tabla, pormenores de respuesta de las edificaciones posterior a un sismo severo, en relación con el grado de daño. Adaptado de "Intensidad macrosísmica", por Instituto Geográfico Nacional de Madrid (Escala Macrosísmica Europea), 1999. (Alvarez Sanchez & Pulgar Santacruz, 2019).

Demuestra la tabla que, los daños primero y segundo se consideran NO vulnerables, daños grado tres se consideran vulnerables, mientras que los daños grado cuatro y cinco se valoran como muy vulnerables.

En las siguientes tablas se muestran los formatos empleados por FEMA P-154 para verificación de vulnerabilidad para el nivel 1, el nivel 2 (detalle más amplio), en regiones altamente sísmicas y moderadamente altas.

Nivel 1: Sismicidad Alta

Tabla 17: Formulario de encuesta nivel 1.

Canada C	FEMA P-154 Formulario de Recole				riesgos	sísmico	os							ALT	A Sism	Niv nicidad		
FOTOGRAFIA							Dire	cción:										
FOTOGRAFIA												Codigo	Postal					
POTOGRAFIA																		
FOTOGRAFIA								re del Ed	lificio:									
FOTOGRAFIA																		
Inspector(s) Fechal/Hora: Fechal/Hora: Fechal/Hora: Fechal/Hora: Fechal/Hora: Fechal/Hora: Fechal/Hora: Golgo afto: Golgo								d:			ı	_	d:					
No. PISOC: Noveleta Superificite total del Suo(ep. Ft.): Codigo ahor Codigo	FOTOGRAFI	Δ						tor(s):					/Hora:					
Superficie total del Suelo (sa. FL) Golge año: Suelo S	TOTOGRATI	^					No. Pi	sos:	Niveles	superi	ores:	Niveles	inferior	:	Año de	Const	rucción:	
Addiciones: Ninguna S, Años Construcción:												-			-		_	
Asamblea Comercial Sec. Emergencia Historico Albergue Industrial Golden Historico Albergue Industrial Golden Historico Albergue Historico							Adicio	nes:	Ningur	na [Sí, A	Años Co						
Industrial							Ocupa	ción:										
BOSQUEIO								Asamble	ea	Comer	cial	Ser. Eme	rgencia	[Histor	ico 🗌	Albergu	ue
Policy P								Industri	al	Oficina	9	Escuela	9	[Gobie	erno		
BOSQUEIO								Utilidad	I	Almace	én	Reside	ncial,#	Unid:	1		_	
ROCA ROCA Suel							Tipo d	e Suelo:										
BOSQUEIO Segon Geologicos Locateccidos Silvin John Segon Debre Riesgos Geologicos Locateccidos Silvin John Segon Debre Riesgos Geologicos Locateccidos Silvin John Segon Debre Segon Geologicos Locateccidos Silvin John Segon Debre Segon Geologicos Peligro de Calda del Edificio Adyacente Irregularidade Vertical (Ipro/severidad) Vertical Segon Apéndices District Apéndices Di								A 🗆	□в	□с	□D	□ E	□ F		No sé			
Riesgos Geologicos: Locenciaes Silhan)heas de designamenters Silhan)heas de solationenters de legence on chappado de maderra per College College Silhan heast solationenters Silhandheast so								Roca	Roca	Suelo	Suelo	Suelo	Suelo		Si No s	abe, as	umir Tip	po D.
Adyacencia: Golpes Peligro de Calda del Edificio Adyacente Irregularidaden Vertical (tipo/severidad) Vertical (tipo/severidad) Vertical (tipo/severidados) Vertical (tipo/								Dura	Debil	Denso	Duro	Blando	pobre					
Planta (tipo) y una abertura en la losa en el area de la escale							Riesgo	os Geolog	gicos:	Licuefac	ción: Si/N	lo/No sé D	eslizami	entos: Si/	No/No sé	Rup. Sup	erf.: Yes/N	o/No sé
Planta (tipo) yuna abertura en la losa en el area de la escale Parapetos Caledade Exerteror Parapetos														del Edif	icio Ad	yacente	9	
BOSQUEIO													,					
Poligros									⊔ Pl	anta (ti	po)	VIIDA	hertur	a en la l	ncaer	el area	delass	calers
BOSQUEJO									_			,						
BOSQUEIO											n soporte				esado o e	enchapad	lo de made	era pesac
Dibujos Adicionales o comentarios en pagina separada. Dibujos Adicionales o comentarios en pagina separada. Dibujos Adicionales o comentarios en pagina separada. Dibujos Adicionales o comentarios en pagina separada. Dibujos Adicionales o comentarios en pagina separada. Dibujos Adicionales o comentarios en pagina separada. Dibujos Adicionales o comentarios en pagina separada. Dibujos Adicionales o comentarios en pagina separada. Dibujos Adicionales o comentarios en pagina separada. Dibujos Adicionales o comentarios en pagina separada. Dibujos Adicionales o comentarios en pagina separada. Dibujos Adicionales o comentarios en pagina separada. Dibujos Adicionales o comentarios en pagina separada. Dibujos Adicionales o comentarios en pagina separada. Dibujos Adicionales o comentarios en pagina separada. Dibujos Adicionales o comentarios en pagina separada. Dibujos Adicionales o comentarios en pagina separada. Dibujos Adicionales o comentarios en pagina separada. Dibujos Adicionales o comentarios en pagina separada. Dibujos Adicionales o comentarios en pagina separada. Dibujos Adicionales o comentarios en pagina separada. Dibujos Adicionales o comentarios en pagina separada. Dibujos o comentarios o en pagina separada. Dibujos o en p							Caida de	Exterior					Apei	ndices				
Dibujos Adicionales October										os:								
NOTA DE BASE, MODIFICADORES, Y ULTIMA PUNTUACIÓN NIVEL I, SLI MATIPO DE EDIFICIO No W1 W1A W2 S1 S2 S3 S4 S5 C1 (C2 C3 PC1 PC2 RM1 RM2 URM N							COIVIE	NIARIOS	:									
NOTA DE BASE, MODIFICADORES, Y ULTIMA PUNTUACIÓN NIVEL I, SLI MATIPO DE EDIFICIO No W1 W1A W2 S1 S2 S3 S4 S5 C1 (C2 C3 PC1 PC2 RM1 RM2 URM N																		
Martino De Edificio No Sabemos W1	BOSOUEIO)						bujos Ad	icional	es o co	_			separac	da.			
Sabemos	22240230		OTA DE	E BASE	MOD							V/EI 1	SL1					
Truntaje Basico 3,6 3,2 2,9 2,1 2 2,6 2 1,7 1,5 2 1,2 1,6 1,4 1,7 1,7 1 1 1					_				IA PUN	ITUACI								
Puntaje Basico	EMA TIPO DE EDIFICIO NO				S1	S2	53	S4	S5	C1	C2	C3	PC1	PC2			URM	МН
regularidad Vertical Grave, VL 1	EMA TIPO DE EDIFICIO NO				S1	S2	53	S4	S5 (URMIN	C1	C2	C3 (URMI	PC1	PC2			URM	МН
Tregularidad Vertical Moderada, VLI	EMA TIPO DE EDIFICIO NO Sabemos	W1	W1A	W2	S1 (MRF)	S2 (BR)	\$3 (LM)	\$4 (RC SW)	S5 (URMIN F)	C1 (MRF)	C2 (SW)	C3 (URMI NF)	PC1 (TV)		(FD)	(RD)		MH
regularidad de planta, PL1	EMA TIPO DE EDIFICIO NO Sabemos untaje Basico	W1 3,6	W1A 3,2	W2 2,9	\$1 (MRF)	\$2 (BR)	S3 (LM)	\$4 (RC SW)	S5 (URMIN F)	C1 (MRF)	C2 (SW)	C3 (URMI NF) 1,2	PC1 (TV)	1,4	(FD)	(RD)	1	1,5
TecCodigo	EMA TIPO DE EDIFICIO NO Sabemos untaje Basico rregularidad Vertical Grave, VL 1	W1 3,6 -1,2	3,2 -1,2	W2 2,9 -1,2	S1 (MRF) 2,1 -1,0	\$2 (BR) 2 -1,0	S3 (LM) 2,6 -1,1	\$4 (RC SW) 2 -1,0	S5 (URMIN F) 1,7 -0,8	C1 (MRF) 1,5 -0,9	C2 (SW) 2 -1,0	C3 (URMI NF) 1,2 -0,7	PC1 (TV) 1,6 -1,0	1,4 -0,9	(FD) 1,7 -0,9	(RD) 1,7 -0,9	1 -0,7	1,5 NA
Sosterior Costerior Cost	EMA TIPO DE EDIFICIO No Sabemos runtaje Basico rregularidad Vertical Grave, VL 1 rregularidad Vertical Moderada, VL1	3,6 -1,2 -0,7	3,2 -1,2 -0,7	V2 2,9 -1,2 -0,7	\$1 (MRF) 2,1 -1,0 -0,6	\$2 (BR) 2 -1,0 -0,6	S3 (LM) 2,6 -1,1 -0,7	\$4 (RC SW) 2 -1,0 -0,6	S5 (URMIN F) 1,7 -0,8 -0,5	1,5 -0,9 -0,5	C2 (SW) 2 -1,0 -0,6	C3 (URMI NF) 1,2 -0,7 -0,4	PC1 (TV) 1,6 -1,0 -0,6	1,4 -0,9 -0,5	(FD) 1,7 -0,9 -0,5	(RD) 1,7 -0,9 -0,5	1 -0,7 -0,4	1,5
uelo Tipo A o B	EMA TIPO DE EDIFICIO No Sabemos untaje Basico regularidad Vertical Grave, VL 1 regularidad Vertical Moderada, VL1 regularidad de planta, PL1	3,6 -1,2 -0,7 -1,1	3,2 -1,2 -0,7 -1,0	V2 2,9 -1,2 -0,7 -1,0	S1 (MRF) 2,1 -1,0 -0,6 -0,8	\$2 (BR) 2 -1,0 -0,6 -0,7	\$3 (LM) 2,6 -1,1 -0,7 -0,9	\$4 (RC SW) 2 -1,0 -0,6 -0,7	(URMIN F) 1,7 -0,8 -0,5 -0,6	1,5 -0,9 -0,5 -0,6	C2 (SW) 2 -1,0 -0,6 -0,8	C3 (URMI NF) 1,2 -0,7 -0,4 -0,5	PC1 (TV) 1,6 -1,0 -0,6 -0,7	1,4 -0,9 -0,5 -0,6	1,7 -0,9 -0,5 -0,7	(RD) 1,7 -0,9 -0,5 -0,7	1 -0,7 -0,4 -0,4	1,5 NA NA NA
uelo Tipo E(>3 Pisos) 0,3	EMA TIPO DE EDIFICIO NO Sabemos untaje Basico regularidad Vertical Grave, VL 1 regularidad Vertical Moderada, VL1 regularidad de planta, PL1 re-Codigo	3,6 -1,2 -0,7 -1,1	3,2 -1,2 -0,7 -1,0 -1,0	2,9 -1,2 -0,7 -1,0 -0,9	S1 (MRF) 2,1 -1,0 -0,6 -0,8 -0,6	\$2 (BR) 2 -1,0 -0,6 -0,7 -0,6	S3 (LM) 2,6 -1,1 -0,7 -0,9 -0,8	\$4 (RC SW) 2 -1,0 -0,6 -0,7 -0,6	S5 (URMIN F) 1,7 -0,8 -0,5 -0,6 -0,2	1,5 -0,9 -0,5 -0,6 -0,4	C2 (SW) 2 -1,0 -0,6 -0,8 -0,7	C3 (URMI NF) 1,2 -0,7 -0,4 -0,5 -0,1	PC1 (TV) 1,6 -1,0 -0,6 -0,7 -0,5	1,4 -0,9 -0,5 -0,6 -0,3	1,7 -0,9 -0,5 -0,7 -0,5	1,7 -0,9 -0,5 -0,7 -0,5	1 -0,7 -0,4 -0,4 0,0	1,5 NA NA NA -0,1
untaje Minimo Swn	EMA TIPO DE EDIFICIO NO Sabemos untaje Basico regularidad Vertical Grave, VL 1 regularidad Vertical Moderada, VL1 regularidad de planta, PL1 re-Codigo osterior-año de Referencia	3,6 -1,2 -0,7 -1,1 -1,1	3,2 -1,2 -0,7 -1,0 -1,0 1,9	2,9 -1,2 -0,7 -1,0 -0,9 2,2	S1 (MRF) 2,1 -1,0 -0,6 -0,8 -0,6 1,4	S2 (BR) 2 -1,0 -0,6 -0,7 -0,6 1,4	S3 (LM) 2,6 -1,1 -0,7 -0,9 -0,8 1,1	\$4 (RC SW) 2 -1,0 -0,6 -0,7 -0,6 1,9	S5 (URMIN F) 1,7 -0,8 -0,5 -0,6 -0,2 NA	1,5 -0,9 -0,5 -0,6 -0,4 1,9	C2 (SW) 2 -1,0 -0,6 -0,8 -0,7 2,1	C3 (URMI NF) 1,2 -0,7 -0,4 -0,5 -0,1 NA	PC1 (TV) 1,6 -1,0 -0,6 -0,7 -0,5 2,0	1,4 -0,9 -0,5 -0,6 -0,3 2,4	1,7 -0,9 -0,5 -0,7 -0,5 2,1	1,7 -0,9 -0,5 -0,7 -0,5 2,1	1 -0,7 -0,4 -0,4 0,0 NA	1,5 NA NA NA
INAL PUNTAJE NIVEL 1, SL12 SMIN Iclance de Control Interior: Parcial Image: Parcial Parc	EMA TIPO DE EDIFICIO No Sabemos untaje Basico rregularidad Vertical Grave, VL 1 rregularidad Vertical Moderada, VL1 regularidad de planta, PL1 rec-Codigo osterior-año de Referencia uelo Tipo A o B	3,6 -1,2 -0,7 -1,1 -1,1 1,6 0,1	3,2 -1,2 -0,7 -1,0 -1,0 1,9 0,3	2,9 -1,2 -0,7 -1,0 -0,9 2,2 0,5	S1 (MRF) 2,1 -1,0 -0,6 -0,8 -0,6 1,4 0,4	S2 (BR) 2 -1,0 -0,6 -0,7 -0,6 1,4 0,6	S3 (LM) 2,6 -1,1 -0,7 -0,9 -0,8 1,1 0,1	\$4 (RC SW) 2 -1,0 -0,6 -0,7 -0,6 1,9 0,6	S5 (URMIN F) 1,7 -0,8 -0,5 -0,6 -0,2 NA 0,5	1,5 -0,9 -0,5 -0,6 -0,4 1,9 0,4	C2 (SW) 2 -1,0 -0,6 -0,8 -0,7 2,1 0,5	C3 (URMI NF) 1,2 -0,7 -0,4 -0,5 -0,1 NA 0,3	PC1 (TV) 1,6 -1,0 -0,6 -0,7 -0,5 2,0 0,6	1,4 -0,9 -0,5 -0,6 -0,3 2,4 0,4	1,7 -0,9 -0,5 -0,7 -0,5 2,1 0,5	1,7 -0,9 -0,5 -0,7 -0,5 2,1 0,5	1 -0,7 -0,4 -0,4 0,0 NA 0,3	1,5 NA NA NA -0,1 1,2 0,3
OTROS RIESGOS ACCION REQUERIDA	EMA TIPO DE EDIFICIO No Sabemos untaje Basico regularidad Vertical Grave, VL 1 regularidad Vertical Moderada, VL1 regularidad de planta, PL1 re-Codigo osterior-año de Referencia uelo Tipo A o B uelo Tipo E(1-3 Pisos)	3,6 -1,2 -0,7 -1,1 -1,1 1,6 0,1 0,2 0,3	3,2 -1,2 -0,7 -1,0 -1,0 1,9 0,3 0,2 -0,6	2,9 -1,2 -0,7 -1,0 -0,9 2,2 0,5 0,1 -0,9	S1 (MRF) 2,1 -1,0 -0,6 -0,8 -0,6 1,4 0,4 -0,2 -0,6	\$2 (BR) 2 -1,0 -0,6 -0,7 -0,6 1,4 0,6 -0,4 -0,6	S3 (LM) 2,6 -1,1 -0,7 -0,9 -0,8 1,1 0,1 0,2 NA	\$4 (RC SW) 2 -1,0 -0,6 -0,7 -0,6 1,9 0,6 -0,1 -0,6	S5 (URMIN F) 1,7 -0,8 -0,5 -0,6 -0,2 NA 0,5 -0,4 -0,4	1,5 -0,9 -0,5 -0,6 -0,4 1,9 0,4 0,0 -0,5	C2 (SW) 2 -1,0 -0,6 -0,8 -0,7 2,1 0,5 0,0 -0,7	C3 (URMI NF) 1,2 -0,7 -0,4 -0,5 -0,1 NA 0,3 -0,2 -0,3	PC1 (TV) 1,6 -1,0 -0,6 -0,7 -0,5 2,0 0,6 -0,3 NA	1,4 -0,9 -0,5 -0,6 -0,3 2,4 0,4 -0,1 -0,4	1,7 -0,9 -0,5 -0,7 -0,5 2,1 0,5 -0,1 -0,5	1,7 -0,9 -0,5 -0,7 -0,5 2,1 0,5 -0,1 -0,6	1 -0,7 -0,4 -0,4 0,0 NA 0,3 -0,2	1,5 NA NA -0,1 1,2 0,3 -0,4 NA
Atterior: Parcial Gabos Parcial Parcia	EMA TIPO DE EDIFICIO No Sabemos untaje Basico regularidad Vertical Grave, VL 1 regularidad Vertical Moderada, VL1 regularidad de planta, PL1 re-Codigo osterior-año de Referencia uselo Tipo A o B uelo Tipo E(1-3 Pisos) uelo Tipo E(>3 Pisos)	3,6 -1,2 -0,7 -1,1 -1,1 1,6 0,1 0,2 0,3	3,2 -1,2 -0,7 -1,0 -1,0 1,9 0,3 0,2 -0,6	2,9 -1,2 -0,7 -1,0 -0,9 2,2 0,5 0,1 -0,9	S1 (MRF) 2,1 -1,0 -0,6 -0,8 -0,6 1,4 0,4 -0,2 -0,6	\$2 (BR) 2 -1,0 -0,6 -0,7 -0,6 1,4 0,6 -0,4 -0,6	S3 (LM) 2,6 -1,1 -0,7 -0,9 -0,8 1,1 0,1 0,2 NA	\$4 (RC SW) 2 -1,0 -0,6 -0,7 -0,6 1,9 0,6 -0,1 -0,6	S5 (URMIN F) 1,7 -0,8 -0,5 -0,6 -0,2 NA 0,5 -0,4 -0,4	1,5 -0,9 -0,5 -0,6 -0,4 1,9 0,4 0,0 -0,5	C2 (SW) 2 -1,0 -0,6 -0,8 -0,7 2,1 0,5 0,0 -0,7	C3 (URMI NF) 1,2 -0,7 -0,4 -0,5 -0,1 NA 0,3 -0,2 -0,3	PC1 (TV) 1,6 -1,0 -0,6 -0,7 -0,5 2,0 0,6 -0,3 NA	1,4 -0,9 -0,5 -0,6 -0,3 2,4 0,4 -0,1 -0,4	1,7 -0,9 -0,5 -0,7 -0,5 2,1 0,5 -0,1 -0,5	1,7 -0,9 -0,5 -0,7 -0,5 2,1 0,5 -0,1 -0,6	1 -0,7 -0,4 -0,4 0,0 NA 0,3 -0,2	1,5 NA NA NA -0,1 1,2 0,3
Agreo Parcial lades Parc	EMA TIPO DE EDIFICIO No Sabemos runtaje Basico rregularidad Vertical Grave, VL 1 rregularidad Vertical Moderada, VL1 rregularidad de planta, PL1 rre-Codigo rosterior-año de Referencia uelo Tipo A o B uelo Tipo E(3 Pisos) runtaje Minimo SM™	3,6 -1,2 -0,7 -1,1 -1,1 1,6 0,1 0,2 0,3	3,2 -1,2 -0,7 -1,0 -1,0 1,9 0,3 0,2 -0,6	2,9 -1,2 -0,7 -1,0 -0,9 2,2 0,5 0,1 -0,9	S1 (MRF) 2,1 -1,0 -0,6 -0,8 -0,6 1,4 0,4 -0,2 -0,6	S2 (BR) 2 -1,0 -0,6 -0,7 -0,6 1,4 0,6 -0,4 -0,6 0,5	\$3 (LM) 2,6 -1,1 -0,7 -0,9 -0,8 1,1 0,1 0,2 NA 0,6	\$4 (RC SW) 2 -1,0 -0,6 -0,7 -0,6 1,9 0,6 -0,1 -0,6 0,5	S5 (URMIN F) 1,7 -0,8 -0,5 -0,6 -0,2 NA 0,5 -0,4 -0,4	1,5 -0,9 -0,5 -0,6 -0,4 1,9 0,4 0,0 -0,5	C2 (SW) 2 -1,0 -0,6 -0,8 -0,7 2,1 0,5 0,0 -0,7	C3 (URMI NF) 1,2 -0,7 -0,4 -0,5 -0,1 NA 0,3 -0,2 -0,3 0,3	PC1 (TV) 1,6 -1,0 -0,6 -0,7 -0,5 2,0 0,6 -0,3 NA 0,2	1,4 -0,9 -0,5 -0,6 -0,3 2,4 0,4 -0,1 -0,4	1,7 -0,9 -0,5 -0,7 -0,5 2,1 0,5 -0,1 -0,5	1,7 -0,9 -0,5 -0,7 -0,5 2,1 0,5 -0,1 -0,6	1 -0,7 -0,4 -0,4 0,0 NA 0,3 -0,2	1,5 NA NA -0,1 1,2 0,3 -0,4 NA
ibujo comentado: Si	EMA TIPO DE EDIFICIO No Sabemos untaje Basico regularidad Vertical Grave, VL 1 regularidad Vertical Moderada, VL1 recularidad de planta, PL1 re-Codigo osterior-año de Referencia uelo Tipo A o B uelo Tipo E(1-3 Pisos) uelo Tipo E(3-3 Pisos) untaje Minimo SM™	3,6 -1,2 -0,7 -1,1 -1,1 1,6 0,1 0,2 0,3 1,1	3,2 -1,2 -0,7 -1,0 -1,0 1,9 0,3 0,2 -0,6 0,9	2,9 -1,2 -0,7 -1,0 -0,9 2,2 0,5 0,1 -0,9	S1 (MRF) 2,1 -1,0 -0,6 -0,8 -0,6 1,4 0,4 -0,2 -0,6	S2 (BR) 2 -1,0 -0,6 -0,7 -0,6 1,4 0,6 -0,4 -0,6 0,5	\$3 (LM) 2,6 -1,1 -0,7 -0,9 -0,8 1,1 0,1 0,2 NA 0,6	\$4 (RC SW) 2 -1,0 -0,6 -0,7 -0,6 1,9 0,6 -0,1 -0,6 0,5	S5 (URMIN F) 1,7 -0,8 -0,5 -0,6 -0,2 NA 0,5 -0,4 -0,4	1,5 -0,9 -0,5 -0,6 -0,4 1,9 0,4 0,0 -0,5	C2 (SW) 2 -1,0 -0,6 -0,8 -0,7 2,1 0,5 0,0 -0,7	C3 (URMI NF) 1,2 -0,7 -0,4 -0,5 -0,1 NA 0,3 -0,2 -0,3 0,3	PC1 (TV) 1,6 -1,0 -0,6 -0,7 -0,5 2,0 0,6 -0,3 NA 0,2	1,4 -0,9 -0,5 -0,6 -0,3 2,4 0,4 -0,1 -0,4	1,7 -0,9 -0,5 -0,7 -0,5 2,1 0,5 -0,1 -0,5	1,7 -0,9 -0,5 -0,7 -0,5 2,1 0,5 -0,1 -0,6	1 -0,7 -0,4 -0,4 0,0 NA 0,3 -0,2	1,5 NA NA -0,1 1,2 0,3 -0,4 NA
po de fuente de Suelo: po de fuente peligro Geologico: prona de Contacto SI2>Ilinea de cortesi se conoce) Riesgo de caida de mas edifcios altos adyacentes Si, sia presentan otros peligros. No Sualuación detallada no estructural recomendada? Si, los peligros no estructurales identificados que deben ser evaluación detallada no estructurales que pueden requer minitigación, sino una evaluación detallada no es tructurales que pueden requer minitigación, sino una evaluación detallada no es tructurales que pueden requer minitigación, sino una evaluación detallada no es tructurales que pueden requer minitigación, sino una evaluación detallada no es tructurales que pueden requer minitigación, sino una evaluación detallada no es tructurales que pueden requer minitigación, sino una evaluación detallada no es tructurales que pueden requer minitigación, sino una evaluación detallada no estructurales que pueden requer minitigación, sino una evaluación detallada no estructurales que pueden requer minitigación, sino una evaluación detallada no estructurales que pueden requer minitigación, sino una evaluación detallada no estructurales que pueden requer minitigación, sino una evaluación detallada no estructurales que pueden requer minitigación, sino una evaluación detallada no estructurales que pueden requer minitigación, sino una evaluación detallada no estructurales que pueden requer minitigación, sino una evaluación detallada no estructurales que pueden requer minitigación, sino una evaluación detallada no estructurales que pueden requer minitigación, sino una evaluación detallada no estructurales que pueden requer minitigación, sino una evaluación detallada no estructurales que pueden requer minitigación, sino una evaluación detallada no estructurales que pueden requer minitigación, sino una evaluación detallada no estructurales que pueden requer minitigación, sino una evaluación detallada no estructurales que pueden requer minitigación, sino una evaluación detallada no estructurales que pueden requer minitigación,	MA TIPO DE EDIFICIO No Sabemos untaje Basico regularidad Vertical Grave, VL 1 regularidad Vertical Moderada, VL1 regularidad de planta, PL1 re-Codigo osterior-año de Referencia uelo Tipo A o B uelo Tipo E (-3 Pisos) uelo Tipo E(-3 Pisos) untaje Minimo SMN NAL PUNTAJE NIVEL 1, SL1≥ SMIN Icance de Control cterior: □ Parcial	3,6 -1,2 -0,7 -1,1 -1,1 1,6 0,1 0,2 0,3 1,1	3,2 -1,2 -0,7 -1,0 -1,0 1,9 0,3 0,2 -0,6 0,9	2,9 -1,2 -0,7 -1,0 -0,9 2,2 0,5 0,1 -0,9	S1 (MRF) 2,1 -1,0 -0,6 -0,8 -0,6 1,4 0,4 -0,2 -0,6 0,5	S2 (BR) 2 -1,0 -0,6 -0,7 -0,6 1,4 0,6 -0,4 -0,6 0,5 OTROS ¿Hay p	S3 (LM) 2,6 -1,1 -0,7 -0,9 -0,8 1,1 0,1 0,2 NA 0,6	S4 (RC SW) 2 -1,0 -0,6 -0,7 -0,6 1,9 0,6 -0,1 -0,6 0,5	(URMIN F) 1,7 -0,8 -0,5 -0,6 -0,2 NA 0,5 -0,4 -0,4 0,5	1,5 -0,9 -0,5 -0,6 -0,4 1,9 0,4 0,0 -0,5 0,3	C2 (SW) 2 -1,0 -0,6 -0,8 -0,7 2,1 0,5 0,0 -0,7 0,3	C3 (URMI NF) 1,2 -0,7 -0,4 -0,5 -0,1 NA 0,3 -0,2 -0,3 0,3	PC1 (TV) 1,6 -1,0 -0,6 -0,7 -0,5 2,0 0,6 -0,3 NA 0,2	1,4 -0,9 -0,5 -0,6 -0,3 2,4 0,4 -0,1 -0,4 0,2	(FD) 1,7 -0,9 -0,5 -0,7 -0,5 2,1 0,5 -0,1 -0,5 0,3	(RD) 1,7 -0,9 -0,5 -0,7 -0,5 2,1 0,5 -0,1 -0,6 0,3	1 -0,7 -0,4 -0,4 0,0 NA 0,3 -0,2 -0,2	1,5 NA NA -0,1 1,2 0,3 -0,4 NA
po de fuente peligro Geologico: ersona de Contacto Riesgo de caida de mas edifcios altos adyacentes No Evaluación detallada no estructural recomendada? SPECCIÓN DEL NIVEL 2 REALIZADA ? Riesgos Geologicos o Tipo de Suel daños significativos / deterioro al sistema estructural. No, existen peligros no estructurales que pueden requer mitigación, sino una evaluación detallada no es necesaria eligros No estructurales: Yes	MA TIPO DE EDIFICIO No Sabemos untaje Basico regularidad Vertical Grave, VL 1 regularidad Vertical Moderada, VL1 regularidad de planta, PL1 re-Codigo sosterior-año de Referencia uelo Tipo A o B uelo Tipo E(1-3 Pisos) uelo Tipo E(1-3 Pisos) uelo Tipo E(3-3 Pisos) uelo Tipo E(1-3 Pisos) uelo Tipo E(0-3 Pisos) uelo Tipo	3,6 -1,2 -0,7 -1,1 -1,1 1,6 0,1 0,2 0,3 1,1	3,2 -1,2 -0,7 -1,0 -1,0 1,9 0,3 0,2 -0,6 0,9	2,9 -1,2 -0,7 -1,0 -0,9 2,2 0,5 0,1 -0,9	S1 (MRF) 2,1 -1,0 -0,6 -0,8 -0,6 1,4 0,4 -0,2 -0,6 0,5	S2 (BR) 2 -1,0 -0,6 -0,7 -0,6 1,4 0,6 -0,4 -0,6 0,5 OTROS ¿Hay p	2,6 -1,1 -0,7 -0,9 -0,8 1,1 0,1 0,2 NA 0,6	\$4 (RC SW) 2 -1,0 -0,6 -0,7 -0,6 1,9 0,6 -0,1 -0,6 0,5 OS que proetallada e	(URMIN F) 1,7 -0,8 -0,5 -0,6 -0,2 NA 0,5 -0,4 -0,4 -0,5	1,5 -0,9 -0,5 -0,6 -0,4 1,9 0,4 0,0 -0,5 0,3	C2 (SW) 2 -1,0 -0,6 -0,8 -0,7 2,1 0,5 0,0 -0,7 0,3 ACCIO Evalua	C3 (URMI NF) 1,2 -0,7 -0,4 -0,5 -0,1 NA 0,3 -0,2 -0,3 0,3	PC1 (TV) 1,6 -1,0 -0,6 -0,7 -0,5 2,0 0,6 -0,3 NA 0,2 PERIDA tallada edificio	1,4 -0,9 -0,5 -0,6 -0,3 2,4 -0,1 -0,4 -0,2	(FD) 1,7 -0,9 -0,5 -0,7 -0,5 2,1 0,5 -0,1 -0,5 0,3	(RD) 1,7 -0,9 -0,5 -0,7 -0,5 2,1 0,5 -0,1 -0,6 0,3	1 -0,7 -0,4 -0,4 0,0 NA 0,3 -0,2 -0,2 0,2	1,5 NA NA -0,1 1,2 0,3 -0,4 NA
altos adyacentes SPECCIÓN DEL NIVEL 2 REALIZADA ? Riesgos Geologicos o Tipo de Suel daños significativos / deterioro al sistema estructurales; No, existen peligros no estructurales que pueden requer mitigación, sino una evaluación detallada no es necesaria eligros No estructurales; Yes	EMA TIPO DE EDIFICIO No Sabemos untaje Basico regularidad Vertical Grave, VL 1 regularidad Vertical Moderada, VL1 regularidad de planta, PL1 re-Codigo osterior-año de Referencia uelo Tipo A o B uelo Tipo E(-3 Pisos) uelo Tipo E(-3 Pisos) untaje Minimo SMN INAL PUNTAJE NIVEL 1, SL1≥ SMIN Icance de Control kterior: □ Parcial iterior: □ Ninguna ibujo comentado: □ Si	3,6 -1,2 -0,7 -1,1 -1,1 1,6 0,1 0,2 0,3 1,1	3,2 -1,2 -0,7 -1,0 -1,0 1,9 0,3 0,2 -0,6 0,9	2,9 -1,2 -0,7 -1,0 -0,9 2,2 0,5 0,1 -0,9	S1 (MRF) 2,1 -1,0 -0,6 -0,8 -0,6 1,4 0,4 -0,2 -0,6 0,5	S2 (BR) 2 -1,0 -0,6 -0,7 -0,6 1,4 0,6 -0,4 -0,6 0,5 OTROS ¿Hay p evalua	2,6 -1,1 -0,7 -0,9 -0,8 1,1 0,1 0,2 NA 0,6 RIESG eligrosción de Golpes	S4 (RC SW) 2 -1,0 -0,6 -0,7 -0,6 1,9 0,6 -0,1 -0,6 0,5 OS s que pro etallada e	1,7 -0,8 -0,5 -0,6 -0,2 NA 0,5 -0,4 -0,4 0,5	1,5 -0,9 -0,5 -0,6 -0,4 1,9 0,4 0,0 -0,5 0,3	C2 (SW) 2 -1,0 -0,6 -0,8 -0,7 2,1 0,5 0,0 -0,7 0,3 ACCIO Evalua Si, Si,	C3 (URMI NF) 1,2 -0,7 -0,4 -0,5 -0,1 NA 0,3 -0,2 -0,3 0,3 N REQU	PC1 (TV) 1,6 -1,0 -0,6 -0,7 -0,5 2,0 0,6 -0,3 NA 0,2 ERIDA tallada edificio tado da	1,4 -0,9 -0,5 -0,6 -0,3 2,4 0,4 -0,1 -0,4 0,2	(FD) 1,7 -0,9 -0,5 -0,7 -0,5 2,1 0,5 -0,1 -0,5 0,3 tural recover Femaleque el del	(RD) 1,7 -0,9 -0,5 -0,7 -0,5 2,1 0,5 -0,1 -0,6 0,3	1 -0,7 -0,4 -0,4 0,0 NA 0,3 -0,2 -0,2 0,2	1,5 NA NA -0,1 1,2 0,3 -0,4 NA
Riesgos Geologicos o Tipo de Suel Si, los peligros no estructurales identificados que deben ser evaluac Si, los peligros no estructurales identificados que deben ser evaluac Si, los peligros no estructurales identificados que deben ser evaluac Si, los peligros no estructurales identificados que deben ser evaluac Si, los peligros no estructurales que pueden requen mitgación, sino una evaluación detallada no es necesaria No, no hay peligros no estructurales identificados No ser No, no hay peligros no estructurales identificados No ser No, no hay peligros no estructurales	EMA TIPO DE EDIFICIO No Sabemos untaje Basico regularidad Vertical Grave, VL 1 regularidad Vertical Moderada, VL1 recularidad de planta, PL1 re-Codigo osterior-año de Referencia uelo Tipo E(3-3 Pisos) uelo Tipo E(3-3 Pisos) untaje Minimo SMaN INAL PUNTAJE NIVEL 1, SL1≥ SMIN Icance de Control kterior: □ Parcial nibujo comentado: □ Si ipo de fuente de Suelo:	3,6 -1,2 -0,7 -1,1 -1,1 1,6 0,1 0,2 0,3 1,1	3,2 -1,2 -0,7 -1,0 -1,0 1,9 0,3 0,2 -0,6 0,9	2,9 -1,2 -0,7 -1,0 -0,9 2,2 0,5 0,1 -0,9	S1 (MRF) 2,1 -1,0 -0,6 -0,8 -0,6 1,4 0,4 -0,2 -0,6 0,5	S2 (BR) 2 -1,0 -0,6 -0,7 -0,6 1,4 0,6 -0,4 -0,6 0,5 OTROS ¿Hay p evalua □ SL2	\$3 (LM) 2,6 -1,1 -0,7 -0,9 -0,8 1,1 0,1 0,2 NA 0,6 RIESG Golper	\$4 (RC SW) 2 -1,0 -0,6 -0,7 -0,6 1,9 0,6 -0,1 -0,6 0,5 OS s que pro etallada e ado poten de cortesi	(URMIN F) 1,7 -0,8 -0,5 -0,6 -0,2 NA 0,5 -0,4 -0,4 0,5	1,5 -0,9 -0,5 -0,6 -0,4 1,9 0,0 -0,5 0,3	C2 (SW) 2 -1,0 -0,6 -0,8 -0,7 2,1 0,5 0,0 -0,7 0,3 ACCIO Evalua Si, Si, Si,	C3 (URMI NF) 1,2 -0,7 -0,4 -0,5 -0,1 NA 0,3 -0,2 -0,3 0,3 N REQU	PC1 (TV) 1,6 -1,0 -0,6 -0,7 -0,5 2,0 0,6 -0,3 NA 0,2 ERIDA tallada edificio tado da	1,4 -0,9 -0,5 -0,6 -0,3 2,4 0,4 -0,1 -0,4 0,2	(FD) 1,7 -0,9 -0,5 -0,7 -0,5 2,1 0,5 -0,1 -0,5 0,3 tural recover Femaleque el del	(RD) 1,7 -0,9 -0,5 -0,7 -0,5 2,1 0,5 -0,1 -0,6 0,3	1 -0,7 -0,4 -0,4 0,0 NA 0,3 -0,2 -0,2 0,2	1,5 NA NA -0,1 1,2 0,3 -0,4 NA
daños significativos / deterioro al sistema estructurales. No, existen peligros no estructurales que pueden requen mitgación, sino una evaluación detallada no es necesaria eligros No estructurales: Yes	EMA TIPO DE EDIFICIO Sabemos untaje Basico regularidad Vertical Grave, VL 1 regularidad Vertical Moderada, VL1 regularidad de planta, PL1 rec-Codigo osterior-año de Referencia uelo Tipo A o B uelo Tipo E(-3 Pisos) uelo Tipo E(-3 Pisos) untaje Minimo SuN INAL PUNTAJE NIVEL 1, SL1≥ SMIN Ilcance de Control xterior: Parcial ibiujo comentado: Si ibiujo comentado: Si ipo de fuente de Suelo: ipo de fuente peligro Geologico:	3,6 -1,2 -0,7 -1,1 -1,1 1,6 0,1 0,2 0,3 1,1	3,2 -1,2 -0,7 -1,0 -1,0 1,9 0,3 0,2 -0,6 0,9	2,9 -1,2 -0,7 -1,0 -0,9 2,2 0,5 0,1 -0,9	S1 (MRF) 2,1 -1,0 -0,6 -0,8 -0,6 1,4 0,4 -0,2 -0,6 0,5	S2 (BR) 2 -1,0 -0,6 -0,7 -0,6 1,4 -0,6 -0,4 -0,5 OTROS ¿Hay p evalua SL2	\$3 (LM) 2,6 -1,1 -0,7 -0,9 -0,8 1,1 0,1 0,2 NA 0,6 RIESG Golpes Sinea c	2 -1,0 -0,6 -0,7 -0,6 1,9 0,6 -0,1 -0,6 0,5	(URMIN F) 1,7 -0,8 -0,5 -0,6 -0,2 NA 0,5 -0,4 -0,4 0,5	1,5 -0,9 -0,5 -0,6 -0,4 1,9 0,0 -0,5 0,3	C2 (SW) 2 -1,0 -0,6 -0,8 -0,7 2,1 0,5 0,0 -0,7 0,3 ACCIO Evalua Si, Si, No	C3 (URMI NF) 1,2 -0,7 -0,4 -0,5 -0,1 NA 0,3 -0,2 -0,3 0,3 N REQU	PC1 (TV) 1,6 -1,0 -0,6 -0,7 -0,5 2,0 0,6 -0,3 NA 0,2 EERIDA EERIDA EERIDA EERIDA	1,4 -0,9 -0,5 -0,6 -0,3 2,4 -0,1 -0,4 <i>0,2</i> estruct descondance menos of	(FD) 1,7 -0,9 -0,5 -0,7 -0,5 2,1 0,5 -0,1 -0,5 0,3 tural recover Femaleue el deligros.	(RD) 1,7 -0,9 -0,5 -0,7 -0,5 2,1 -0,6 -0,3 querida a u otro	1 -0,7 -0,4 -0,4 -0,0 NA 0,3 -0,2 -0,2 0,2	1,5 NA NA -0,1 1,2 0,3 -0,4 NA 1,0
Sis, Final puntuación Nivel 2, St2 No sistema estructural. Imitigación, sino una evaluación detallada no es necesaria eligros No estructurales: Yes No No No, no hay peligros no estructurales identificadas. No so Cuando la información no puede ser verificada, se criba en cuenta lo siguiente: EST = estimado o datos fiables o DNK un = No lo sé eyenda MRF= Momento resistente marco RC= Concreto Reforzado URM INF= Mamposteria de relleno no reforzada. BR= Marco arriostrado SW= Muro de Corte TU= Levantarse MH= Casas Manufacturadas FD= Diafragma Flexible	EMA TIPO DE EDIFICIO Sabemos untaje Basico regularidad Vertical Grave, VL 1 regularidad Vertical Moderada, VL1 regularidad Vertical Moderada, VL1 regularidad de planta, PL1 rec-Codigo osterior-año de Referencia uelo Tipo A o B uelo Tipo E(-3 Pisos) uelo Tipo E(-3 Pisos) untaje Minimo SuN INAL PUNTAJE NIVEL 1, SL1≥ SMIN Ilcance de Control xterior: Parcial ibiujo comentado: Parcial ibiujo comentado: ipo de fuente de Suelo: ipo de fuente peligro Geologico: ersona de Contacto	3,6 -1,2 -0,7 -1,1 1,6 0,1 0,2 0,3 1,1 Todos	3,2 -1,2 -0,7 -1,0 -1,0 1,9 0,3 0,2 -0,6 0,9	2,9 -1,2 -0,7 -1,0 -0,9 2,2 0,5 0,1 -0,9	S1 (MRF) 2,1 -1,0 -0,6 -0,8 -0,6 1,4 0,4 -0,2 -0,6 0,5	S2 (BR) 2 -1,0 -0,6 -0,7 -0,6 1,4 0,6 -0,4 -0,5 OTROS ¿Hay p evalua □ SL2 □ Rical altos aca	S3 (LM) 2,6 -1,1 -0,7 -0,9 -0,8 1,1 0,1 0,2 NA 0,6 RIESG Golpes >linea of Sisson de Sisson d	\$4 (RC SW) 2 -1,0 -0,6 -0,7 -0,6 1,9 0,6 -0,1 -0,6 0,5 OS que proetallada e ado poten de cortesi caida de res	(URMIN F) 1,7 -0,8 -0,5 -0,6 -0,2 NA 0,5 -0,4 -0,4 0,5 vocan to secono mas editi	1,5 -0,9 -0,5 -0,4 1,9 0,4 0,0 -0,5 0,3	C2 (SW) 2 -1,0 -0,6 -0,8 -0,7 2,1 0,5 0,0 -0,7 0,3 ACCIO Evaluac Si, Si, No Evaluac Ev	C3 (URMI NF) 1,2 -0,7 -0,4 -0,5 -0,1 NA 0,3 -0,2 -0,3 N REQU ción de titipo de el resultsi preses	PC1 (TV) 1,6 -1,0 -0,6 -0,7 -0,5 2,0 0,6 -0,3 NA 0,2 EERIDA tallada edificio	1,4 -0,9 -0,5 -0,6 -0,3 2,4 0,4 -0,1 -0,4 0,2	(FD) 1,7 -0,9 -0,5 -0,7 -0,5 2,1 0,5 -0,1 -0,5 0,3 tural reco	(RD) 1,7 -0,9 -0,5 -0,7 -0,5 2,1 0,5 -0,1 -0,6 0,3 querid: a u otro	1 -0,7 -0,4 -0,4 -0,0 NA 0,3 -0,2 -0,2 0,2	1,5 NA NA NA -0,1 1,2 0,3 -0,4 NA 1,0
eligros No estructurales:	EMA TIPO DE EDIFICIO Sabemos untaje Basico regularidad Vertical Grave, VL 1 regularidad Vertical Moderada, VL1 regularidad Vertical Moderada, VL1 regularidad de planta, PL1 rec-Codigo osterior-año de Referencia uelo Tipo A o B uelo Tipo E(-3 Pisos) uelo Tipo E(-3 Pisos) untaje Minimo SuN INAL PUNTAJE NIVEL 1, SL1≥ SMIN Ilcance de Control xterior: Parcial ibiujo comentado: Parcial ibiujo comentado: ipo de fuente de Suelo: ipo de fuente peligro Geologico: ersona de Contacto	3,6 -1,2 -0,7 -1,1 1,6 0,1 0,2 0,3 1,1 Todos	3,2 -1,2 -0,7 -1,0 -1,0 1,9 0,3 0,2 -0,6 0,9	2,9 -1,2 -0,7 -1,0 -0,9 2,2 0,5 0,1 -0,9	S1 (MRF) 2,1 -1,0 -0,6 -0,8 -0,6 1,4 0,4 -0,2 -0,6 0,5	\$2 (BR) 2 -1,0 -0,6 -0,7 -0,6 1,4 -0,6 0,5 OTROS ¿Hay p evalua S12 Rial altos ac	\$3 (LM) 2,6 -1,1 -0,7 -0,9 -0,8 1,1 0,2 NA 0,6 RIESG Golpes since a case of dedyacent	\$4 (RC SW) 2 -1,0 -0,6 -0,7 -0,6 1,9 0,6 -0,1 -0,6 0,5 OS que pro etallada e ado poten de cortesi caida de r es Seologico:	(URMIN F) 1,7 -0,8 -0,5 -0,6 -0,2 NA 0,5 -0,4 -0,4 0,5	1,5 -0,9 -0,5 -0,6 -0,4 1,9 0,4 0,0 -0,5 0,3	C2 (SW) 2 -1,0 -0,6 -0,8 -0,7 2,1 0,5 0,0 -0,7 0,3 ACCIO Evaluac Si, No Evaluac Si, Si, Si, Is	C3 (URMI NF) 1,2 -0,7 -0,4 -0,5 -0,1 NA 0,3 -0,2 -0,3 0,3 0,3 N REQU ción de tipo de: el resuli si prese sión deta	PC1 (TV) 1,6 -1,0 -0,6 -0,7 -0,5 2,0 0,6 -0,3 NA 0,2 EERIDA tallada edificio ta do da antan o o	1,4 -0,9 -0,5 -0,6 -0,3 2,4 0,4 -0,1 -0,4 0,2 estructurales id	(FD) 1,7 -0,9 -0,5 -0,7 -0,5 2,1 0,5 -0,1 -0,5 0,3 tural record Feminary and editions of the control of the c	(RD) 1,7 -0,9 -0,5 -0,7 -0,5 2,1 0,5 -0,1 -0,6 0,3 querida: a u otro a corte	1 -0,7 -0,4 -0,4 -0,0 NA 0,3 -0,2 -0,2 0,2	1,5 NA NA -0,1 1,2 0,3 -0,4 NA 1,0
eyenda MRF= Momento resistente marco RC= Concreto Reforzado URM INF= Mamposteria de relleno no reforzada. BR= Marco arriostrado SW= Muro de Corte TU= Levantarse MH= Casas Manufacturadas FD= Diafragma Flexible	EMA TIPO DE EDIFICIO Sabemos untaje Basico regularidad Vertical Grave, VL 1 regularidad Vertical Moderada, VL1 regularidad de planta, PL1 re-Codigo osterior-año de Referencia uelo Tipo A o B uelo Tipo E(1-3 Pisos) uelo Tipo E(3-3 Pisos) uelo Tipo E(3-8 Pisos) untaje Minimo SMIN IINAL PUNTAJE NIVEL 1, SL12 SMIN Icance de Control exterior:	3,6 -1,2 -0,7 -1,1 1,6 0,1 0,2 0,3 1,1 Todos	3,2 -1,2 -0,7 -1,0 -1,0 1,9 0,3 0,2 -0,6 0,9	W2 2,9 -1,2 -0,7 -1,0 -0,9 2,2 0,5 0,1 -0,9 0,7	\$1 (MRF) -1,0 -0,6 -0,8 -0,6 1,4 -0,2 -0,6 0,5	\$2 (BR) 2 -1,0 -0,6 -0,7 -0,6 1,4 -0,6 0,5 OTROS ¿Hay p evalua S12 Rial altos ac	\$3 (LM) 2,6 -1,1 -0,7 -0,9 -0,8 1,1 0,1 0,2 NA 0,6 RIESG Golper ⇒linea cosso de c	\$4 (RC SW) 2 -1,0 -0,6 -0,7 -0,6 1,9 0,6 -0,1 -0,6 0,5 OS sique provetallada e ado poten de cortesi caida de res	S PUN S CURMIN F 1,7 -0,8 -0,5 -0,6 -0,2 -0,4 -0,4 -0,5 Curve Cu	1,5 -0,9 -0,5 -0,6 -0,4 1,9 0,4 0,0 -0,5 0,3	C2 (SW) 2 -1,0 -0,6 -0,8 -0,7 2,1 0,5 0,0 -0,7 0,3 ACCIO Si, Si, Si, Iof No, No,	C3 (URMI) NF) 1,2 -0,7 -0,4 -0,5 -0,1 NA 0,3 -0,2 -0,3 Q,3 N REQUISION REQUISION SI PRESENTATION OF SI PRES	PC1 (TV) 1,6 -1,0 -0,6 -0,7 -0,5 2,0 0,6 -0,3 NA 0,2 EERIDA tallada dedificio tado da untan o o o estruc	1,4 -0,9 -0,5 -0,6 -0,3 2,4 -0,1 -0,4 -0,2 estruct descono menos o tros pel estruct turales id	(FD) 1,7 -0,9 -0,5 -0,7 -0,5 2,1 0,5 -0,1 -0,5 0,3 tural recoce Femaluse el deligiros. ural recoce ientificado uctural e	(RD) 1,7 -0,9 -0,5 -0,7 -0,5 2,1 0,5 -0,1 -0,6 0,3 querida a u otro e corte mendados que de s que per se qu	1	1,5 NA NA NA NA -0,11 1,2 0,3 -0,4 NA 1,0
eyenda MRF= Momento resistente marco RC= Concreto Reforzado URM INF= Mamposteria de relleno no reforzada. BR= Marco arriostrado SW= Muro de Corte TU= Levantarse MH= Casas Manufacturadas FD= Diafragma Flexible	EMA TIPO DE EDIFICIO Sabemos untaje Basico regularidad Vertical Grave, VL 1 regularidad Vertical Moderada, VL1 recularidad de planta, PL1 re-Codigo osterior-año de Referencia uelo Tipo E (3-3 Pisos) uelo Tipo E (3-3 Pisos) uelo Tipo E(3-3 Pisos) untaje Minimo SMIN INAL PUNTAJE NIVEL 1, SL1≥ SMIN Icance de Control xterior:	3,6 -1,2 -0,7 -1,1 1,6 0,1 0,2 0,3 1,1 Todos	3,2 -1,2 -0,7 -1,0 -1,0 1,9 0,3 0,2 -0,6 0,9	W2 2,9 -1,2 -0,7 -1,0 -0,9 2,2 0,5 0,1 -0,9 0,7 □Aerc	\$1 (MRF) 2,1 -1,0 -0,6 -0,8 -0,6 1,4 -0,4 -0,2 -0,6 0,5	\$2 (BR) 2 -1,0 -0,6 -0,7 -0,6 1,4 -0,6 0,5 OTROS ¿Hay p evalua S12 Rial altos ac	\$3 (LM) 2,6 -1,1 -0,7 -0,9 -0,8 1,1 0,1 0,2 NA 0,6 RIESG Golper ⇒linea costo de c	\$4 (RC SW) 2 -1,0 -0,6 -0,7 -0,6 1,9 0,6 -0,1 -0,6 0,5 OS sique provetallada e ado poten de cortesi caida de res	S PUN S CURMIN F 1,7 -0,8 -0,5 -0,6 -0,2 -0,4 -0,4 -0,5 Curve Cu	1,5 -0,9 -0,5 -0,6 -0,4 1,9 0,4 0,0 -0,5 0,3	C2 (SW) 2 -1,0 -0,6 -0,8 -0,7 2,1 0,5 0,0	C3 (URMI NF) 1,2 -0,7 -0,4 -0,5 -0,1 NA 0,3 -0,2 -0,3 O,3 N REQUICIÓN de titpo de ti	PC1 (TV) 1,6 -1,0 -0,6 -0,7 -0,5 2,0 0,6 -0,3 NA 0,2 IERIDA tallada ad edificio	1,4 -0,9 -0,5 -0,6 -0,3 2,4 0,4 -0,1 -0,4 0,2 estructurales id desconder tros pel	(FD) 1,7 -0,9 -0,5 -0,7 -0,5 2,1 0,5 -0,1 -0,5 0,3 tural record remarks and tural record remarks are detailed to detailed the detailed to detailed the detailed to detailed the detailed to detailed the detailed	(RD) 1,7 -0,9 -0,5 -0,7 -0,5 2,1 0,5 -0,1 -0,6 0,3 querida a u otro e corte mendai	1 -0,7 -0,4 -0,4 0,0 NA 0,3 -0,2 -0,2 0,2 2 dificio.	1,5 NA NA NA -0,1 1,0 1,0 1,0 1,0 1,0 1,0 1,0 1,0 1,0
BR= Marco arriostrado SW= Muro de Corte TU= Levantarse MH= Casas Manufacturadas FD= Diafragma Flexible	EMA TIPO DE EDIFICIO No Sabemos untaje Basico regularidad Vertical Grave, VL 1 regularidad Vertical Moderada, VL1 regularidad de planta, PL1 re-Codigo osterior-año de Referencia uelo Tipo E(3-3 Pisos) uelo Tipo E(3-3 Pisos) uelo Tipo E(3-3 Pisos) untaje Minimo SMN INAL PUNTAJE NIVEL 1, SL1≥ SMIN Icance de Control kterior: □ Parcial niterior: □ Ninguna ibujo comentado: □ Si ipo de fuente de Suelo: ipo de fuente peligro Geologico: ersona de Contacto VSPECCIÓN DEL NIVEL 2 REALIZADA SI, Final puntuación Nivel 2, St2 eligros No estructurales: □ Yes	3,6 -1,2 -0,7 -1,1 1,6 0,1 0,2 0,3 1,1	3,2 -1,2 -0,7 -1,0 1,9 0,3 0,2 -0,6 0,9	V2 2,9 -1,2 -0,7 -1,0 -0,9 0,5 0,1 -0,9 0,7 □ No	\$1 (MRF) 2,1 -1,0 -0,6 -0,8 -0,6 1,4 -0,4 -0,2 -0,6 0,5	\$2 (BR) 2 -1,0 -0,6 -0,7 -0,6 1,4 0,6 -0,4 -0,6 0,5 OTROS ¿Hay p evalua SL2 Rical altos ac altos	S3 (LM) 2,6 -1,1 -0,7 -0,9 -0,8 1,1 0,2 NA 0,6 RIESG Golpes ⇒linea of dedyacenti	\$4 (RC SW) 2 -1,0 -0,6 -0,7 -0,6 1,9 0,6 -0,1 -0,6 0,5 OS que proetallada e ado poten de cortesi caida de researce cortesi caida de researce considerado c	14 PUN 55 (URMIN F) 1,7 -0,8 -0,5 -0,6 -0,2 NA 0,5 -0,4 -0,5 -0,4 cial(a m se conomas editions of the structural.	1,5 -0,9 -0,5 -0,6 -0,4 1,9 0,4 0,0 -0,5 0,3 ural? nenos ce)	C2 (SW) 2 -1,0 -0,6 -0,8 -0,7 2,1 0,5 0,0 -0,7 0,3 ACCIO Evalua Si, Si, Si, No, No, No, No, No, No, No, No, No, No	C3 (URMI) NF) 1,2 -0,7 -0,4 -0,5 -0,1 NA 0,3 -0,2 -0,3 0,3 N REQU ción de tipo de: el resuli si prese sión detas p eligros y peligros y peligros, no hay p	PC1 (TV) 1,6 -1,0 -0,6 -0,7 -0,5 2,0 0,6 -0,3 NA 0,2 EERIDA tallada no no estruce peligros una eveligros	1,4 -0,9 -0,5 -0,6 -0,3 2,4 -0,1 -0,4 -0,2 estruct desconder menos se tros pel	(FD) 1,7 -0,9 -0,5 -0,7 -0,5 2,1 -0,5 -0,1 -0,5 0,3 tural record femiliance of detailal accturales	(RD) 1,7 -0,9 -0,5 -0,7 -0,5 2,1 0,5 -0,1 -0,6 0,3 querida a u otro e corte mendad sos que de s que p ada no e e s identifi	1 -0.7 -0.4 -0.4 0.0 NA 0.3 -0.2 -0.2 0.2 0.2 da?	1,5 NA NA NA -0,1 1,0 1,0 1,0 1,0 1,0 1,0 1,0 1,0 1,0
MH= Casas Manufacturadas FD= Diafragma Flexible	EMA TIPO DE EDIFICIO No Sabemos untaje Basico regularidad Vertical Grave, VL 1 regularidad Vertical Moderada, VL1 regularidad Vertical Moderada, VL1 regularidad de planta, PL1 re-Codigo osterior-año de Referencia uelo Tipo A o B uelo Tipo E(-3 Pisos) uelo Tipo E(-3 Pisos) untaje Minimo SMN INAL PUNTAJE NIVEL 1, SL1≥ SMIN Icance de Control txterior:	3,6 -1,2 -0,7 -1,1 -1,1 1,6 0,1 0,2 0,3 1,1	3,2 -1,2 -0,7 -1,0 -1,0 1,9 0,3 0,2 -0,6 0,9	W2 2,9 -1,2 -0,7 -1,0 -0,9 0,7 Aerical No No No No No No No N	\$1 (MRF) 2,1 -1,0 -0,6 -0,8 -0,6 1,4 -0,2 -0,6 0,5	S2 (BR) 2	S3 (LM) 2,6 -1,1 -0,7 -0,9 -0,8 1,1 0,2 NA 0,6 RIESG Golpes >linea of ded dyacenti cieños sigos de disesgos Consister sister	S4 (RC SW) 2 -1,0 -0,6 -0,7 -0,6 1,9 0,6 -0,1 -0,6 0,5 OS que propertion of the properties of the pr	14 PUN 55 (URMIN F) 1,7 -0,8 -0,5 -0,6 -0,2 NA 0,5 -0,4 -0,5 -0,4 cial(a m se conomas editions of the structural.	1,5 -0,9 -0,5 -0,6 -0,4 1,9 0,4 0,0 -0,5 0,3	C2 (SW) 2 -1,0 -0,6 -0,8 -0,7 2,1 0,5 0,0 -0,7 0,3 ACCIO Evalua Si, Si, Si, Si, one Si Si, one Si Si No, No, Stimato	C3 (URMI) NF) 1,2 -0,7 -0,4 -0,5 -0,1 NA 0,3 -0,2 -0,3 N REQU ción de tipo de el result si prese sión deta cel result no hay p	PC1 (TV) 1,6 -1,0 -0,6 -0,7 -0,5 2,0 0,6 -0,3 NA 0,2 ERIDA ERIDA Bellificio and da ano no estruc pelligros pelligros sos fiabli	1,4 -0,9 -0,5 -0,6 -0,3 2,4 -0,1 -0,4 -0,2 estructi turales id desconce menos setructurales id un o estructurales id no estructurales id un o estructural	(FD) 1,7 -0,9 -0,5 -0,7 -0,5 2,1 -0,5 -0,1 -0,5 0,3 core Femicautural record femicada detaila deturales detaila deturales detaila deturales detu	(RD) 1,7 -0,9 -0,5 -0,7 -0,5 2,1 0,5 -0,1 -0,6 0,3 queridi: a u otro e corte mendad de se corte is identifi No lo s	1 -0.7 -0.4 -0.4 -0.4 -0.3 -0.2 -0.2 -0.2 -0.2 -0.2 da?	1,5 NA NA NA -0,1 1,2 0,3 -0,4 NA 1,0
IM- Motal Ligaro PD- Diafragma rigido	EMA TIPO DE EDIFICIO Sabemos untaje Basico regularidad Vertical Grave, VL 1 regularidad Vertical Moderada, VL1 regularidad Vertical Moderada, VL1 regularidad de planta, PL1 rec-Codigo osterior-año de Referencia uelo Tipo A o B uelo Tipo E(-3 Pisos) uelo Tipo E(-3 Pisos) untaje Minimo SwN INAL PUNTAJE NIVEL 1, SL1≥ SMIN Icance de Control xterior: Parcial ibujo comentado: Si ibujo de fuente de Suelo: ipo de fuente de Suelo: ipo de fuente peligro Geologico: ersona de Contacto NSPECCIÓN DEL NIVEL 2 REALIZADA : SI, Final puntuación Nivel 2, St2 eligros No estructurales: Yes Cuando la informació eyenda MRF= Momento	3,6 -1,2 -0,7 -1,1 -1,1 -1,1 0,2 0,3 1,1 Todos Signor	3,2 -1,2 -0,7 -1,0 -1,0 0,3 0,2 -0,6 0,9	W2 2,9 -1,2 -0,7 -1,0 -0,9 0,7 Aerical No No No No No No No N	\$1 (MRF) 2,1 -1,0 -0,6 -0,8 -0,6 1,4 -0,2 -0,6 0,5	S2 (BR) 2	S3 (LM) 2,6 -1,1 -0,7 -0,9 -0,8 1,1 0,1 0,2 NA 0,6 RIESG Golpes Jinea ca essgo de dyacent iessgos G iños sig sister	S4 (RC SW) 2 -1,0 -0,6 -0,7 -0,6 1,9 0,6 -0,1 -0,6 0,5 OS que pro etallada e ado poten de cortesi caida de r es Geologico: mificativo ma estruci nta lo siguo orzado	14 PUN 55 (URMIN F) 1,7 -0,8 -0,5 -0,6 -0,2 NA 0,5 -0,4 -0,5 -0,4 cial(a m se conomas editions of the structural.	1,5 -0,9 -0,5 -0,6 1,9 0,4 0,0 -0,5 0,3 una ural? nenos ce)	C2 (SW) 2 -1,0 -0,6 -0,8 -0,7 2,1 0,5 0,0 -0,7 0,3 ACCIO Evaluac Si, S	C3 (URMI) 1,2 -0,7 -0,4 -0,5 -0,1 NA 0,3 -0,2 -0,3 O,3 N REQU ción de tipo de tipo de tipo de cei resul· si prese sión deta ceis resul· sión, sinco no hay y lo o dat Mampo	PC1 (TV) 1,6 -1,0 -0,6 -0,7 -0,5 2,0 0,6 -0,3 NA 0,2 ERIDA ERIDA Bellificio and da ano no estruc pelligros pelligros sos fiabli	1,4 -0,9 -0,5 -0,6 -0,3 2,4 -0,1 -0,4 -0,2 estructi turales id desconce menos setructurales id un o estructurales id no estructurales id un o estructural	(FD) 1,7 -0,9 -0,5 -0,7 -0,5 2,1 -0,5 -0,1 -0,5 0,3 core Femicautural record femicada detaila deturales detaila deturales detaila deturales detu	(RD) 1,7 -0,9 -0,5 -0,7 -0,5 2,1 0,5 -0,1 -0,6 0,3 queridi: a u otro e corte mendad de se corte is identifi No lo s	1 -0.7 -0.4 -0.4 -0.4 -0.3 -0.2 -0.2 -0.2 -0.2 -0.2 da?	1,5 NA NA NA -0,1 1,2 0,3 -0,4 NA 1,0
LM= Metal Ligero RD= Diafragma rigido	EMA TIPO DE EDIFICIO Sabemos untaje Basico regularidad Vertical Grave, VL 1 regularidad Vertical Moderada, VL1 regularidad de planta, PL1 rec-Codigo osterior-año de Referencia uelo Tipo A o B uelo Tipo E(-3 Pisos) untaje Minimo SuiN INAL PUNTAJE NIVEL 1, SL1≥ SMIN Ilcance de Control xterior: Parcial nterior: Ninguna ilipo de fuente de Suelo: ipo de fuente de Suelo: ipo de fuente Peligro Geologico: ersona de Contacto NSPECCIÓN DEL NIVEL 2 REALIZADA : Si, Final puntuación Nivel 2, St2 eligros No estructurales: Yes Cuando la informació eyenda MRF= Momento o BR= Marco arrice RESIDENTE MRESIDENTE MRESIDENTE	3,6 -1,2 -0,7 -1,1 -1,1 -1,1 0,2 0,3 1,1 Todos Visil No	3,2 -1,2 -0,7 -1,0 -1,0 0,3 0,2 -0,6 0,9 ble	W2 2,9 -1,2 -0,7 -1,0 -0,9 0,7 Aerical No No No No No No No N	\$1 (MRF) -1,0 -0,6 -0,8 -0,6 -0,4 -0,2 -0,6 -0,5	S2 (BR) 2 -1,0 -0,6 -0,7 -0,6 -0,4 -0,6 -0,5 OTROS ¿Hay p evalua SI2 Rica da al caracteristics and caracteristics are caracteristics.	S3 (LM) 2,6 -1,1 -0,7 -0,9 -0,8 1,1 0,1 0,2 NA 0,6 RIESG eligros ción de Golpee sispa de estya cent iesgos C iños sig sister	S4 (RC SW) 2 -1,0 -0,6 -0,7 -0,6 1,9 0,6 -0,1 -0,6 0,5 OS eque provetallada e ado poten de cortesi caida de reseado poten de cortesi caida d	14 PUN 55 (URMIN F) 1,7 -0,8 -0,5 -0,6 -0,2 NA 0,5 -0,4 -0,5 -0,4 cial(a m se conomas editions of the structural.	1,5 -0,9 -0,5 -0,6 1,9 0,4 0,0 -0,5 0,3 una ural? nenos ce)	C2 (SW) 2 -1,0 -0,6 -0,8 -0,7 2,1 0,5 0,0 -0,7 0,3 ACCIO Evaluac Si, S	C3 (URMI) 1,2 -0,7 -0,4 -0,5 -0,1 NA 0,3 -0,2 -0,3 O,3 N REQU ción de tipo de tipo de tipo de cei resul· si prese sión deta ceis resul· sión, sinco no hay y lo o dat Mampo	PC1 (TV) 1,6 -1,0 -0,6 -0,7 -0,5 2,0 0,6 -0,3 NA 0,2 ERIDA ERIDA Bellificio and da ano no estruc pelligros pelligros sos fiabli	1,4 -0,9 -0,5 -0,6 -0,3 2,4 -0,1 -0,4 -0,2 estructi turales id desconce menos setructurales id un o estructurales id no estructurales id un o estructural	(FD) 1,7 -0,9 -0,5 -0,7 -0,5 2,1 -0,5 -0,1 -0,5 0,3 core Femicautural record femicada detaila deturales detaila deturales detaila deturales detu	(RD) 1,7 -0,9 -0,5 -0,7 -0,5 2,1 0,5 -0,1 -0,6 0,3 queridi: a u otro e corte mendad de se corte is identifi No lo s	1 -0.7 -0.4 -0.4 -0.4 -0.3 -0.2 -0.2 -0.2 -0.2 -0.2 da?	1,5 NA NA NA -0,1 1,2 0,3 -0,4 NA 1,0

Nota: Muestra este formulario el nivel 1 de comprobación del índice de vulnerabilidad para una zona de alta sismicidad. Adaptado de "Rapid visual screening of buildings for potential seismic hazards: a handbook", por FEMA 154, 2015 (Alvarez Sanchez & Pulgar Santacruz, 2019).

Nivel 2: Sismicidad Alta

Tabla 18: Formulario de encuesta nivel 2.

	pida visual de l Formulario de		e posibles riesgos sism n de Datos	icos.					Δltas	Nivel 2 ismicida	(Opciona
				geniería civil o estructu	rales, un arquitecto o un estudiante graduado	con experie	ncia en la evalua	ición y el disc			•
ombre edific	io:		Pu	ntaje Final Nivel 1	:: Su =				(no se cor	nsidera Smi	N)
nspector:					: Vertical Irregularity, Vu =		Irregularida	d planta,	•		
echa/Hora:			PUNTAL	E BASE AJUSTADO	S'=(S11-V11-P11)=						
MODIFICADO	RES ESTRUCT	URAL PARA	AGREGAR A LA PUNT	UACIÓN DE REFE	ERENCIA AJUSTADA						
ema					un circulo el "Si", sino tachar el mod	lificador)				Si	Subtotal
rregularidad	Pendiente				e grado de piso desde el lado del ed					-1,2	4
ertical, V12	en sitio Piso				o de grado de piso desde el lado de s visible en el espacio de rastreo	edificio	al otro.			-0,3 -0,6	\dashv
	debil				una apertura de garaje sin un marco	de acero	y de mome	nto hay m	enos de	-0,6	1
	Y/o blando	20 cm de par	red en la misma linea(p	ara multiples piso	os ocupados anteriormente ,utilizar	40 cm mir	nimo de pare	ed).		-1,2	
	(maximo			ay aberturas en el	suelo de los pisos(como para el est	acionami	ento) en por	lo menos	50% de la		
	encierre en un circulo)	longitud del		na lateral en cuald	uier piso es menor que 50% del piso	sunerior	o la altura d	e cualqui	er.	-1,2	-
	un circuloy		de dos veces la altura d		aler piso es menor que som del piso	superior	o la altura u	e cualqui		-0,9	
			_		uier piso es entre el 50% y el 75% d	e los del p	oiso superio	o la altur	а		1
	0.11		r piso es entre 1,3 y 2,0				to be stoods	al decele		-0,5	4
	Caidas		rerticales del sistema la gma a voladizo.	nerai en un piso si	uperior están por fuera de los del pi	so de aba	jo naciendo	er despia	amiento	-1,0	
				ateral en plantas su	uperiores estan por dentro de los qu	ie estan e	n pisos infe	riores.		-0,5]
					ue es mayor que la longitud de los e					-0,3	4
	Columna/Pila				nas (o pilares) a lo largo del eje de la la relacion, altura/ancho nominal a e		en el sisten	na lateral		.0.5	
	Corta				la relacion altura/ancho nominal a e o ancho de pilar) es menos de la mit		icho de la en	juta		-0,5	1
			es adyacentes o suelos					,		-0,5	
	Dividido	Hay un nivel	de división en uno de	los niveles de piso	o o en el techo					-0,5	1
	Otras	_			obviamente afecta el comportamie					-1,0	V12 =
			-		que puede afectar al comportamien		o del edificio).		-0,5	(Cap at -1
regularidad anta, Pız			frente abierto W1A en		en cualquiera o ambas direcciones.					-0,7	
			•		s del sistema lateral que no son orto	gonales	entre sí.			-0,4	1
	_				superen el 25% de la dimensión glo					-0,4	
					nchura de más de 50% del total al an		afragma en e	ese nivel.		-0,2 -0,4	Des =
					alinean con las columnas en el plan iamente afecta al comportamiento s		los edificio	s.		-0,4	PL2 = (Cap at -1
kceso					a lado del edificio en cada dirección					0,3	(and an
olpeando			estructura adyacente	-	no se alinean verticalmente dentro					-1,0	
		1% de la altu uctura adyace	ıra de la mas corta del		es de 2 o más pisos más alto que el o e encuentra al final del bloque.	otro.	golpeteo modificado	ror do .1 °		-1,0 -0,5	-
dificio S2			miento es visible	Li edificio s	e encuentia ai final dei bioque.		illoullicado	es de -1		-1,0	1
dificio C1			iga en el marco de mon							-0,4]
dificio				vn from drawings t	that do not rely on cross-grain bendi	ng (Do no	ot combine				
C1/RM1			etrofit modifier) strechos, alturas llenas	de las naredes int	teriores(en lugar de un espacio inter	ior con a	gunas nared	es interio	res como	0,3	┨
C1/RM1 Bldg	en un almace		streeties, artaras richas	de las paredes lite	control estate and especial meet	101 0011 0	garras parca			0,3	
RM		aredes estan	•							-0,4	
IH			sísmico suplementario gral es visible o conoci							1,2	M=
			VL2 + PL2 + M) ≥ SM	-	ijos				(Traslada	do al forn	nulario de
					niento sísmico del edificio:					No	
caso afirmat	ivo, describir la o	condición en el	cuadro de comentarios a	continuación e indic	car en el formulario de nivel 1 que la eve	aluación d	etallada se re	quiere ano	tar independ	liente de los	edificios
ELIGROS NO	ESTRUCTURA	ALES OBSERV	/ABLES								
bicación	Declaración (/							Si	No	Com	nentario
terior				arriostrado o chin	nenea de mampostería no reforzada	no arrios	strado		-		
			o enchapado pesado. e las puertas de salida (pasarelas de pea	tones que parece apoyado de mane	ra adecua	ada.				
	Hay un acceso	rio de mampo	ostería no reforzada so	bre las puertas de	salida o zonas peatonales.						
			o que indica los materi								
			ente más alto con una p rior no estructural obse		parapeto URM no arriostrado o chir	menea			-		
terior			hueco particiones en c		o salida pasillo.						
	Otros peligro	s no estructur	rales interiores que ca	en observados.							
endimiento	_				aslado al Nivel 1 del formulario conc						
					tiva para la seguridad de la vida del i						
					ativa para la seguridad de la vida de de la vida del ocupante- Detallado r					valuación r	necesaria.
mentarios:			maza de pengro estrac	and to go				quiere e	diducion		

Nota: El formulario ilustra el nivel 2 de comprobación del índice de vulnerabilidad (más detallado, usado si S<2) para una zona de sismicidad alta. Adaptado de "Rapid visual screening of buildings for potential seismic hazards: a handbook", por FEMA 154, 2015 (Alvarez Sanchez & Pulgar Santacruz, 2019)

Nivel 1: Sismicidad moderadamente alta

Tabla 19: Formulario encuesta nivel 1 (zona de sismicidad moderadamente alta)

CART	TILLA DI	E SISIV	IICIDA	D MO	DERA	DAME	NTE A	LTA										
	irecció																	
U	lso:																	
L	atitud:									Longi	tud:							
V.	erificad	dores	:							Fecha	a:							
·	lúmero	de pi	505:							Año d	le con	struce	ción:					
I –	rea:									_	ódigo							
)cupaci	ón:		Asam				ercial			cio de		genci	as		Refugi		
				Indus Utilid			Oficia	_			io: Es Iencia		sidado			Gobie	rno	
	ipo de s	uelo:		OLING	A		В	CEII	С	Nesiu	D	_	E		F		No se	sabe
				Roca	4	Ro		Su	elo	Suc	elo	Sue	elo	Su	elo	Sin	o se sa	
				коса	dura	KO	са	dei	nso	rígi	ido	SUE	ave	ро	bre	asur	nir sue	lo D
1	eligros	_	gicos			in: Si/l	_											
1	dyacen rregular			Golpe		cal (tip				(mate	eriale	s) de o	constr	uccio	nes ad	yacent	es más	altas
	regulai	1080	=5.			a (tipo		veriua	uj									
P	eligro d	le cai	das ex	terior		- (_	eneas	sinre	efuerz	0		Reve	stimie	nto pe	sado		
							Para	petos					•					
							Otro:											
°	OMENT	ARIOS	ic															
DIBUJO																		
Puntajes	iniciale	es, mo	difica	dores	y pun	taje fir	nal niv	rel 1, 5	lf			1						
Tipo de edificación		W1	W1A	W2	51	52	53	54	55	C1	C2	C3	PC1	PC2	RM1	RM2	URM	MH
Puntaje de inicio		4.1	3.7	3.2	2.3	2.2	2.9	2.2	2.0	1.7	2.1	1.4	1.8	1.5	1.8	1.8	1.2	2.2
Irregularidad vertical severa, VIf		-1.3	-1.3	-1.3	-1.1	-1.0	-1.2	-1.0	-0.9	-1.0	-1.1	-0.8	-1.0	-0.9	-1.0	-1.0	-0.8	NA
Irregularidad vertical moderada, VIf		-0.8	-0.8	-0.8	-0.7	-0.6	-0.8	-0.6	-0.6	-0.6	-0.6	-0.5	-0.6	-0.6	-0.6	-0.6	-0.5	NA
Plan irregularity, Plf		-1.3	-1.2	-1.1	-0.9	-0.8	-1.0	-0.8	-0.7	-0.7	-0.9	-0.6	-0.8	-0.7	-0.7	-0.7	-0.5	NA
Pre-código		-0.8	-0.9	-0.9	-0.5	-0.5	-0.7	-0.6	-0.2	-0.4	-0.7	-0.1	-0.4	-0.3	-0.5	-0.5	-0.1	-0.3
Post-benchmark Post-benchmark		1.5	1.9	2.3	1.4	1.4	1.0	1.9	NA	1.9	2.1	NA	2.1	2.4	2.1	2.1	NA	1.2
Tipo de suelo A o B		0.3	0.6	0.9	0.6	0.9	0.3	0.9	0.9	0.6	0.8	0.7	0.9	0.7	0.8	0.8	0.6	0.9
Tipo de suelo E (1-3 pisos)		0.0	-0.1	-0.3	-0.4	-0.5	0.0	-0.4	-0.5	-0.2	-0.2	-0.4	-0.5	-0.3	-0.4	-0.4	-0.3	-0.4
Tipo de suelo E (>3 pisos)		-0.5	-0.8	-	-0.7	-0.7	NA	-0.7	-0.6	-	-0.8	-0.4		-0.5	-0.6	-0.7	-0.3	NA
Puntaje mínimo, Smn		1.6	1.2	0.8	0.5	0.5	0.9	0.5	0.5	0.3	0.3	0.3	0.3	0.2	0.3	0.3	0.2	1.4
Puntaje final nivel 1, SIf>=5mn																		
Grado de verificación		Otros	pelig	ros														
exterior: Parcial Todos los lados A	éreo	_	1	_						luació	n estr	uctur	al det	allada	?			
Interior: no Visible E	ntero			eteo (r														
Dibujo hecho: si no			_	ro de c						inas n	nás ali	tas						
Fuente de tipo de suelo:			-	ro geo	-													
Fuente de peligro geológico:			Daño	signif	icant	edels	istem	ia estr	uctur	al actu	ual							
Persona de contacto:																		

Nota: Se ilustra en la figura el primer nivel de comprobación del índice de vulnerabilidad para una zona de sismicidad moderadamente alta. Adaptado de "Rapid visual screening of buildings for potential seismic hazards: a handbook", por FEMA 154, 2015 (Alvarez Sanchez & Pulgar Santacruz, 2019).

Nivel 1: Sismicidad moderadamente alta

Tabla 20: Formulario encuesta nivel 2 (zona con sismicidad moderadamente alta)

Puntaje final nivel 1:	:	SI1=	AD MODERADAMENTE ALTA		(No considerar Sm
Nivel 1 modificadore	es de irregularidad:	Irregularidad vertical, VI1=	Irregularidad en planta, Pl1=		
Puntaje base ajustad	lot	S'=(SI1-VI1-PI1)=	·		
Vota:	Si las afirmaciones son correct	as, encerrar en un círculo los modificad	ores de "Sí"	Sí	Subtotal
	Lugar inclinado	ficio al otro.			
	Lugar inclinado		o completo, de un lado del edificio al ot		
			n garage abierto sin marcos resistente:	a momentos hav	
		menos de 2.5m de muros en la misma		-1.3	
		Solo WA1 (Abierto en el frente): Hay ab	perturas para estacionamiento de más	de 50% de la -1.3	
	Piso débil (marcar el	longitud de la construcción.		-1.3	
	máximo)	La longitud de los sistemas laterales d	de cualquier piso es menor al 50% de ur	piso superior o la -1	
		altura de cualquier piso es mayor a 2 v			
		_	de cualquier piso está entre 50% y 75%	-0.5	
Irregularidad			está entre 1.3 y 2 veces la altura del pis		
vertical, VI2		Los elementos verticales de los sisten inferiores, causando voladizos.	nas laterales en un piso superior están	-1.0	
		*	nas laterales en un piso superior están	dentro de los	_
	Setback	pisos inferiores.	-0.5		
			s elementos laterales que son más grar	ides que la	
		longitud de los elementos.	-0.3		
		C1, C2, C3, PC1, PC2, RM1, RM2: Al mer	línea de		
	Columna corta	columnas tienen alturas menores que	piso.		
		C1, C2, C3, PC1, PC2, RM1, RM2: Hay m	-0.5		
	Niveles divididos	El diafragma de la construcción no est	-0.5		
	Otras irregularidades	-1.0			
	ou as megalanadaes	Hay otra irregularidad moderada obse	ervable.	-0.5	VI2=
	Irregularidad torsional: Los s	de las 2 -0.8			
	direcciones.		4		
lancarila de desa	Sistemas no paralelos: Hay la	-0.4			
Irregularidad en	Esquina entrante: Hay esquir	recciones0.4			
planta, PI2	Diafragmas abiertos: Hay una	-0.3	1		
	C1, C2 (out-of-plane offset): L	-0.4	7		
	Otras irregularidades: Hay ot	-0.8	P12=		
Redundancia	· · ·	os 3 columnas en cada dirección.		0.3	
	La construcción está				†
		Los pisos no están alineados verticalr	mente dentro de los 60cm.	-1.0	
	separada de una	-			╛
	construcción adyacente en				
Golpeteo	por lo menos 0.5% de la	Una construcción es más alta 2 o más	pisos que el otro.	-1.0	
	l' .				-
	altura de la construcción	La construcción está al final de los blo	nalles	-0.5	
	menos alta.		1	"	
Construcción S2	Arriostres visibles.			-1.0	7
Construcción C1	Placas planas sirven como vi	gas.		-0.5	1
URM	Muros en forma de cono está	-		-0.4	1
		ible entre la construcción y el suelo.		1.2	†
MH	princip are an accounted to a uniform CSR	asia article to construction y craucio.		112	
MH Patroalimentación	Refuerzo sismico visible.			1/	M=

Nota: Ilustra la tabla el segundo nivel de comprobación del índice de vulnerabilidad (detalle más amplio, usado si S<2) para una zona de sismicidad moderadamente alta. Adaptado de "Rapid visual screening of buildings for potential seismic hazards: a handbook", por FEMA 154, 2015 (Alvarez Sanchez & Pulgar Santacruz, 2019)

Adyacencia

Define la (FEMA P-154, 2015) al poco espacio entre edificaciones que puede provocar varios daños estructurales durante un sismo, debido al movimiento que se provoca en cada edificación y esta puede golpear contra la adyacente o puede presentarse el caso de caída de elementos u objetos.

En nuestro país se determina la separación por adyacencia o índice de separación entre edificaciones por medio de una ordenanza que emiten y establecen los GADs de cada cantón, para el caso del Cantón Quevedo esta separación se estipula de 10 cm.

La metodología FEMA clasifica de manera estándar el índice de separación en pulgadas, como se aprecia en la tabla 21.

Tabla 21: Separación mínima de edificaciones

Región sísmica	Separación mínima (plg)
Muy alta	2" por piso
Alta	1 1/2" por piso
Medianamente alta	1 " por piso
Moderadamente baja y baja	1/2" por piso

Fuente: (FEMA P-154, 2015)

Las Normas Ecuatorianas de Construcción (NEC – 2015) en su capítulo de Peligro Sísmico – Diseño Sismorresistente en su apartado número 5, en donde estipula las consideraciones para el prediseño y diseño conceptual, establece las siguientes fórmulas para determinar la separación entre estructuras adyacentes:

 $\Delta_{\rm E} \geq 0.25 \Delta_{Mup} + 0.005 H_{ev} - \Delta_{vn}$ Dónde: $\Delta_{\rm E}$ Separación $\Delta_{\rm Mup}$ Desplazamiento del último piso $H_{\rm ev}$ Altura de la estructura vecina $\Delta_{\rm vn}$ Separación previamente existente entre la estructura vecina y la nueva

Ilustración 20: Formula cuando existe una estructura colindante

Nota: Cuando ya exista una estructura colindante en la cual hay una separación previa con respecto al lindero del terreno, si las cotas de los diferentes entrepisos coinciden con las cotas de los entrepisos de la estructura a diseñarse.

```
\Delta_{\mathsf{E}} \geq 0.5 \Delta_{Mup} + 0.01 H_{ev} - \Delta_{vn}

Dónde:

\mathbf{H}_{ev} Altura de la estructura vecina

\Delta_{vn} Separación previamente existente entre la estructura vecina y la nueva
```

Ilustración 21: Formula cuando existe una estructura colindante con separación

Nota: Cuando ya exista una estructura colindante en la cual hay una separación previa con respecto al lindero del terreno, si las cotas de los entrepisos de la estructura vecina no coinciden con las cotas de los entrepisos de la estructura a diseñarse.

```
\Delta_{\mathsf{E}} \geq 0.25 \Delta_{Mup} + 0.005 H_{ev}

Dónde:

\Delta_{\mathsf{E}} Fuerzas laterales de diseño reducidas

\Delta_{Mup} Desplazamiento del último piso

H_{ev} Altura de la estructura vecina
```

Ilustración 22: Formula cuando existe una estructura colindante sin separación

Cuando ya exista una estructura colindante en la cual no existe una separación con respecto al lindero del terreno y si las cotas de los entrepisos de la estructura vecina coinciden con las cotas de la estructura por diseñarse.

```
\Delta_{\mathsf{E}} \geq 2 \times (0.25 \Delta_{Mup} + 0.005 H_{ev})

Dónde:

\Delta_{\mathsf{E}} Fuerzas laterales de diseño reducidas

\Delta_{Mup} Desplazamiento del último piso

H_{ev} Altura de la estructura vecina
```

Ilustración 23: Formula cuando existe una estructura colindante con cotas que no coinciden

Nota: Cuando ya exista una estructura colindante en la cual no existe una separación con respecto al lindero del terreno y si las cotas de los entrepisos de la estructura vecina no coinciden con las cotas de los entrepisos de la estructura por diseñarse.

```
\Delta_{\mathsf{E}} = 0.5 \Delta_{Mup}

Dónde:

\Delta_{\mathsf{E}} Fuerzas laterales de diseño reducidas

\Delta_{Mup} Desplazamiento del último piso
```

Ilustración 24: Formula para estructuras adosadas

Nota: Estructuras adosadas, cuando no se haya construido aún en el terreno colindante y la reglamentación urbana permita construir estructuras adosadas, en aquellos pisos en los cuales se requiera adosamiento.

Según las Normas Técnicas Complementarias para Diseño por Sismo de México establece toda edificación deberá separarse de sus linderos con los predios vecinos una distancia no menor de 50 mm, ni menor que el desplazamiento horizontal calculado para el nivel de que se trate, aumentado en 0.001, 0.003 ó 0.006 veces la altura de dicho nivel sobre el terreno, en las zonas I, II ó III, respectivamente. En este caso deben incluirse los desplazamientos debidos a la flexión de conjunto de la estructura y al giro de su base, en caso de que sean significativos.

En caso de que en un predio adyacente se encuentre una construcción que esté separada del lindero una distancia menor que la antes especificada, deberá dejarse en la nueva construcción una distancia tal que la separación entre las dos construcciones no sea menor de la suma de las requeridas para cada una, según esta sección. Sólo será admisible dejar la separación requerida para la construcción nueva, cuando se tomen precauciones que, a satisfacción de la Administración, garanticen evitar daños por el posible contacto entre las dos construcciones durante un sismo.

Si se emplea el método simplificado de análisis sísmico, la separación mencionada no será, en ningún nivel, menor de 50 mm, ni menor que la altura del nivel sobre el terreno multiplicada por 0.007, 0.009 ó 0.012, según que la edificación se halle en las zonas I, II ó III, respectivamente.

La separación entre cuerpos de un mismo edificio o entre edificios adyacentes será cuando menos igual a la suma de las que corresponden a cada uno, de acuerdo con los párrafos precedentes. Podrá dejarse una separación igual a la mitad de dicha suma si los dos cuerpos tienen la misma altura y estructuración y, además, las losas coinciden a la misma altura, en todos los niveles. En los planos arquitectónicos y en los estructurales se anotarán las separaciones que deben dejarse en los linderos y entre cuerpos de un mismo edificio.

Los espacios entre edificaciones colindantes y entre cuerpos de un mismo edificio deben quedar libres de todo material. Si se usan tapajuntas, éstas deben permitir los desplazamientos relativos, tanto en su plano como perpendicularmente a él.

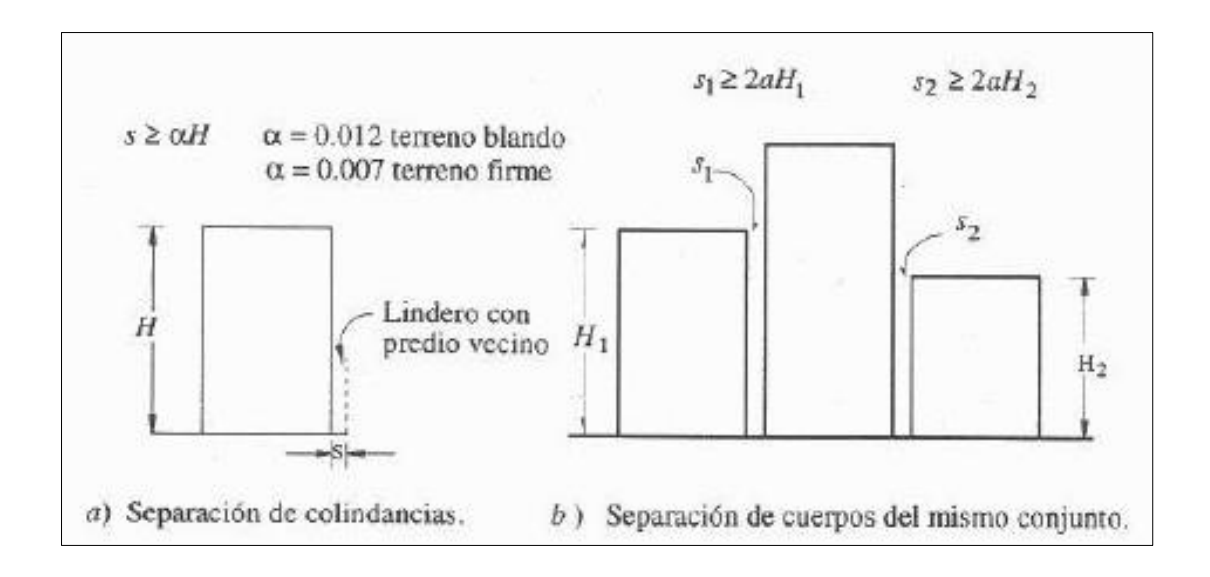


Ilustración 25: Separación de edificios colindantes

Fuente:(SOS, 2020)

La Norma Sismo Resistente Colombina, NSR-10, establece en el título A.6 que con el fin de evitar colisión nociva entre las edificaciones debe existir una separación que corresponde a la suma de los valores absolutos de los desplazamientos horizontales totales para cada edificación en la dirección perpendicular a la junta que las separa, a menos que se tomen medidas para que no se presente daño a la estructura al utilizar una distancia menor.

La reglamentación es aplicable en los siguientes casos:

- En municipios localizados en zonas de amenaza sísmica baja según lo establece el reglamento, no se requieren consideraciones de separación entre edificaciones vecinas.
- 2. Solo aplica para la obtención de licencias de construcción de edificaciones nuevas que se soliciten por primera vez.
- No se aplica para el caso de edificaciones que sean objeto de trámite de reconocimiento.

- 4. Para el caso de rehabilitaciones sísmicas existentes, aplican los requisitos especiales que se indican en el numeral A.10.7 de la NSR-10.
- 5. Los requisitos del reglamento pueden ser variados por la administración municipal o distrital, siempre y cuando los requisitos de la separación sísmica que resulten de la aplicación de la reglamentación municipal o distrital no sean menores que los establecidos en el reglamento.

En el sismo de Popayán en 1983 muchos de los edificios sufrieron daños por diferentes causas incluida esta, por lo cual en Colombia empezó a exigirse la dilatación sísmica desde el año 1984, desde entonces las normas sísmicas exigen seguir con la separación entre estructuras. El título "A" de la NSR-10 describe aspectos y parámetros que se deben considerar en los casos especificados anteriormente para cada una de las estructuras:

TIPO DE CEMENTO PARA MAMPOSTERÍA	N	s	IVI
Resistencia a la compresión, Mpa			
7 días	3,5	9,0	12,5
28 días	6,2	14,5	20,0
Contenido de aire del mortero			
% mínimo	8	8	8
% máximo	21	19	19
Retención de agua, % mínimo	70	70	70

Ilustración 26: Coeficientes en función del tipo de cemento para mampostería.

Para obtener la separación sísmica en pisos diferentes a la cubierta, se aplicará el coeficiente indicado en la tabla multiplicando por la altura sobre el terreno del piso en particular.

Cuando el terreno en la colindancia sea inclinado, en el sentido del parámetro, o haya diferentes alturas de piso o diferentes números de pisos aéreos en la colindancia, se tomará en la edificación nueva la altura de piso, o el número de pisos aéreos que conduzca a la mayor separación sísmica. Si no se considera una dilatación o separación sísmica entre edificaciones, generalmente se da el fenómeno denominado golpeteo, por no permitir que

cada una de las estructuras de concreto se deforme libremente y produciendo daños en ambas estructuras.

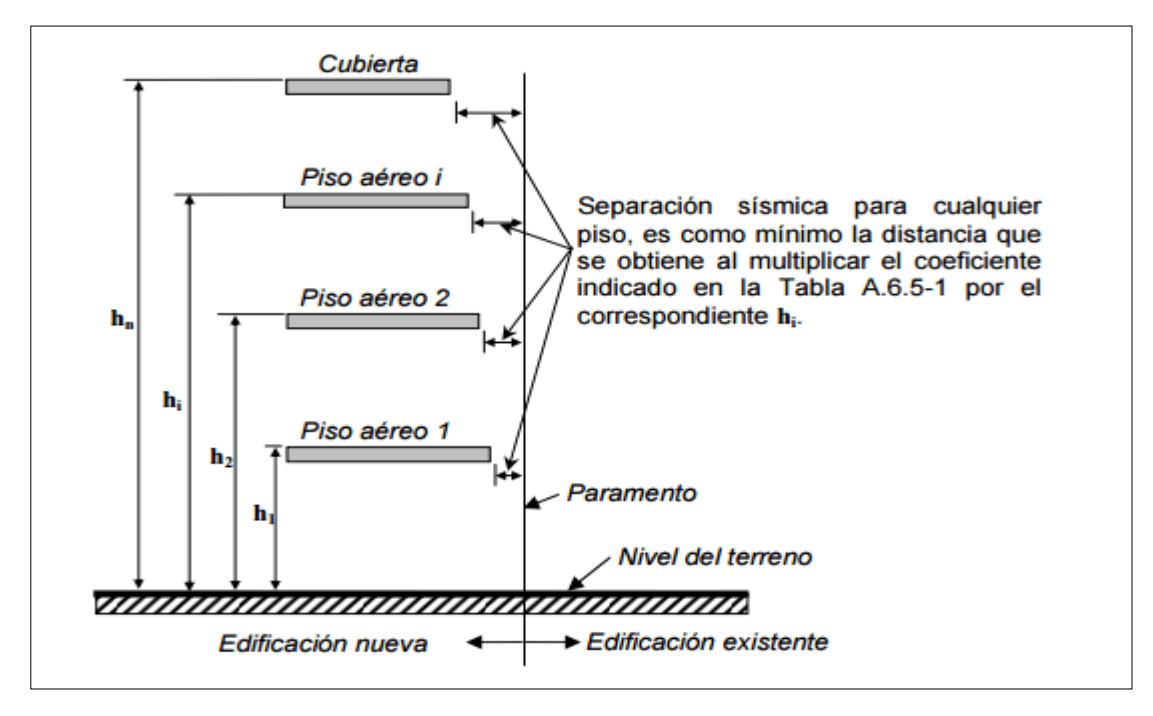


Ilustración 27: Separación sísmica para cualquier piso según la Norma Sismorresistente Colombiana.

El Reglamento Nacional de Construcción de Perú (RNC) menciona en su Capítulo III la separación entre edificaciones, la misma que en su artículo 16 estipula que toda edificación debe guardar una distancia con respecto a las edificaciones vecinas, por razones de seguridad sísmica, contra incendios o por condiciones de iluminación y ventilación naturales de los ambientes que la compongan.

En su artículo 17 estipula que la separación entre edificaciones por seguridad sísmica se establece en el cálculo estructural correspondiente, de acuerdo con las normas sismorresistentes.

Sin embargo, en su artículo 18 estable que, en los conjuntos residenciales conformados por varios edificios multifamiliares, la separación entre ellos, por razones de privacidad e iluminación natural, se determinará en función al uso de los ambientes que se encuentran frente a frente a frente según lo siguiente:

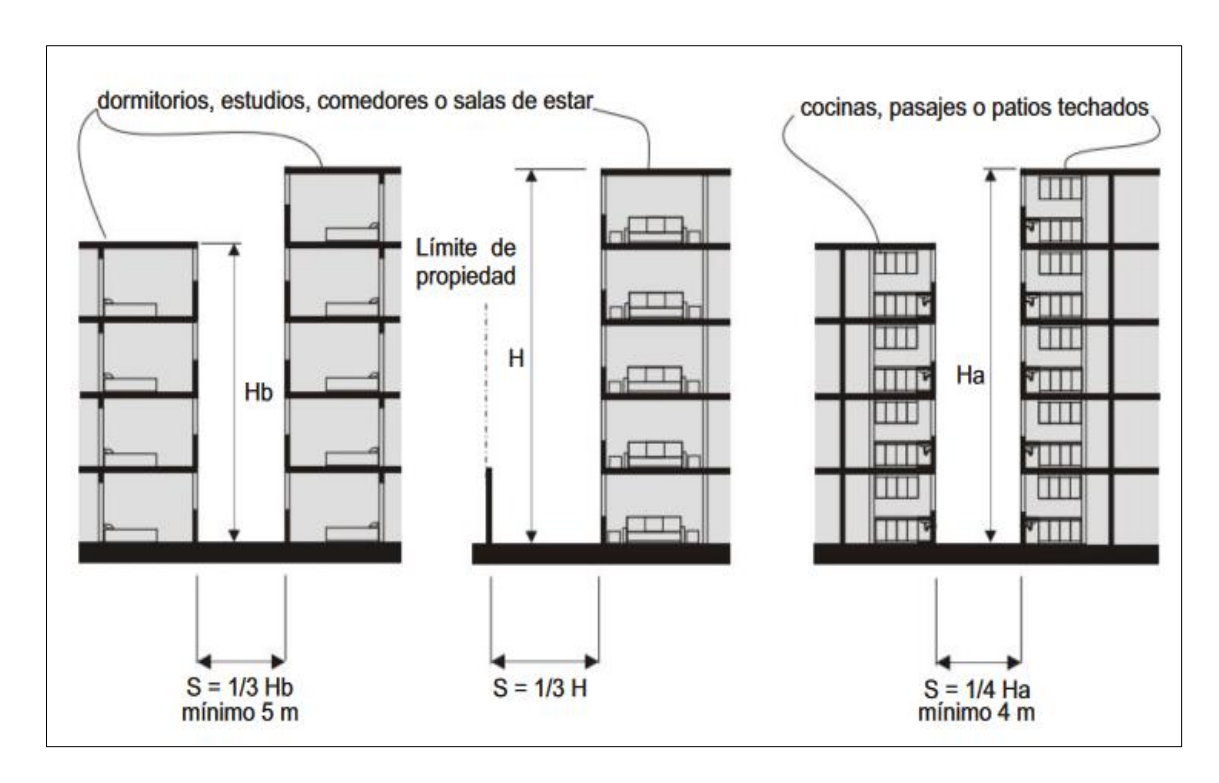


Ilustración 28: Separación entre edificaciones según el Reglamento Nacional de Construcción de

Fuente: (RNC,2020).

Golpeteo o Pounding

Factores por los que las estructuras llegan a sufrir fuertes daños ante un evento sísmico es la anomalía conocida como golpeteo o pounding en inglés. El golpeteo ocurre cuando dos estructuras que se encuentran muy cercanas se impactan una con otra en el evento de un sismo, su efecto puede llegar a ser catastrófico.

Significa problema entre edificios, cuando el golpeteo ocurre por:

- a. Estructuras construidas cercanas unas a otras o,
- b. La separación de los edificios se hace a través de una junta sísmica.

Juntas sísmicas

El espacio creado a propósito para separar los edificios se conoce como Junta sísmica (seismic joint, en inglés). Desde que se empezaron a utilizar se construían para la separación de dos o más edificaciones con irregularidades en planta. Por citar un ejemplo, un edificio en forma de L se puede separar en dos unidades, cada una con forma rectangular. Se conoce que el comportamiento de estos edificios durante un sismo no es bueno, ya que además del movimiento de traslación, poseen torsión alrededor del eje vertical.



Ilustración 29: Junta sísmica

Fuente: (Suárez, 2020)

CAPÍTULO III

Análisis de Vulnerabilidad Sísmica Aplicando el Método Mecánico no Lineal Estático (Pushover) Utilizando el Software ETABS

Para aplicar este procedimiento se debe tener conocimiento relevante de varios aspectos de la estructura, como lo son las características constructivas de los materiales que la componen, dimensiones de los elementos estructurales, distribución del acero de refuerzo en los elementos estructurales tales como vigas y columnas, acciones gravitacionales, patrones de cargas a ser considerados y la posible ubicación de puntos de formación de articulaciones o rótulas plásticas.

3.1 Sistema Porticado

Los sistemas porticados, son estructuras de concreto armado con la misma dosificación columnas -vigas peraltadas o chatas, unidas o conectadas en zonas de confinamiento donde forman ángulos de 90° en sus puntos y lados de conexión, es el sistema de los edificios porticados. Son estos sistemas los que soportan las cargas muertas, las ondas sísmicas por estar unidas como su nombre lo indica. El porticado tradicional consiste en el uso de columnas, losas y muros divisorios en ladrillo.

3.2 Viga, Columna y Losa

Las **vigas** son elementos estructurales que trabajan a flexión, cuya resistencia provoca esfuerzos de tracción y compresión. Cuando las vigas se ubican en el perímetro exterior de un forjado, es posible que también se adviertan tensiones por torsión.

Las **columnas** son aquellos elementos estructurales verticales que soportan fuerzas de compresión y flexión, son las encargadas de transmitir todas las cargas de la estructura a la cimentación; es decir, son uno de los elementos estructurales más importantes para el soporte de la estructura, por lo que su construcción requiere especial cuidado.

Una **losa tipo deck**, más conocida en el país y en el medio comercial como "**Novalosa**" (también conocida como placa colaborante), es aquella en que se utilizan chapas o láminas

de acero como encofrado colaborante capaces de soportar el hormigón vertido, la armadura metálica y las cargas de ejecución. Posteriormente las láminas de acero se combinan estructuralmente con el hormigón endurecido y actúan como una armadura a tracción en el forjado acabado, comportándose como un elemento estructural mixto hormigón-acero.

3.3 Código ACI 318-19

El código ACI 318 -19 presenta los requisitos para el diseño y la construcción de hormigón estructural que son necesarios para garantizar la salud y la seguridad públicas.

3.4 Código AISC 360-16

El código AISC 360 - 16 se basa en proporcionar fundamentos teóricos y prácticos necesarios para el diseño estructural y sismorresistente de edificaciones de acero estructural mediante la aplicación de la normativa internacional vigente (Norma ANSI/AISC 360).

3.5 Norma NEC-15

La Norma Ecuatoriana de la Construcción recoge una serie de normativas, de obligatorio cumplimiento a nivel nacional, por las cuales se establecen los requisitos mínimos de seguridad y calidad que deben cumplir las edificaciones a nivel nacional, en todas las etapas del proceso constructivo.

3.6 Espectro de Respuesta Sísmica

Un espectro de respuesta sísmica es un valor utilizado en los cálculos de ingeniería sísmica, que mide la reacción de una estructura ante la vibración del suelo que la soporta. El más habitual en cálculos de diseños sísmicos es el espectro elástico de respuesta, que relaciona la aceleración.

3.7 Análisis no Lineal Estático Pushover

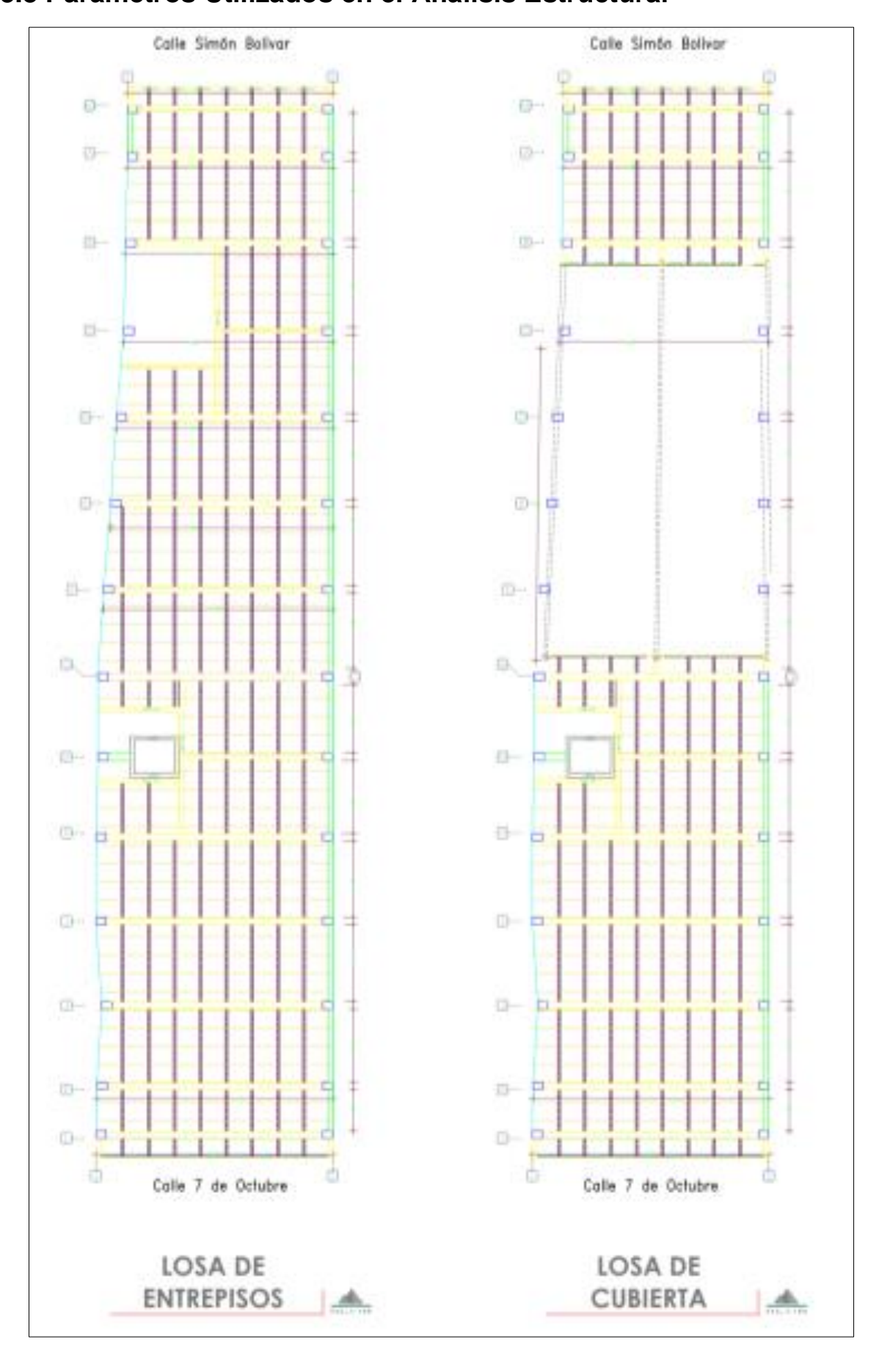
Es el método más aceptado pero tiene sus limitaciones, toma en cuenta el aporte del primer modo de vibración, se debe realizar el Pushover en los dos sentidos con los 2 primeros modos de vibración, estos deben ser traslacionales y deben cumplirse lo de las masas de participación, el análisis funciona para edificios irregulares si es que en el primer modo participa más del 70% de masa, caso contrario se deberá realizar otro tipo de análisis

dinámico no lineal el cual involucra el uso y aplicación de un acelerograma, finalmente la curva de capacidad de la estructura es solo para el análisis estático no lineal mas no para el análisis dinámico no lineal.

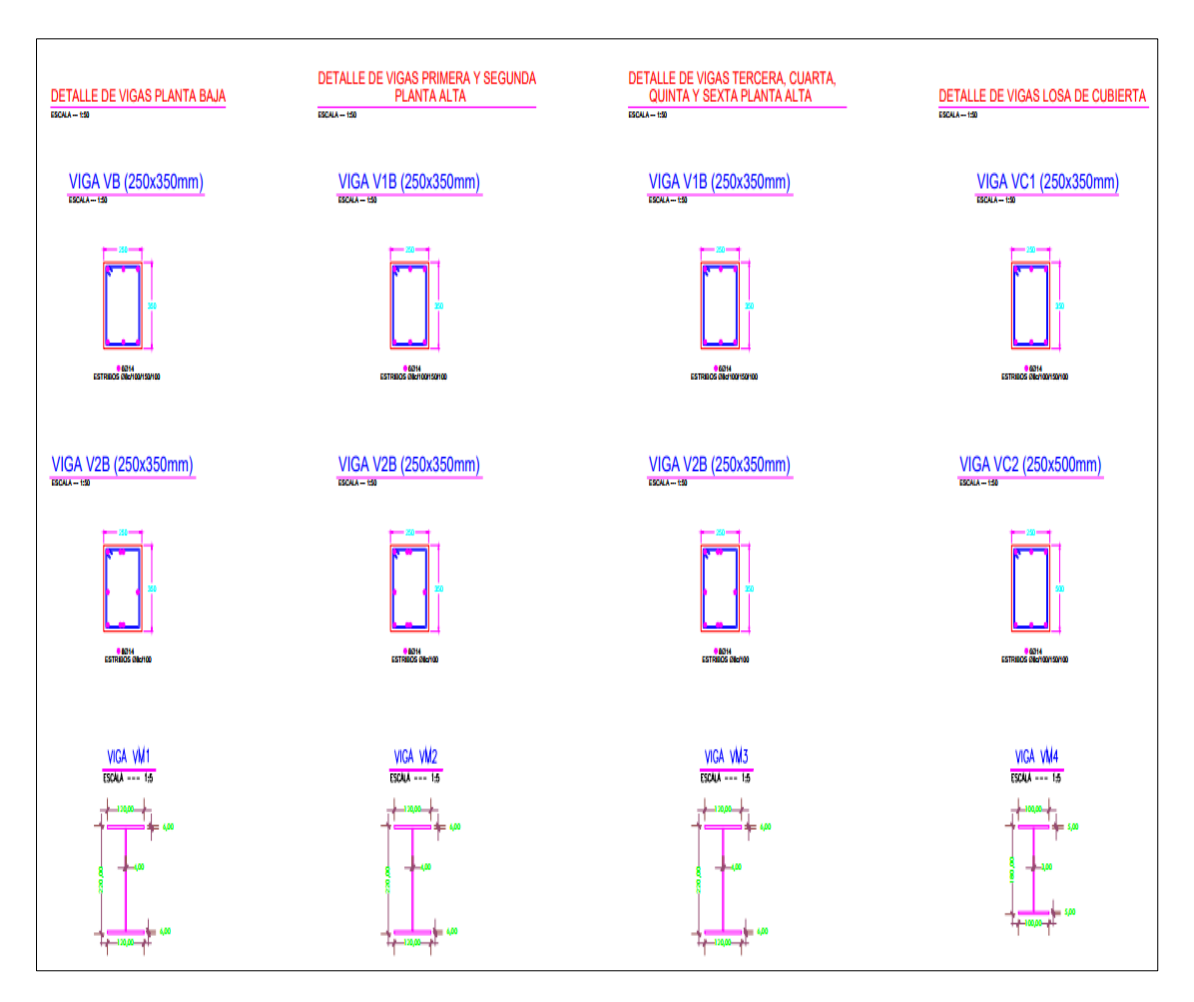
El Análisis no Lineal Estático "PushOver" tiene como finalidad:

- Evaluar la capacidad de la estructura ante cargas laterales, estas son aplicadas monotónicamente hasta llevar a la estructura a un estado de colapso.
- Determinar los niveles de daño que se pueden presentar en la estructura.
- Determinar los puntos donde posiblemente se generarán las rótulas plásticas en la edificación bajo efectos de cargas sísmica y gravitacional.
- Obtener la curva de capacidad resistente de la estructura, la cual relaciona el cortante basal con el desplazamiento lateral de techo.
- Evaluar el factor R.

3.8 Parámetros Utilizados en el Análisis Estructural







- f'c = 210 kg/cm2
- fy = 4200 kg/cm2
- fu = 6300 kg/cm2
- Momento agrietado en columnas del 80%
- Momento agrietado en vigas al 50%
- Modulo Elástico E=15100 √ f´c

3.9 Parámetros del Espectro de Respuesta Sísmica

- Ubicación: Los Ríos Quevedo
- Tipo de Suelo: E
- Factor de importancia (I) = 1
- Factor de penalización por planta (Ø_{ip}) = 1
- Factor de penalización por elevación (Ø_{ie}) = 1
- Factor de reducción sísmica por la NEC = 8
- $\eta = 1.80$
- Z = 0.4
- Fa = 1
- **Fd** = 1,60
- **Fs** = 1,90
- r = 1.5

3.10 Metodología Pushover

3.10.1 Condiciones para Realizar Pushover.

Para realizar el análisis Pushover se debe considerar los siguientes puntos:

- Ingresar Fuerzas laterales en ambos sentidos
- Crear caso de carga gravitacional no Lineal
- Asignar las rotulas plásticas en vigas y columnas
- Crear el caso de carga Pushover en ambos sentidos

Una vez realizados los puntos menciones se procede a correr el programa, en este caso el programa de análisis estructural es el software ETABS.

3.10.2 Fuerzas Laterales.

Previamente antes de ingresar la carga se definió y asignó los diafragmas para cada piso, como se observa en el modelo 3D ilustrado a continuación:

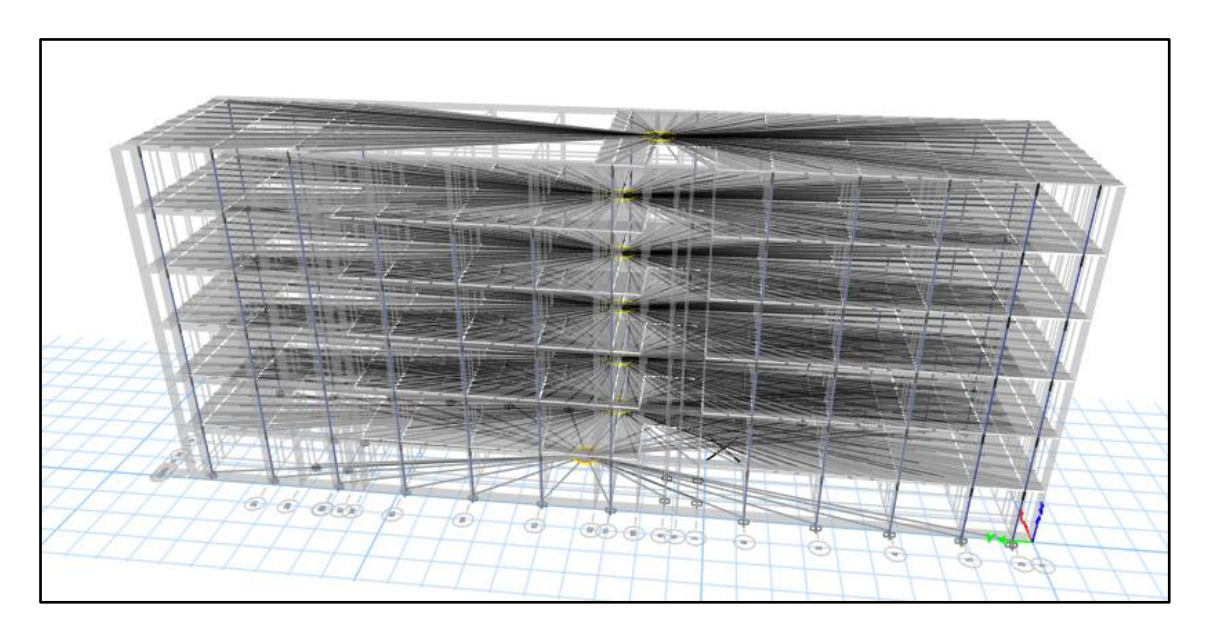


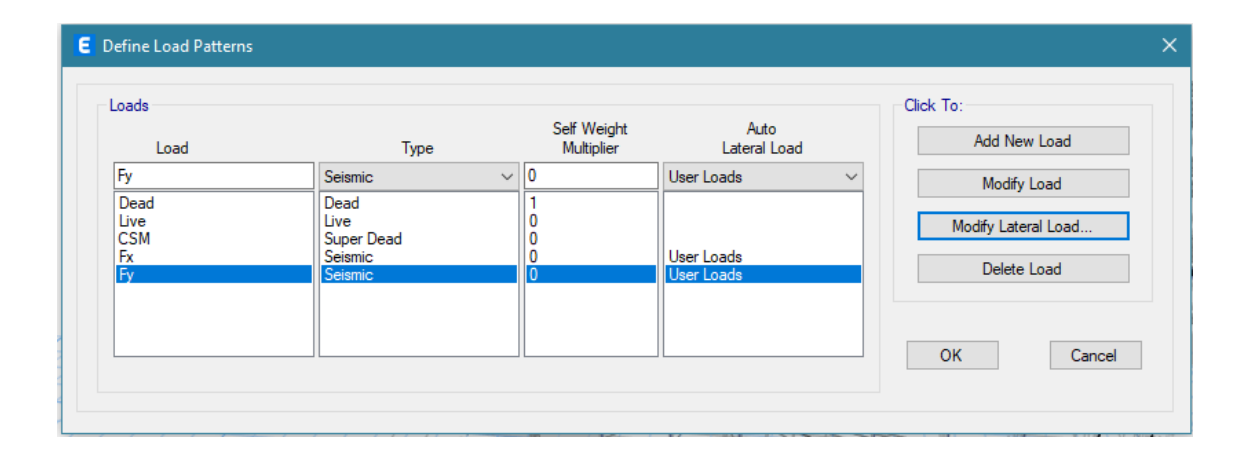
Ilustración 30: Modelo 3D

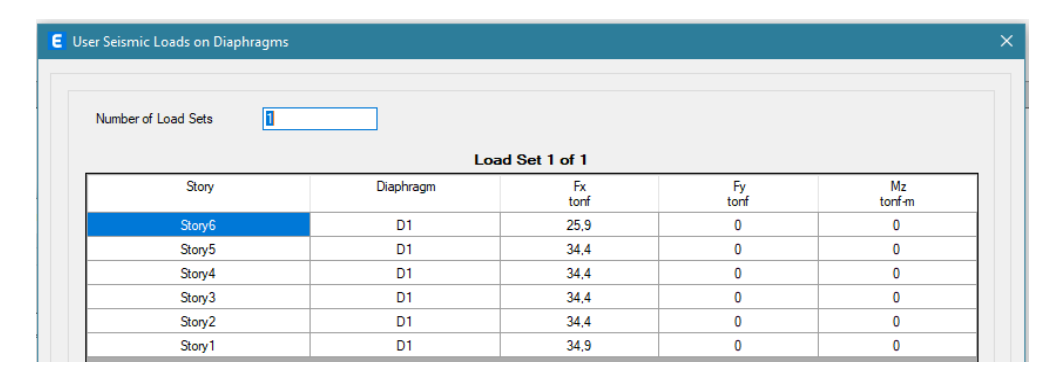
Se definió las fuerzas laterales en función al Cortante Basal del Espectro de Respuesta sísmica, en la siguiente tabla se muestra los valores:

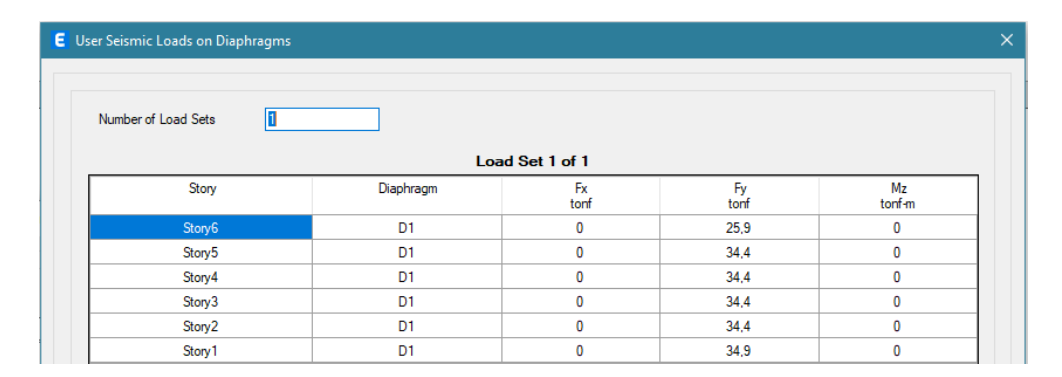
Tabla 22: Valores cortante basal

Piso	h	wi	h*wi	Vi	ΣVi
6	3,80	287,33	1091,85	25,9	25,86
5	3,80	382,33	1452,85	34,4	60,27
4	3,80	382,33	1452,85	34,4	94,68
3	3,80	382,33	1452,85	34,4	129,09
2	3,80	382,33	1452,85	34,4	163,50
1	3,80	388,30	1475,55	34,9	198,45
		-	8378,80	198,45	

Con los valores debidamente calculados procedí a ingresarlos al software de análisis estructural ETABS, creando patrones de cargas tanto en el sentido "x" como en el sentido "y", como se muestra en las siguientes figuras:







3.10.3 Rotulas Plásticas en los Elementos.

Para poder asignar las rotulas se debe crear en caso de carga gravitacional no lineal como se muestra en la siguiente figura:

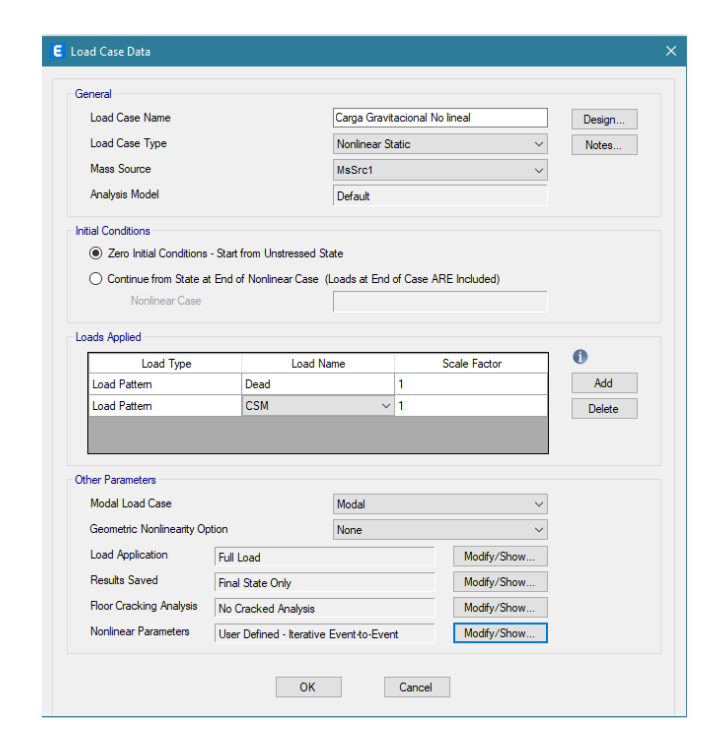


Ilustración 31. Caso de Carga Gravitacional No Lineal creada.

Se definió las configuraciones respectivas de las rotulas en viga y columnas, considerando un porcentaje de la luz 5% y 95% para vigas y un porcentaje de la altura 5% a 90% para columnas, esto de observa en las siguientes ilustraciones:



Ilustración 32: Vista en la planta #3 con la ubicación de las rotulas plásticas en las vigas

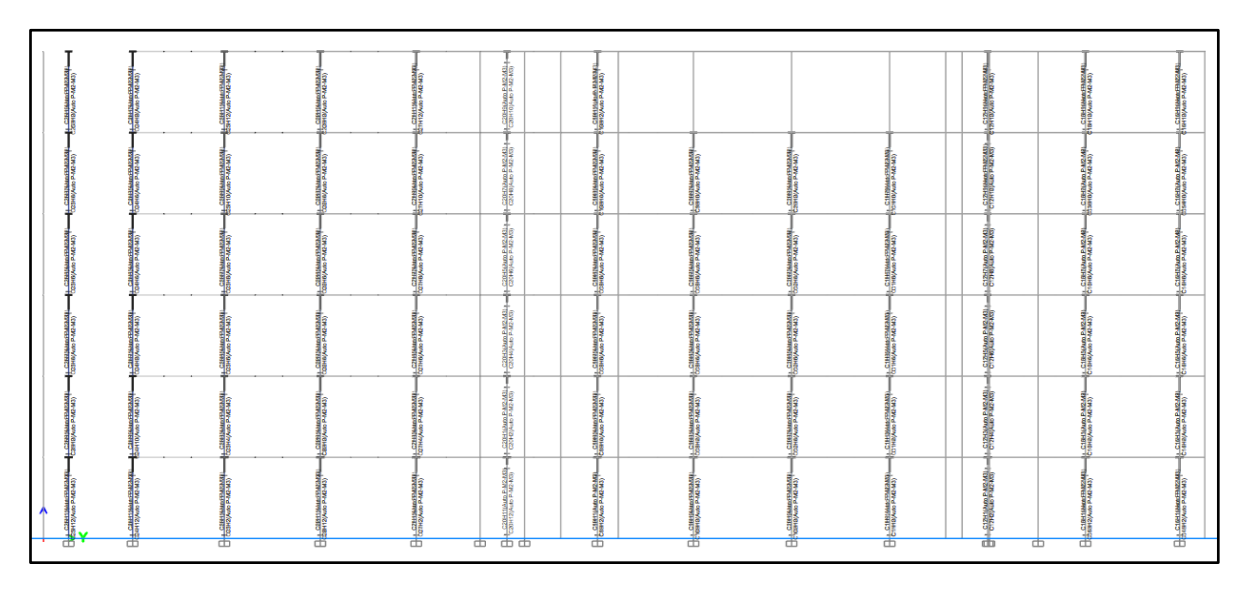


Ilustración 33: Vista en perfil con la ubicación de las rotulas plásticas en las columnas

3.10.4 Caso de Carga no Lineal Pushover.

A continuación, procedí a la creación de los casos de carga Pushover tanto en el eje "x" como en el eje "y", para esto se debe considerar que el punto de monitoreo será en el último piso debido a que en este se generan los mayores desplazamientos, además definí un desplazamiento máximo de 95 cm tomando en consideración el desplazamiento por default que toma el ETASB siendo el 0,04H donde H es la altura total de la estructura.

En las siguientes figuras se observan los casos de carga Pushover definidos:

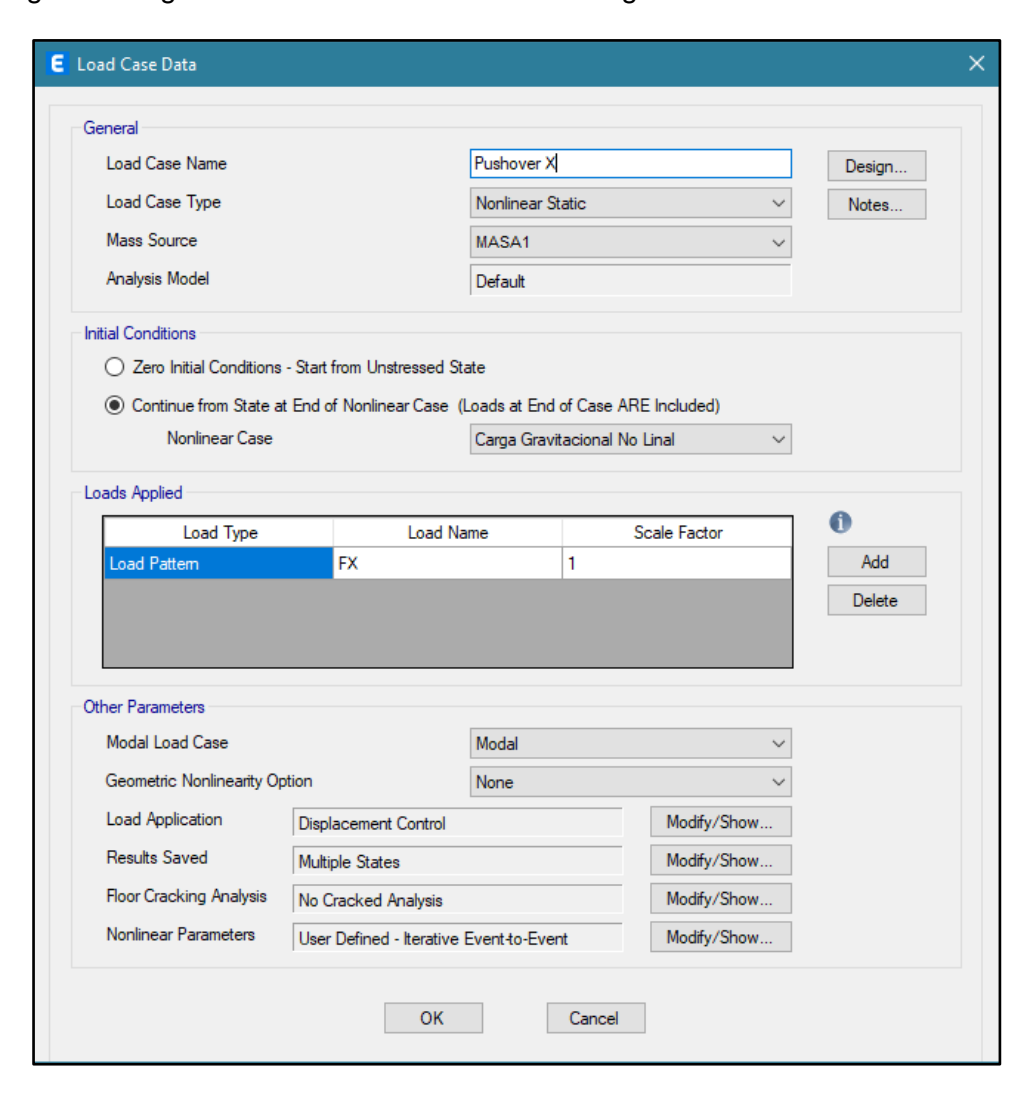


Ilustración 34. Caso de carga Pushover en sentido X

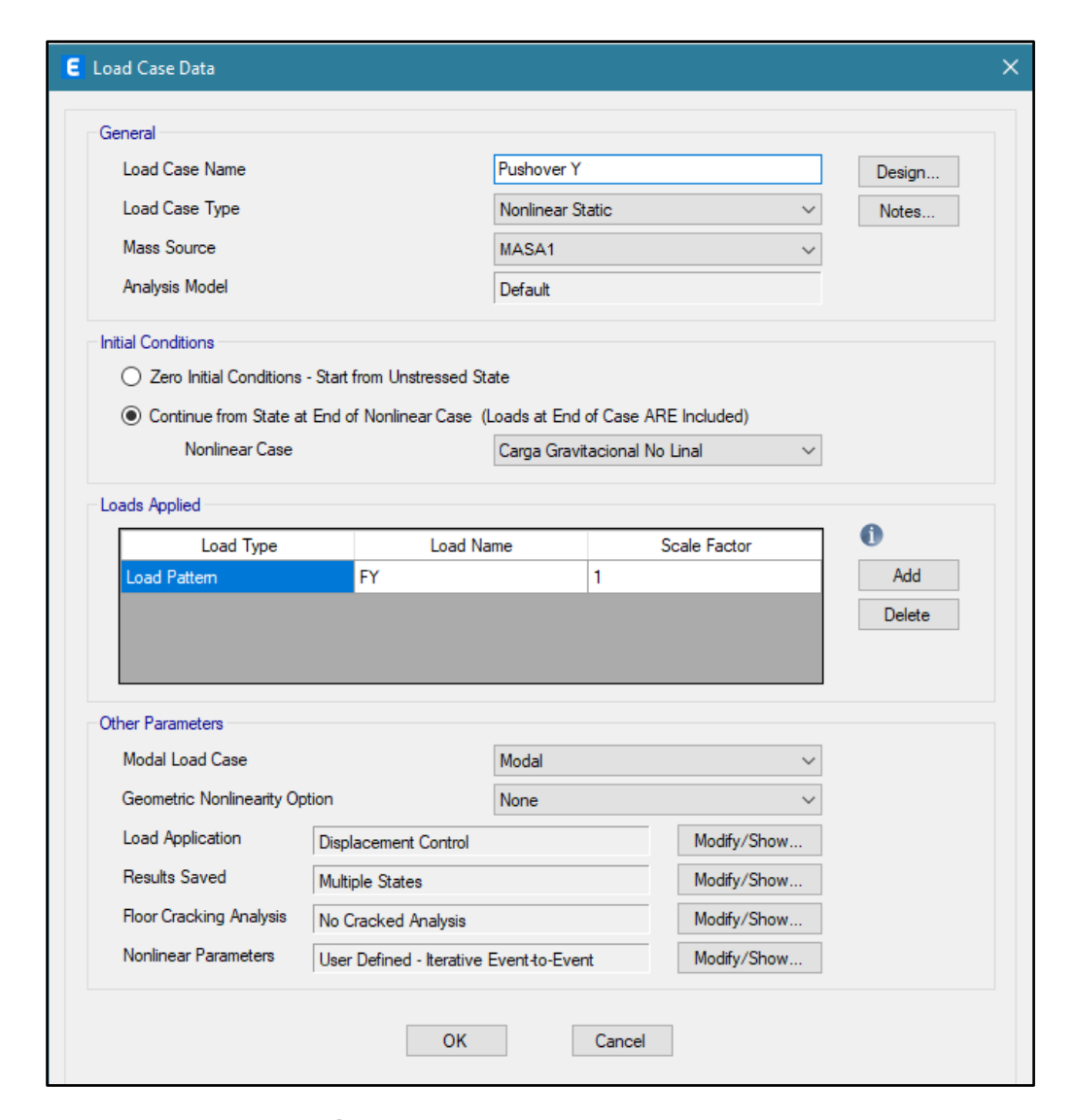


Ilustración 35. Caso de carga Pushover en sentido "Y"

3.10.5 Espectro de Demanda Sísmica.

Por último, se creó los espectros de demanda con su respectivo factor de importancia. Los sismos serán de 43, 72, 475, 975, 1500, 2500 años en el que el factor de amortiguamiento sísmico R se lo mantendrá con un valor de 1 para conocer el desempeño de cada caso como se muestra en las siguientes figuras:

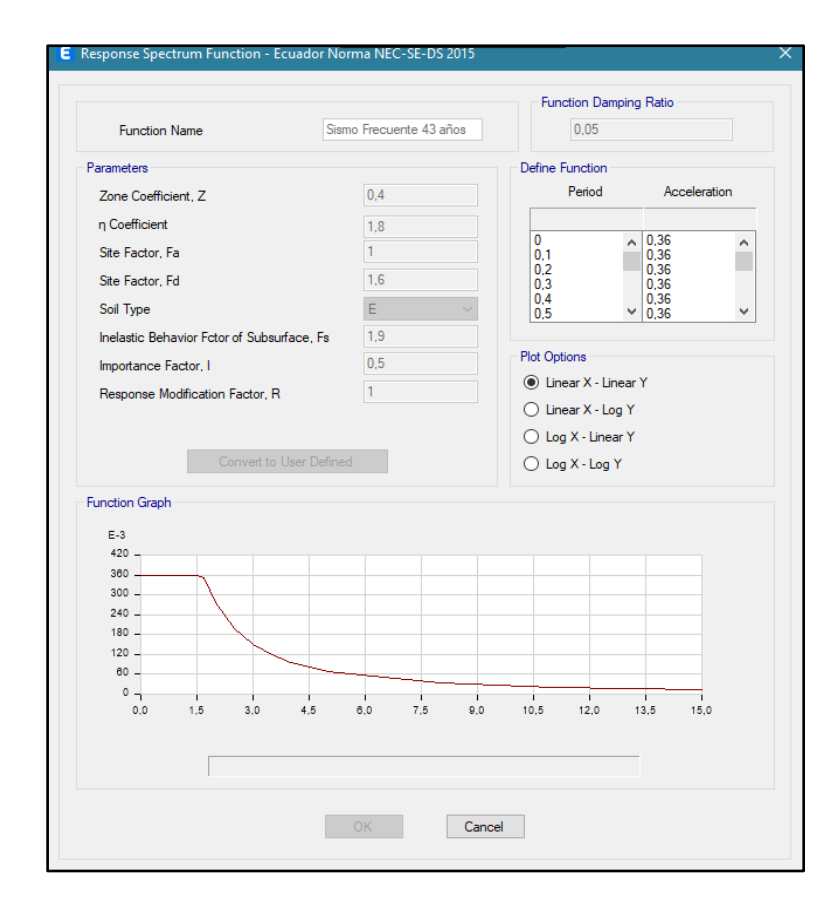


Ilustración 36. Espectro de demanda para 43 años

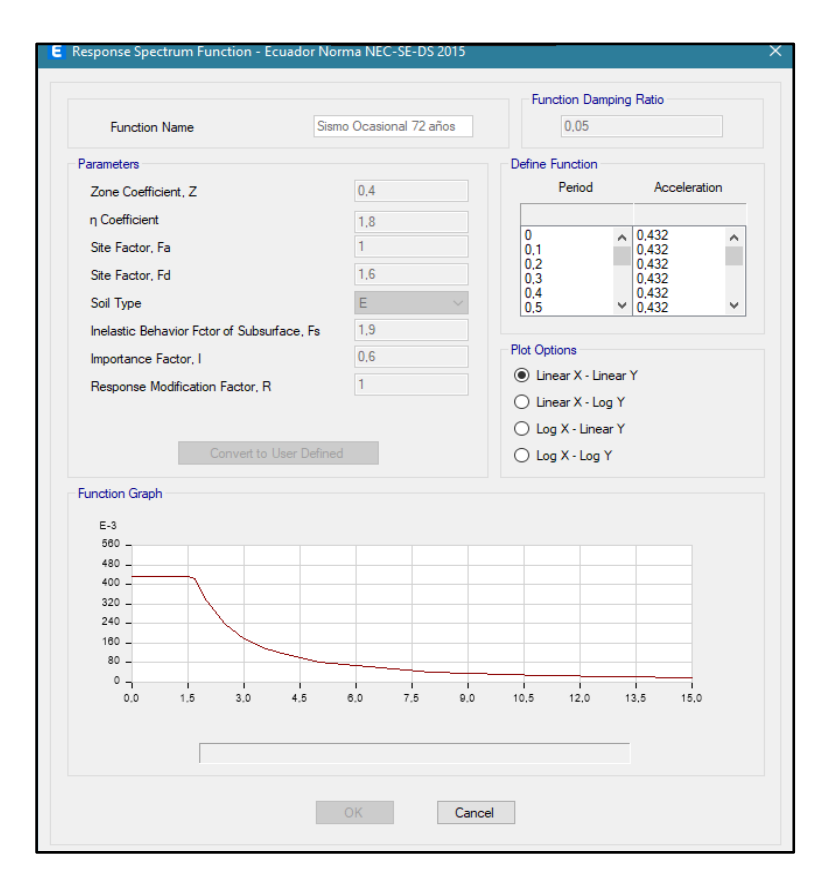


Ilustración 37. Espectro de demanda para 72 años

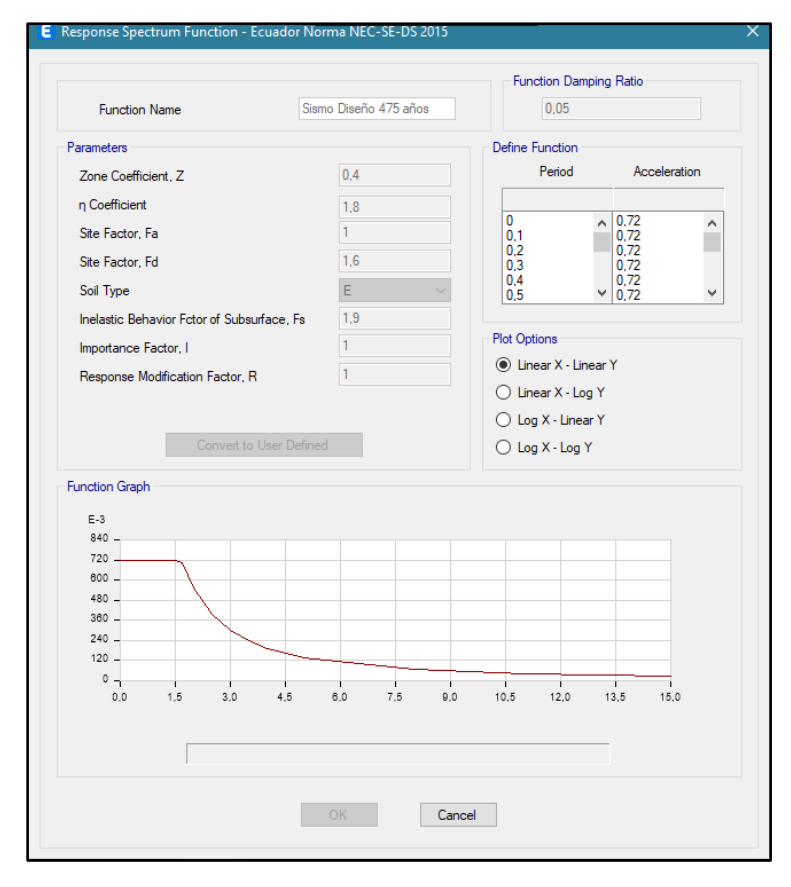


Ilustración 38. Espectro de demanda para 475 años

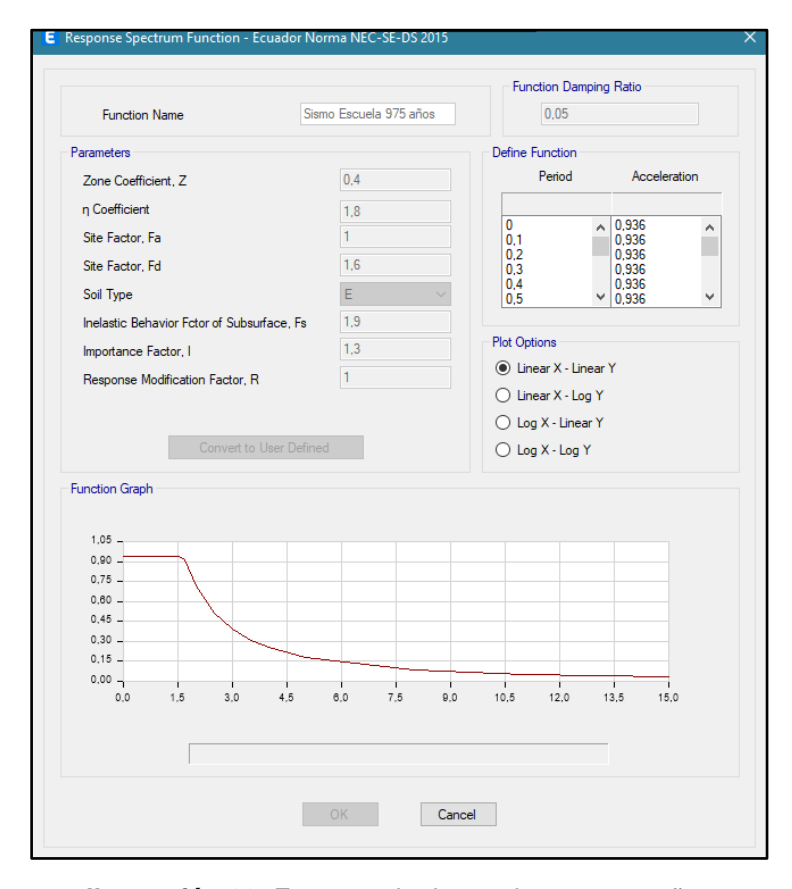


Ilustración 39. Espectro de demanda para 975 años

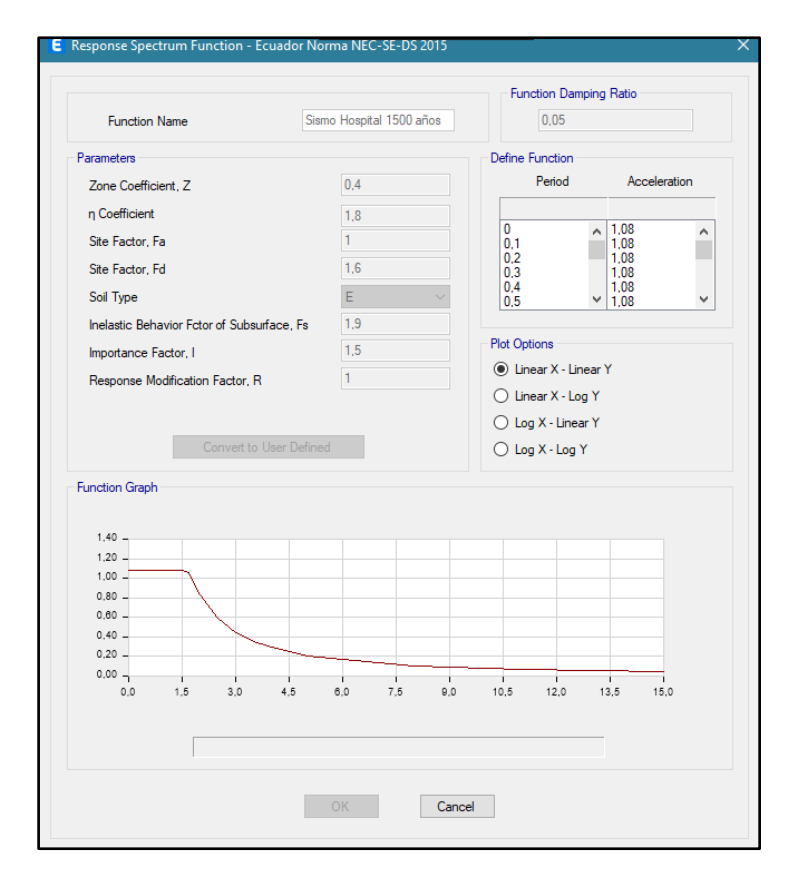


Ilustración 40. Espectro de demanda para 1500 años

3.10.6 Análisis Pushover.

27,3242

3.10.6.1 Análisis de la Rotulas Plásticas.

Después que el ETABS terminó el corrido del análisis, obtuve la tabla en la que se muestran las rotulas plásticas que se han activado a medida que se realizan los pasos según el desplazamiento de control.

A continuación, se observa la tabla del análisis de rotulas plásticas en sentido X a continuación:

Monitored Displ Base Force A-IO **IO-LS** LS-CP >CP Step Total tonf cm 0 816 0 0 816 0 0 0 1 7,5913 500,4356 816 0 0 0 816 2 17,2389 1118,986 813 3 0 0 816 3 26,7818 1609,587 762 54 0 0 816 4 758 0 0

58

816

1631,881

Tabla 23. Rotulas Plásticas en los pasos del Pushover en X

Lo que se interpreta en la tabla es que tenemos un total de 816 rótalas plásticas asignadas, se observa que en el paso 2 se han generado 3 rotulas que se encuentra en el límite de aceptación **Ocupación Inmediata (IO)** con un desplazamiento de **17,2389 cm**, en el paso 3 se refleja que 52 rotulas se encuentran en el límite de aceptación **Ocupación Inmediata (IO)** con un desplazamiento de **26,7818 cm** y en el paso 4 se refleja que 58 rotulas se encuentran en el límite de aceptación **Ocupación Inmediata (IO)** con un desplazamiento de **27,3242 cm**.

En la siguiente ilustración podemos apreciar que la estructura solo se encuentra en estado de fluencia con un desplazamiento de 7,59 cm con una fuerza de cortante basal de 500,44 Tonf.



Ilustración 41. Curva de Capacidad de la estructura del Pushover en X

Las rotulas plásticas y los casos críticos en los cuales podemos visualizar y determinar en qué nivel de seguridad se encuentra la estructura, se muestran a continuación en la siguiente ilustración:

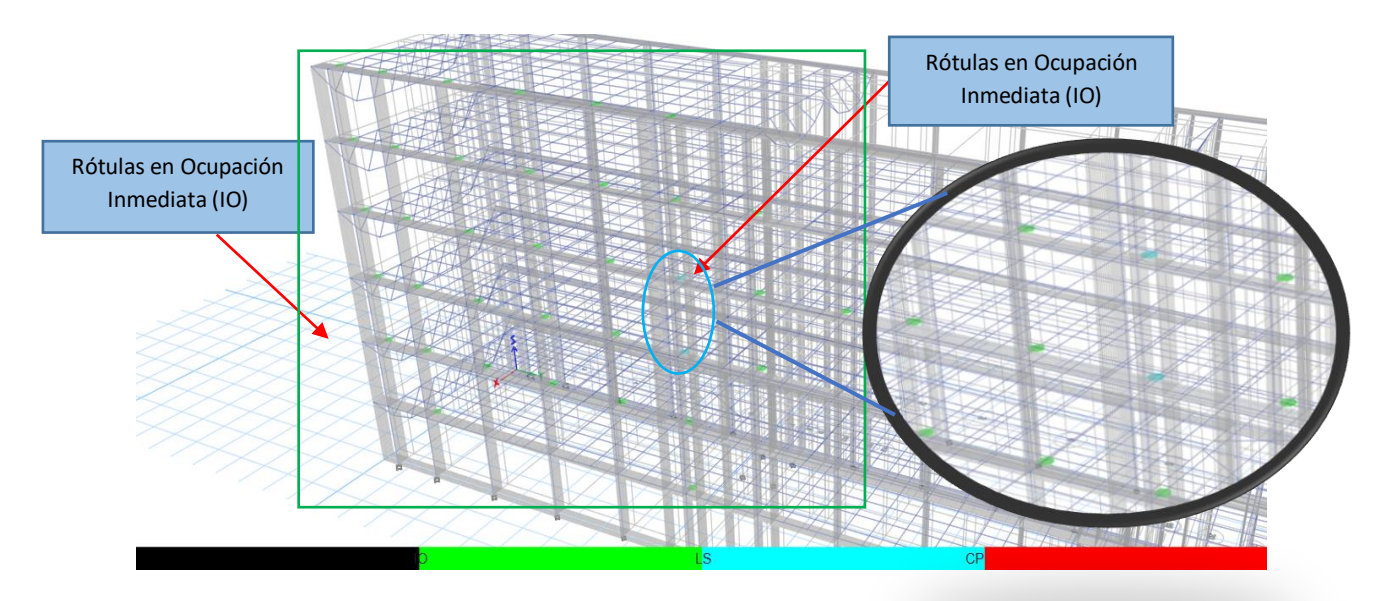


Ilustración 42. Rotulas plásticas en el límite de Colapso Total del Pushover en X

Elaborado por: Anthony Terán Ibarra

A continuación, se observa la tabla del análisis de rotulas plásticas en el sentido "y":

Tabla 24. Rotulas Plásticas en los pasos del Pushover en Y

Cton	Monitored Displ	Base Force	A-IO	IO-LS	LS-CP	>CP	Total
Step	cm	tonf					Total
0	0	0	816	0	0	0	816
1	6,3312	377,9518	816	0	0	0	816
2	16,2434	890,1539	816	0	0	0	816
3	26,094	1314,6172	714	102	0	0	816
4	35,594	1702,2595	611	205	0	0	816
5	39,5461	1859,2935	587	222	7	0	816
6	39,5473	1858,0974	587	221	8	0	816
7	40,2338	1884,9495	584	223	9	0	816

Lo que se interpreta en la tabla es que tenemos un total de 816 rótulas plásticas asignadas, de las cuales se observa que en el paso 4 se han generado 205 rotulas que se encuentra en el límite de aceptación **Ocupación Inmediata (IO)** con un desplazamiento de **35,594 cm**, pero en el paso 5 se refleja que 222 rotulas se encuentran en el límite de aceptación **Ocupación Inmediata (IO)** además de 7 rótulas que se encuentran cursando en el límite de aceptación **Línea de Seguridad (LS)** con un desplazamiento de **39,5461 cm** y en el paso 7 se refleja que 223 rotulas se encuentran en el límite de aceptación **Ocupación Inmediata**

(IO) además de 9 rótulas que se encuentran cursando en el límite de aceptación Línea de Seguridad (LS) con un desplazamiento de 40,2338 cm, en el modelo 3D podemos visualizar que las 9 rótulas se generan en las vigas por lo que dichos elementos están en una zona próxima al Punto de Colapso (CP), de manera que la estructura aún se encuentra estable pero se tendrá que requerir de refuerzo en dicho elemento debido a un desplazamiento mayor de 40,2338 cm.

En la siguiente ilustración podemos apreciar que la estructura se encuentra en estado de fluencia con un desplazamiento de 6,33 cm con una fuerza de cortante basal de 377,95 Tonf.

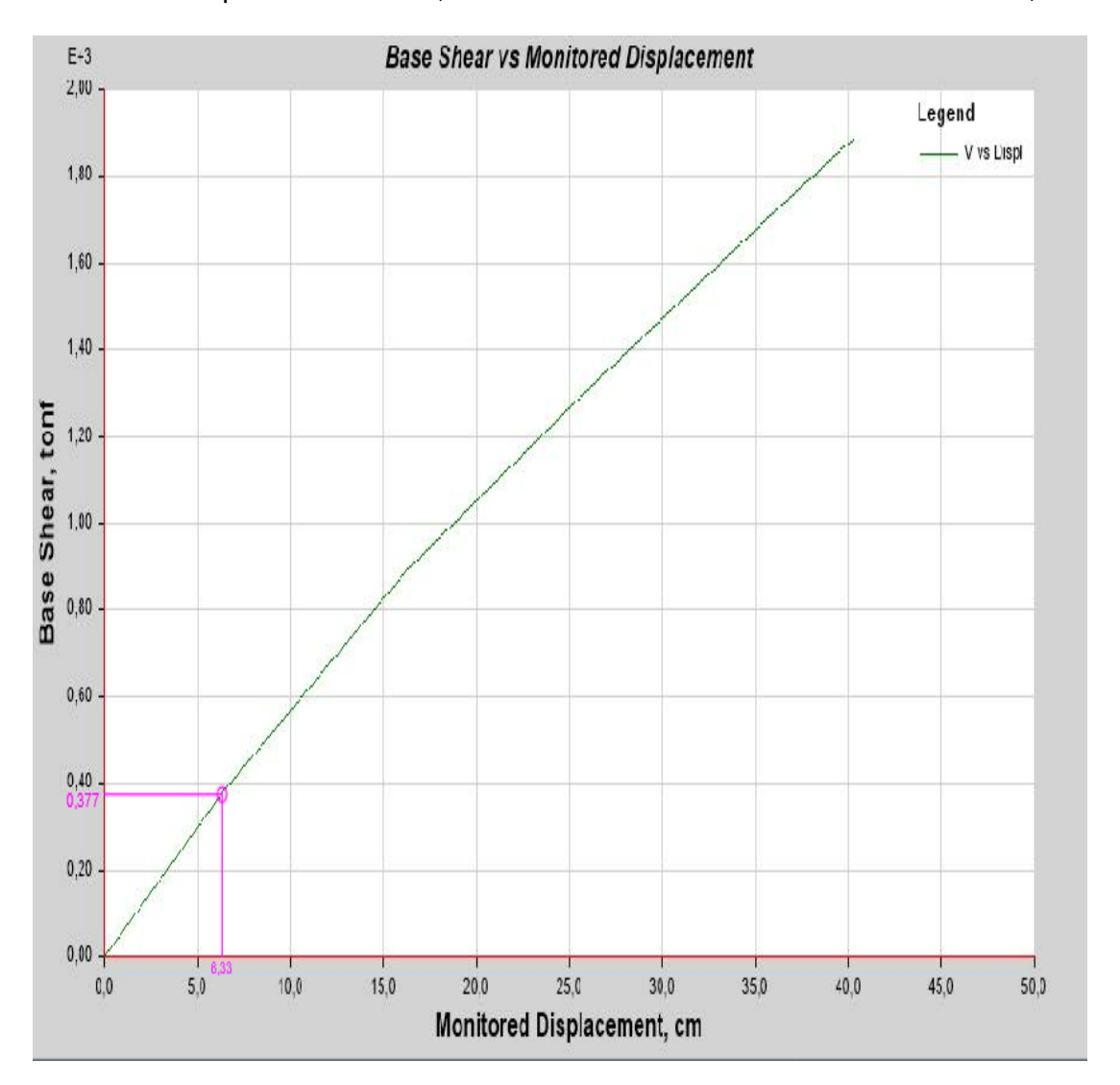


Ilustración 43. Curva de Capacidad de la estructura del Pushover en Y Elaborado por: Anthony Terán Ibarra

Los rotulas plásticas y en los pasos críticos se muestran en la siguiente ilustración:

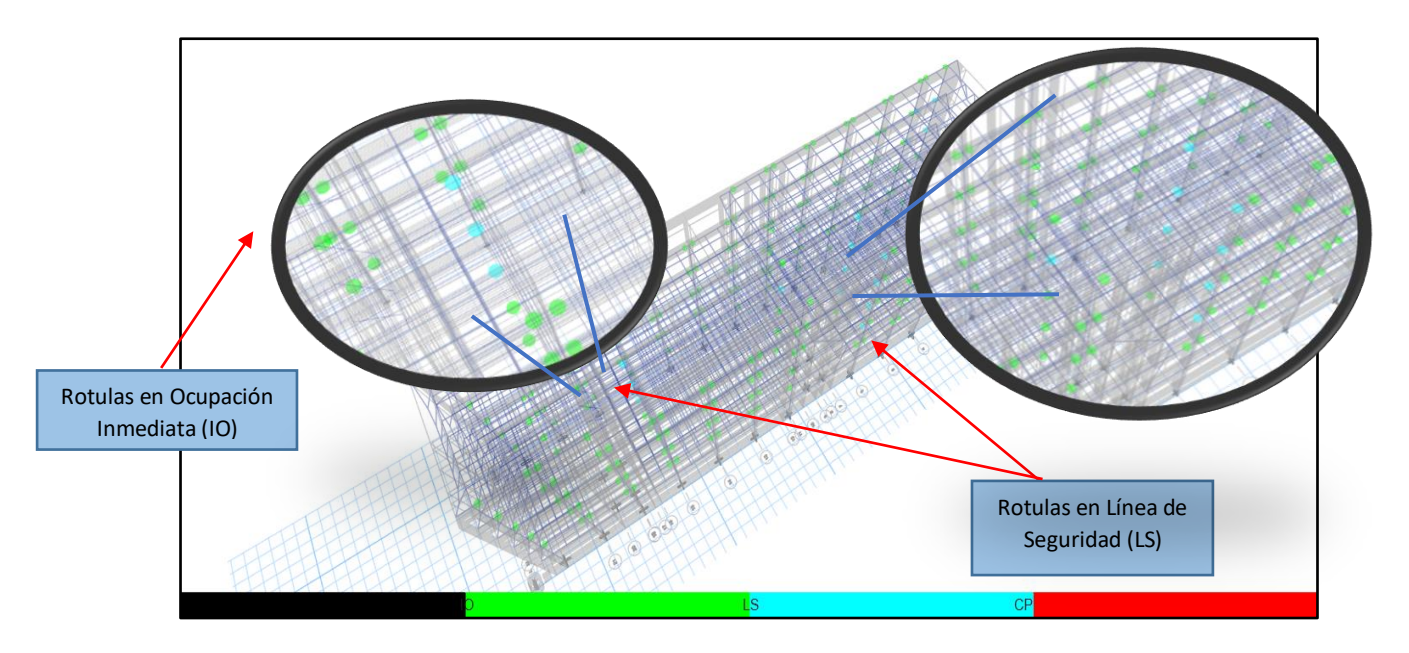


Ilustración 44. Rotulas plásticas en el límite de Colapso Total del Pushover en Y Elaborado por: Anthony Terán Ibarra

3.10.6.1.1 Resultados del Método de los Coeficiente ASCE 41-13.

Se implementó el método de los coeficientes para conocer los desplazamientos de fluencia, demanda y ultimo mediante la Bilinealización tanto en el sentido "x" como en el sentido "y" tal como se observa en las siguientes ilustraciones:

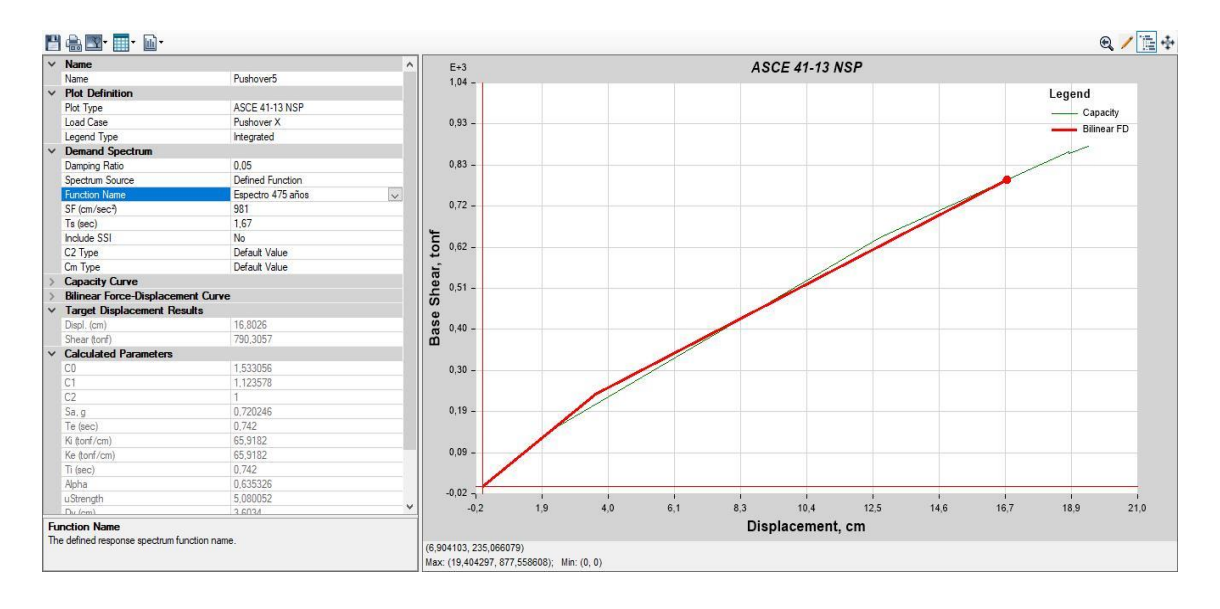


Ilustración 45. Gráfica de la Bilinealización del Pushover en X

Elaborado por: Anthony Terán Ibarra

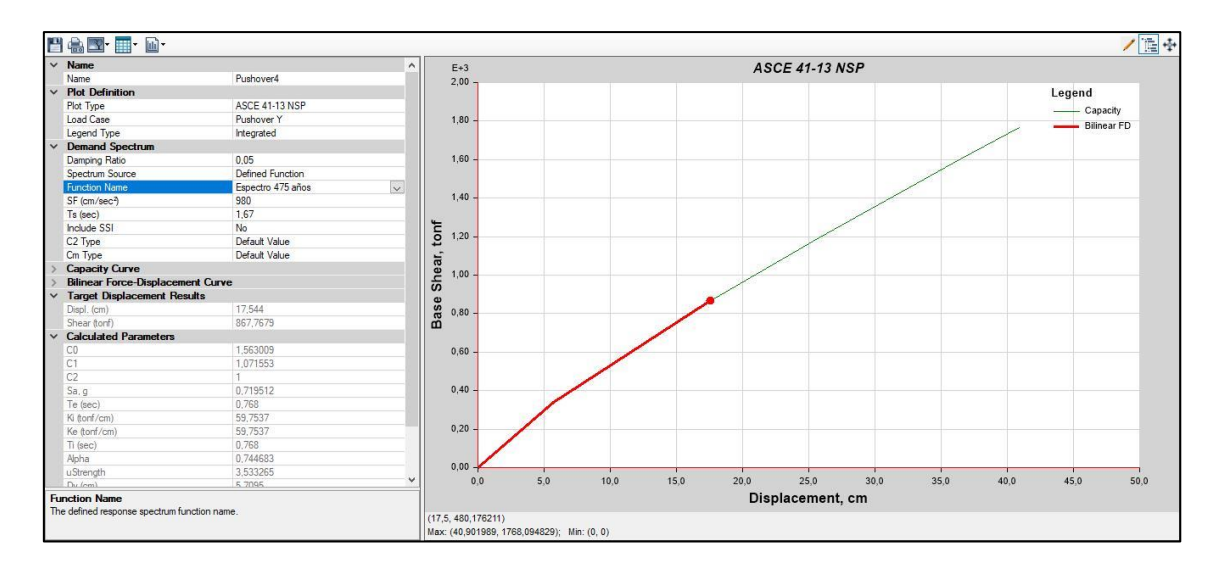


Ilustración 46. Grafica de la Bilinealizacion del Pushover en Y Elaborado por: Anthony Terán Ibarra

3.10.6.1.2 Límites de Aceptación.

Finalmente se generaron las gráficas de la curva de capacidad de la edificación complementando con las líneas que representa los límites de aceptación para los espectros de demanda en el sentido "x" como se observa en las siguientes ilustraciones:

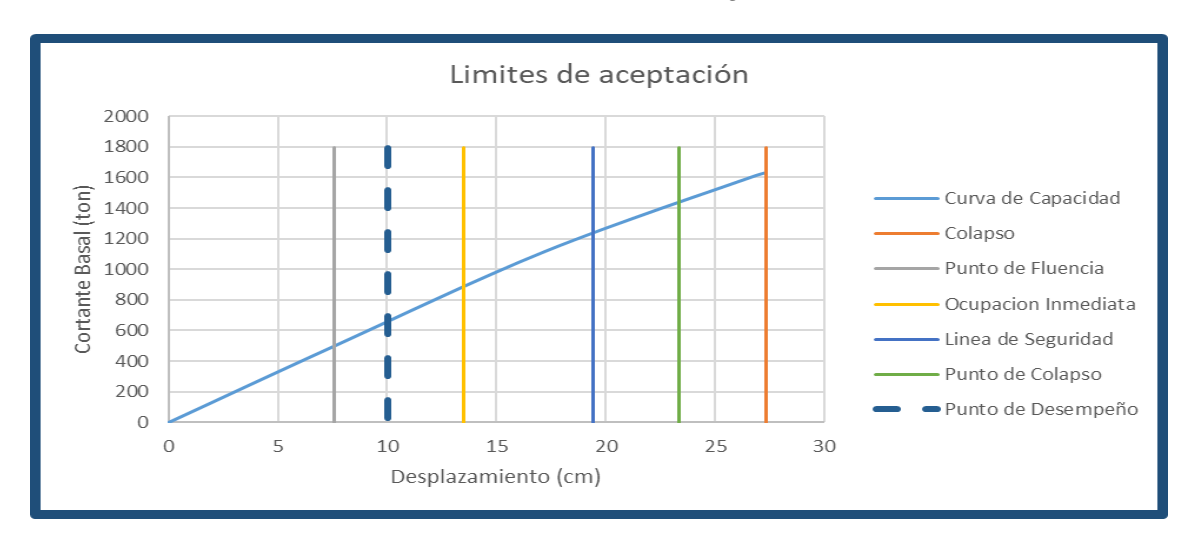


Ilustración 47. Curva de capacidad con los límites de aceptación de un sismo de 43 años con Pushover aplicado en el sentido "x".

Elaborado por: Anthony Terán Ibarra

Analizando el punto de desempeño con este sismo de categoría frecuente por cada 43 años, en primera instancia la línea de desempeño no indica que la estructura se encuentre entre los límites de Ocupación Inmediata y Línea de Seguridad, analizando la ductilidad de

capacidad vs la ductilidad de demanda se concluye que para este tipo de sismo la estructura es habitable, en la siguiente tabla se resume el análisis.

Tabla 25: Análisis de ductilidad

Análisis de ductilidad			
DUCT CAPACIDAD 3,60			
DCUT DEMANDA	1,32		
Conclusion 2,28 HABITABLE			

De la misma manera, si analizamos el factor de reducción sísmica aplicando la ecuación dada por COVENIN (1756-2001) la ductilidad multiplicado por 1,25 obtenemos que el R-Push que se debe usar en vez de usar el R que nos otorga la tabla de la NEC-15, a continuación, se muestra la tabla para el espectro de demanda de 43 años:

Tabla 26: Análisis del factor de reducción sísmica R

Analisis del factor de reduccion sismica R			
DUCTILIDAD	Metodo COVENIN		
R-Push	4,50	(1756 -2001)	
R-NEC	8		



Ilustración 48. Curva de capacidad con los límites de aceptación de un sismo de 72 años con Pushover aplicado en el sentido "x".

Elaborado por: Anthony Terán Ibarra

Analizando el punto de desempeño con este sismo de categoría frecuente por cada 72 años, en primera instancia la línea de desempeño no indica que la estructura se encuentre entre los límites de Ocupación Inmediata y Línea de Seguridad, analizando la ductilidad de

capacidad vs la ductilidad de demanda se concluye que para este tipo de sismo la estructura es habitable, en la siguiente tabla se resume el análisis.

Tabla 27: Análisis de ductilidad

Análisis de ductilidad			
DUCT CAPACIDAD 3,60			
DCUT DEMANDA			
Conclusion	Conclusion 2,01 HABITABLE		

De la misma manera si analizamos el factor de reducción sísmica aplicando la ecuación dada por COVENIN (1756-2001) la ductilidad multiplicado por 1,25 obtenemos que el R-Push que se debe usar en vez de usar el R que nos otorga la tabla de la NEC-15, a continuación, se muestra la tabla para el espectro de demanda de 72 años:

Tabla 28: Análisis del factor de reducción sísmica R

Analisis del factor de reduccion sismica R			
DUCTILIDAD	Metodo COVENIN		
R-Push	4,50	(1756 -2001)	
R-NEC	8		

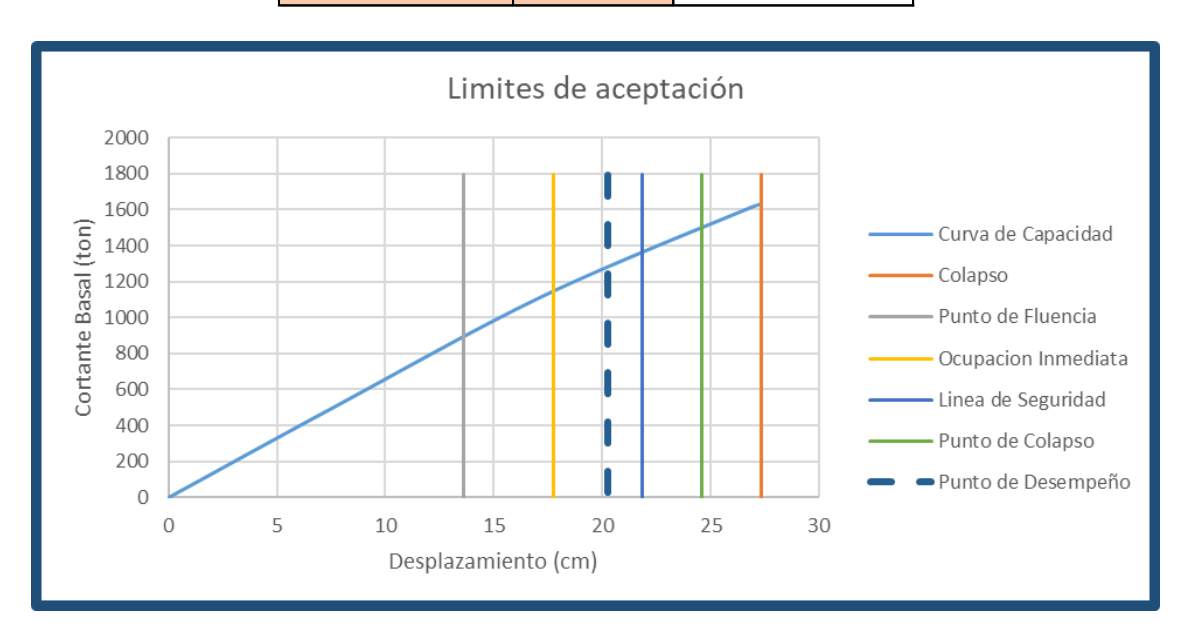


Ilustración 49. Curva de capacidad con los límites de aceptación de un sismo de 475 años con Pushover aplicado en el sentido "x".

Elaborado por: Anthony Terán Ibarra

Analizando el punto de desempeño con este sismo de categoría frecuente por cada 475 años, en primera instancia la línea de desempeño no indica que la estructura se encuentre entre los límites de Punto de Colapso y Colapso Total, analizando la ductilidad de capacidad

vs la ductilidad de demanda se concluye que para este tipo de sismo la estructura se debe reforzar, en la siguiente tabla se resume el análisis.

Tabla 29: Análisis de ductilidad

Análisis de ductilidad			
DUCT CAPACIDAD 2,01			
DCUT DEMANDA			
Conclusion	Conclusion 0,52 REFORZAR		

De la misma manera si analizamos el factor de reducción sísmica aplicando la ecuación dada por COVENIN (1756-2001) la ductilidad multiplicado por 1,25 obtenemos que el R-Push que se debe usar en vez de usar el R que nos otorga la tabla de la NEC-15, a continuación, se muestra la tabla para el espectro de demanda de 475 años:

Tabla 30: Análisis del factor de reducción sísmica R

Analisis del factor de reduccion sismica R			
DUCTILIDAD	Metodo COVENIN		
R-Push	2,51	(1756 -2001)	
R-NEC	8		

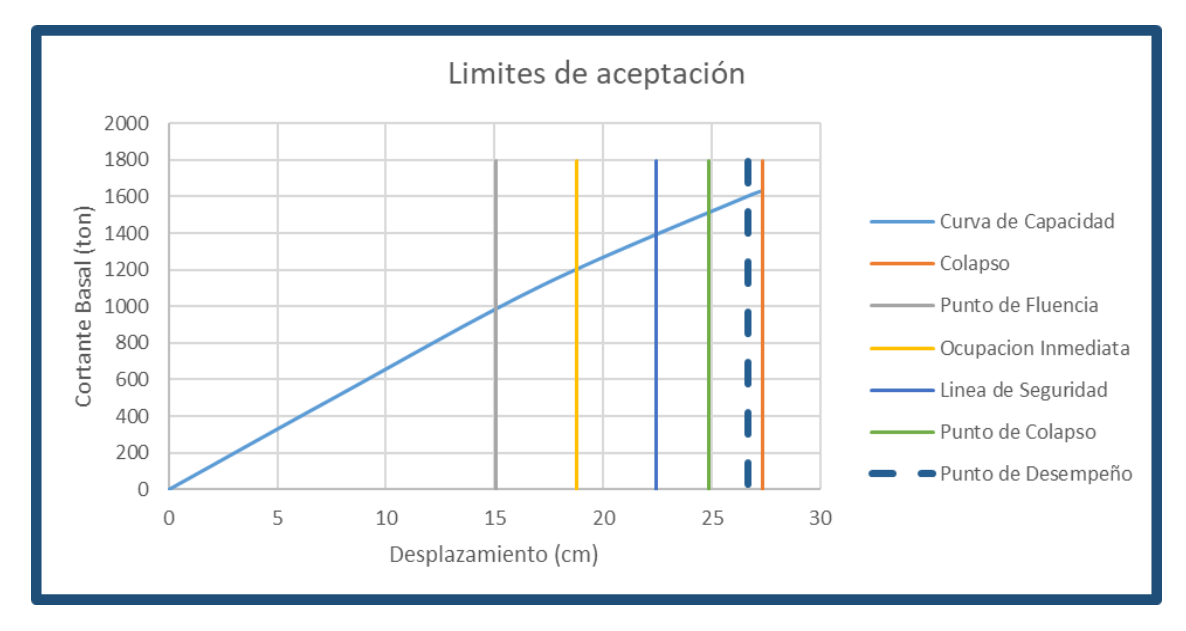


Ilustración 50. Curva de capacidad con los límites de aceptación de un sismo de 975 años con Pushover aplicado en el sentido "x".

Elaborado por: Anthony Terán Ibarra

Analizando el punto de desempeño con este sismo de categoría frecuente por cada 975 años, en primera instancia la línea de desempeño no indica que la estructura se encuentre afuera del límite de Colapso Total, sin embargo, analizando la ductilidad de capacidad vs la

ductilidad de demanda se concluye que para este tipo de sismo la estructura se debe reforzar, en la siguiente tabla se resume el análisis.

Tabla 31: Análisis de ductilidad

Análisis de ductilidad			
DUCT CAPACIDAD 1,81			
DCUT DEMANDA	1,77		
Conclusion 0,04 REFORZAR			

De la misma manera si analizamos el factor de reducción sísmica aplicando la ecuación dada por COVENIN (1756-2001) la ductilidad multiplicado por 1,25 obtenemos que el R-Push que se debe usar en vez de usar el R que nos otorga la tabla de la NEC-15, a continuación, se muestra la tabla para el espectro de demanda de 975 años:

Tabla 32: Análisis del factor de reducción sísmica R

Analisis del factor de reduccion sismica R			
DUCTILIDAD	Metodo COVENIN		
R-Push	2,26	(1756 -2001)	
R-NEC	8		

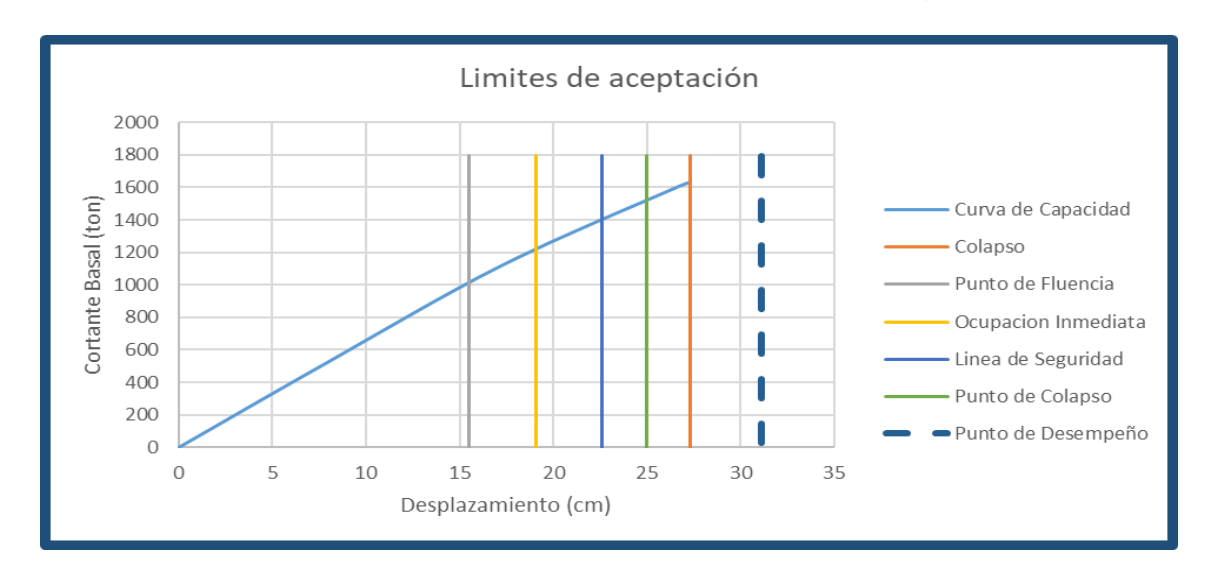


Ilustración 51. Curva de capacidad con los límites de aceptación de un sismo de 1500 años con Pushover aplicado en el sentido "x".

Elaborado por: Anthony Terán Ibarra

Analizando el punto de desempeño con este sismo de categoría frecuente por cada 1500 años, en primera instancia la línea de desempeño nos indica que la estructura se encuentra fuera de los límites de aceptación. Analizando la ductilidad de capacidad vs la ductilidad de

demanda se concluye que para este tipo de sismo la estructura se debe reforzar, en la tabla se resumen el análisis.

Tabla 33: Análisis de ductilidad

Análisis de ductilidad			
DUCT CAPACIDAD	1,76		
DCUT DEMANDA			
Conclusion	DCUT DEMANDA2,00Conclusion-0,24REFORZAR		

De la misma manera si analizamos el factor de reducción sísmica aplicando la ecuación dada por COVENIN (1756-2001) la ductilidad multiplicado por 1,25 obtenemos que el R-Push que se debe usar en vez de usar el R que nos otorga la tabla de la NEC-15, a continuación, se muestra la tabla para el espectro de demanda de 1500 años:

Tabla 34: Análisis del factor de reducción sísmica R

Analisis del factor de reduccion sismica R			
DUCTILIDAD	1,76	Metodo COVENIN	
R-Push	2,20	(1756 -2001)	
R-NEC	8		

Analizando los resultados de todos los sismos de demandas terminaran en el mismo caso, esto se llega a notar comparando el desplazamiento de demanda con el desplazamiento último, esto se puede apreciar en la siguiente tabla:

Tabla 35: Resumen de los desplazamientos según el caso de sismo de demanda en sentido X.

Desplazamiento del Metodo de los Coeficiente ASCE 41-13					
Años	Años dd du dy				
43	10,01	27,32	7,59		
72	12,10	27,32	7,59		
475	20,25	27,32	13,62		
975	26,67	27,32	15,08		
1500	31,09	27,32	15,52		

A continuación, apreciaremos las gráficas de la curva de capacidad de la edificación complementando con las líneas que representa los límites de aceptación para los espectros de demanda en sentido "y" como se observa en las siguientes ilustraciones:

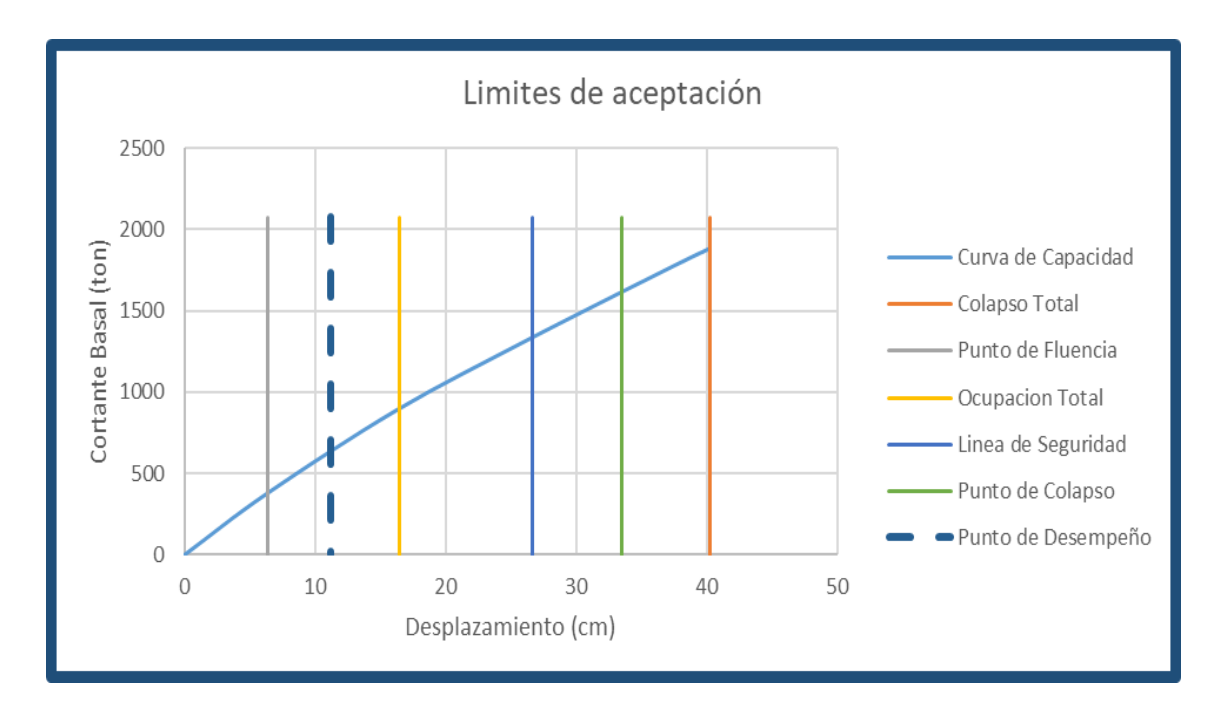


Ilustración 52: Curva de capacidad con los límites de aceptación de un sismo de 43 años con Pushover aplicado en el sentido "y".

Elaborado por: Anthony Terán Ibarra

Analizando el punto de desempeño con este sismo de categoría frecuente por cada 43 años, en primera instancia la línea de desempeño no indica que la estructura se encuentre entre los límites de Ocupación Inmediata y Línea de Seguridad, analizando la ductilidad de capacidad vs la ductilidad de demanda se concluye que para este tipo de sismo la estructura es habitable, en la siguiente tabla se resume el análisis.

Tabla 36: Análisis de ductilidad

Análisis de ductilidad			
DUCT CAPACIDAD 6,36			
DCUT DEMANDA 1,76			
Conclusion 4,59 HABITABLE			

De la misma manera si analizamos el factor de reducción sísmica aplicando la ecuación dada por COVENIN (1756-2001) la ductilidad multiplicado por 1,25 obtenemos que el R-Push que se debe usar en vez de usar el R que nos otorga la tabla de la NEC-15, a continuación, se muestra la tabla para el espectro de demanda de 43 años:

Tabla 37: Análisis del factor de reducción sísmica R

Analisis del factor de reduccion sismica R			
DUCTILIDAD 6,36 <i>Metodo COVENIN</i>			
R-Push	R-Push 7,94 (1756 - 2001)		
R-NEC 8			

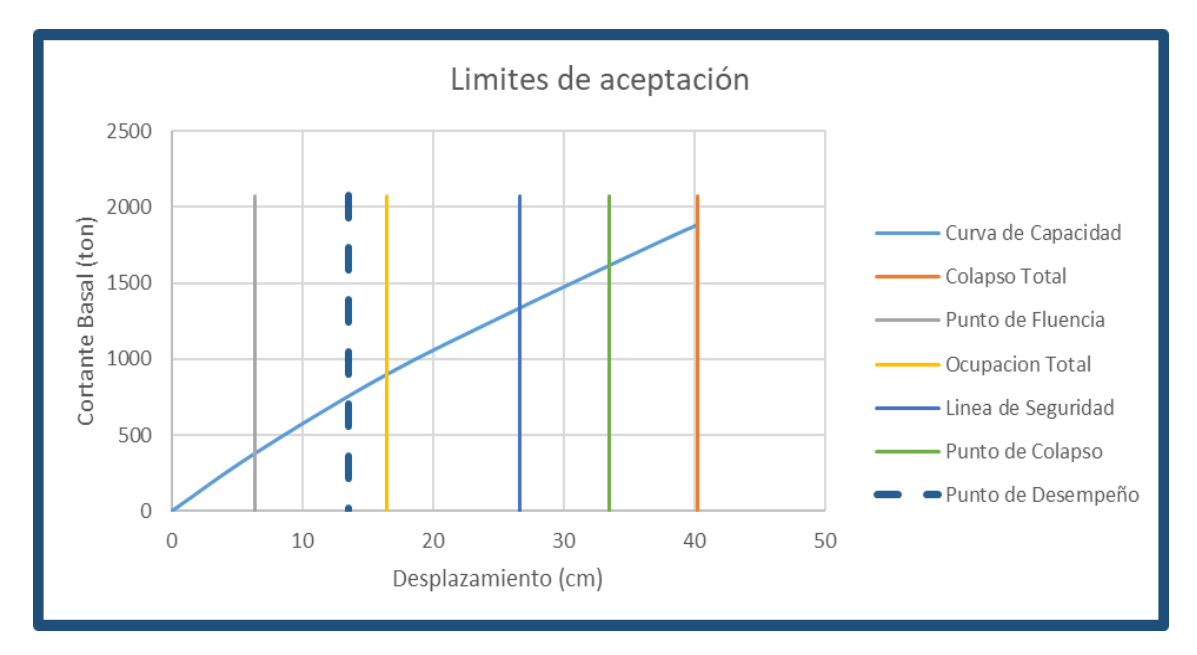


Ilustración 53. Curva de capacidad con los límites de aceptación de un sismo de 72 años con Pushover en el sentido "y".

Elaborado por: Anthony Terán Ibarra

Analizando el punto de desempeño con este sismo de categoría frecuente por cada 72 años, en primera instancia la línea de desempeño nos indica que la estructura se encuentra entre los límites de Fluencia y Ocupación Inmediata, analizando la ductilidad de capacidad vs la ductilidad de demanda se concluye que para este tipo de sismo la estructura es habitable, en la siguiente tabla se resume el análisis.

Tabla 38: Análisis de ductilidad

Análisis de ductilidad				
DUCT CAPACIDAD 6,36				
DCUT DEMANDA 2,13				
Conclusion 4,22 HABITABLE				

De la misma manera si analizamos el factor de reducción sísmica aplicando la ecuación dada por COVENIN (1756-2001) la ductilidad multiplicado por 1,25 obtenemos que el R-Push que se debe usar en vez de usar el R que nos otorga la tabla de la NEC-15, a continuación, se muestra la tabla para el espectro de demanda de 72 años:

Tabla 39: Análisis del factor de reducción sísmica R

Analisis del factor de reduccion sismica R			
DUCTILIDAD 6,36 <i>Metodo COVENIN</i>			
R-Push 7,94 (1756 - 2001)			
R-NEC	8		

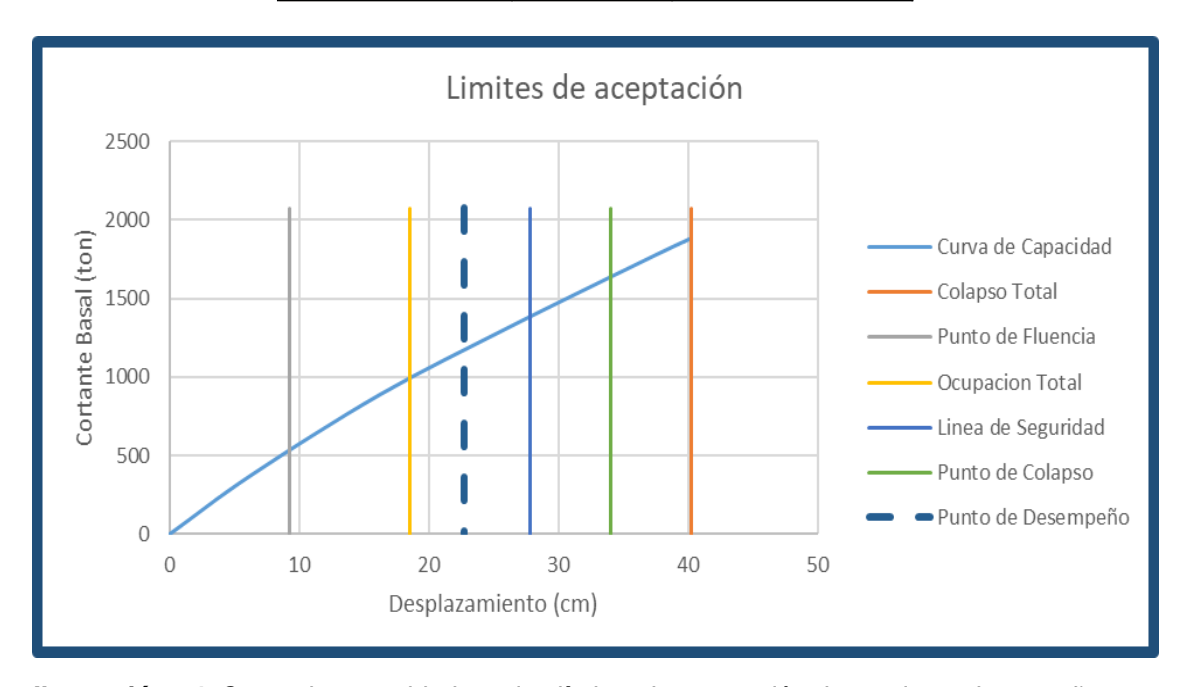


Ilustración 54. Curva de capacidad con los límites de aceptación de un sismo de 475 años con Pushover en el sentido "y".

Elaborado por: Anthony Terán Ibarra

Analizando el punto de desempeño con este sismo de categoría frecuente por cada 475 años, en primera instancia la línea de desempeño nos indica que la estructura se encuentra entre los límites de Ocupación Inmediata y Línea de Seguridad, analizando la ductilidad de capacidad vs la ductilidad de demanda se concluye que para este tipo de sismo la estructura debe ser reforzada, en la siguiente tabla se resume el análisis.

Tabla 40: Análisis de ductilidad

Análisis de ductilidad			
DUCT CAPACIDAD 4,34			
DCUT DEMANDA 2,45			
Conclusion 1,88 REFORZAR			

De la misma manera si analizamos el factor de reducción sísmica aplicando la ecuación dada por COVENIN (1756-2001) la ductilidad multiplicado por 1,25 obtenemos que el R-Push

que se debe usar en vez de usar el R que nos otorga la tabla de la NEC-15, a continuación, se muestra la tabla para el espectro de demanda de 475 años:

Tabla 41: Análisis del factor de reducción sísmica R

Analisis del factor de reduccion sismica R			
DUCTILIDAD 4,34 <i>Metodo COVENIN</i>			
R-Push 5,42 (1756 - 2001)			
R-NEC	8		

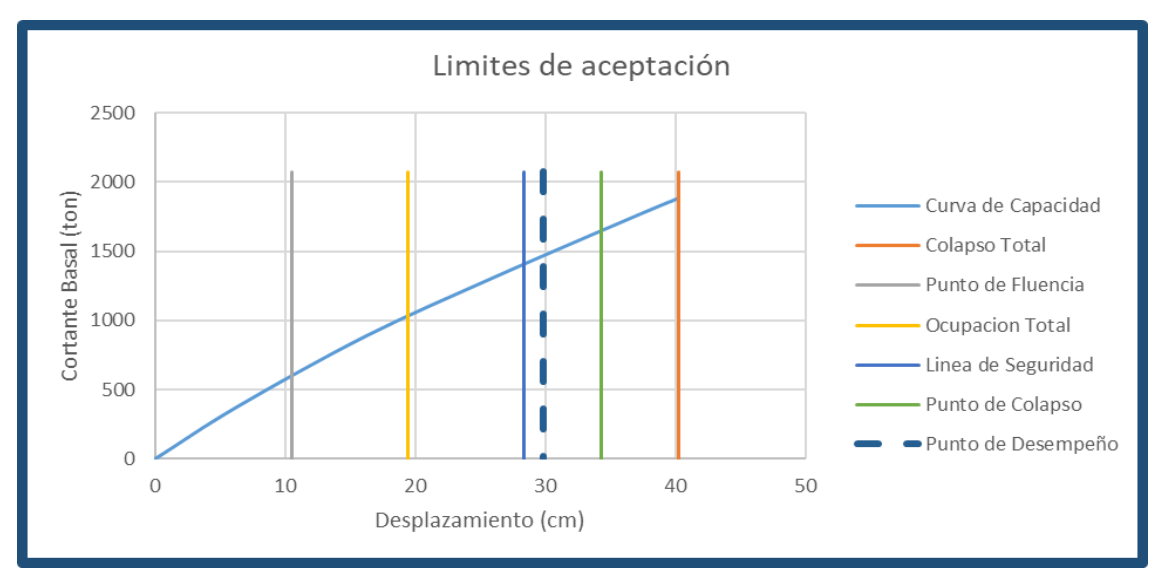


Ilustración 55. Curva de capacidad con los límites de aceptación de un sismo de 975 años con Pushover en el sentido "y".

Elaborado por: Anthony Terán Ibarra

Analizando el punto de desempeño con este sismo de categoría frecuente por cada 975 años, en primera instancia la línea de desempeño nos indica que la estructura se encuentra entre los límites de Línea de Seguridad y Punto de Colapso, analizando la ductilidad de capacidad vs la ductilidad de demanda se concluye que para este tipo de sismo la estructura debe ser reforzada, en la tabla se resume el análisis.

Tabla 42: Análisis de ductilidad

Análisis de ductilidad			
DUCT CAPACIDAD 3,81			
DCUT DEMANDA			
Conclusion 0,98 REFORZAR			

De la misma manera si analizamos el factor de reducción sísmica aplicando la ecuación dada por COVENIN (1756-2001) la ductilidad multiplicado por 1,25 obtenemos que el R-Push

que se debe usar en vez de usar el R que nos otorga la tabla de la NEC-15, a continuación, se muestra la siguiente tabla para el espectro de demanda de 975 años:

Tabla 43: Análisis del factor de reducción sísmica R

Analisis del factor de reduccion sismica R			
DUCTILIDAD 3,81 <i>Metodo COVENIN</i>			
R-Push 4,77 (1756 -2001)			
R-NEC	8		

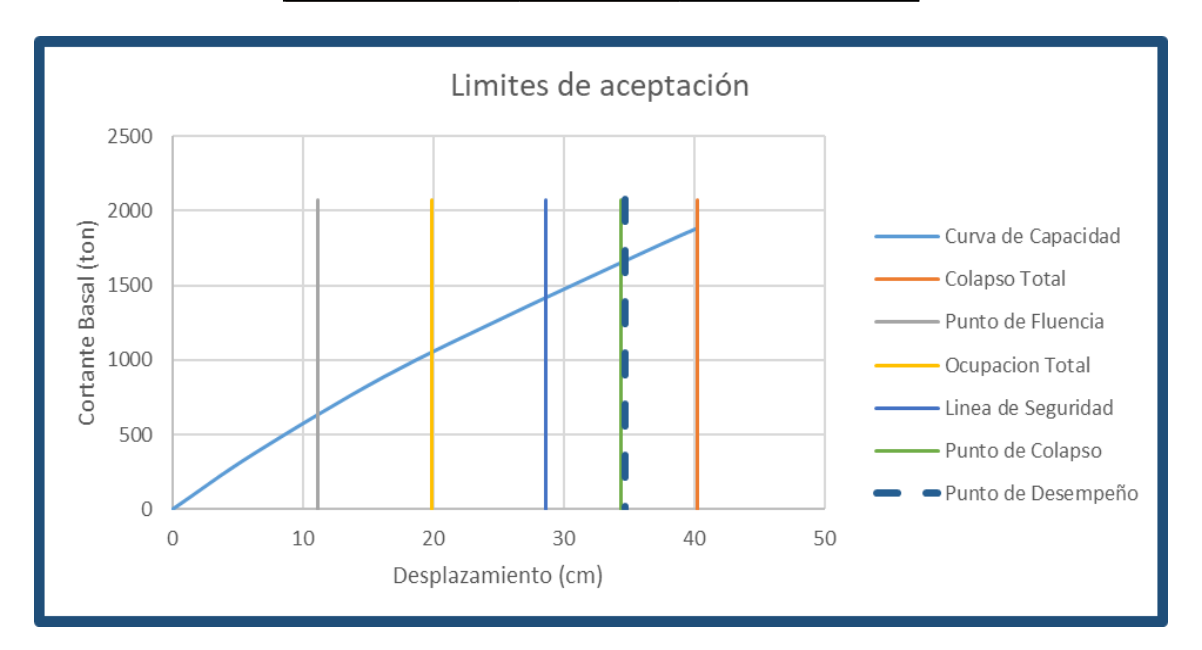


Ilustración 56: Curva de capacidad con los límites de aceptación de un sismo de 1500 años con Pushover aplicado en el sentido "y".

Elaborado por: Anthony Terán Ibarra

Analizando el punto de desempeño con este sismo de categoría frecuente por cada 1500 años, en primera instancia la línea de desempeño nos indica que la estructura ha incursionado entre los límites de Punto de Colapso y Colapso Total, analizando la ductilidad de capacidad vs la ductilidad de demanda se concluye que para este tipo de sismo la estructura debe ser reforzada, en la tabla se resumen el análisis.

Tabla 44: Análisis de ductilidad

Análisis de ductilidad			
DUCT CAPACIDAD 3,61			
DCUT DEMANDA 3,11			
Conclusion 0,50 REFORZAR			

De la misma manera si analizamos el factor de reducción sísmica aplicando la ecuación dada por COVENIN (1756-2001) la ductilidad multiplicado por 1,25 obtenemos que el R-Push

que se debe usar en vez de usar el R que nos otorga la tabla de la NEC-15, a continuación, se muestra la siguiente tabla para el espectro de demanda de 1500 años:

Tabla 45: Análisis del factor de reducción sísmica R

Analisis del factor de reduccion sismica R			
DUCTILIDAD 3,61 <i>Metodo COVENIN</i>			
R-Push	(1756 -2001)		
R-NEC	8		

Por lo que analizando los resultados de los otros sismos de demandas terminaran en el mismo caso esto se llega a notar comparando el desplazamiento de demanda con el desplazamiento último, esto se puede apreciar en la siguiente tabla:

Tabla 46: Resumen de los desplazamientos según el caso de sismo de demanda en sentido "y".

Desplazamiento del Metodo de los Coeficiente ASCE 41-13				
Años	Años dd du dy			
43	11,15	40,23	6,33	
72	13,50	40,23	6,33	
475 22,75 40,23 9,28				
975	29,86	40,23	10,55	
1500	34,68	40,23	11,15	

De los resultados obtenidos de este análisis en función de las rótulas plásticas generadas en los puntos de agrietamientos aplicados en el **sentido** "y", me indican que en su mayoría la estructura se encuentra en un límite de aceptación de **Ocupación Inmediata (IO)**, sin embargo, en los pisos 5,6 y 7 se evidenciaron rótulas plásticas en las vigas las cuales se encuentran en una zona próxima al **punto del colapso (CP)**, de manera que la estructura aún se encuentra estable, pero se tendrá que recurrir al refuerzo de dichos elementos estructurales (vigas) debido a que se puede generar un desplazamiento mayor a 40,23 cm lo cual ocasionaría el colapso total de los elementos estructurales.

De igual manera, los resultados obtenidos de este análisis en función de las rótulas plásticas generadas en los puntos de agrietamientos aplicados en el **sentido "x"**, me indican que en su mayoría la estructura se encuentra en un límite de aceptación de **Ocupación Inmediata (IO).** Sin embargo, existe un número considerable de rótulas plásticas en los pisos

3 y 4 incursionando en el límite de aceptación **Ocupación Inmediata (IO)** de manera que están expuestas a incursionar al límite de aceptación **Línea de Seguridad (LS)** al generarse posibles desplazamientos superiores a 27,32 cm, de ser así la estructura aún sigue siendo estable, pero se tendrá que recurrir al refuerzo de elementos estructurales tales como columnas.

En base a los resultados obtenidos de este análisis puedo determinar que la edificación se encuentra en un estado de Vulnerabilidad Sísmica **medio.**

3.11 Análisis de Vulnerabilidad Sísmica Aplicando la Metodología Propuesta por la Secretaría Nacional de Gestión de Riesgos (SNGR)

El viernes 6 de agosto del 2021, aproximadamente a las 10 de la mañana acudí al sitio en donde se encuentra la edificación de estudio. Socialice mi tema de estudio con la persona encargada de la edificación, quien muy gentilmente me facilitó el acceso a todas las instalaciones de la edificación y a su vez me facilitó toda la información que requería.

Una vez levantada toda la información pertinente, procedí a procesarla y haciendo uso de la tabla 2 de la Metodología SNGR obtuve los siguientes resultados:

METODOLOGÍA SNGR				
Sistema estructural	Describe la tipología estructural predominante en la edificación	Hormigón armado	0	
		Estructura metálica	1	
		Estructura de madera	1	
		Estructura de caña	10	
		Estructura de pared portable	5	
		Mixta madera/hormigón	5	
		Mixta metálica/hormigón	1	
Tipo de material en paredes	Describe el material predominante utilizado en las paredes divisorias de la edificación Describe el tipo de material utilizado como sistema de cubierta de la edificación	Pared de Ladrillo	1	
		Pared de bloque	1	
		Pared de piedra	10	
		Pared de adobe	10	
		Pared de	5	
		tapia/bahareque/madera Cubierta metálica	_	
			5	
		Losa de hormigón armado	0	
Tipo de cubierta		Vigas de madera y zinc	5	
		Caña y zinc	10	
		Vigas de madera y teja	5	
Sistema de entrepisos	Describe el tipo de material utilizado para el sistema de pisos diferentes a la cubierta	Losa de hormigón armado	0	
		Vigas y entramado madera	5	
		Entramado madera/caña	10	
		Entramado Metálico	1	
		Entramado hormigón/metálico	1	

Número de pisos	Se considera el número de pisos como una variable de vulnerabilidad, debido a que se altura incide en su comportamiento	1 piso	0
		2 pisos	1
		3 pisos	5
		4 pisos	10
		5 pisos o mas	1
Año de construcción	Permite tener una idea de la posible aplicación de criterios de diseño de defensa contra la	antes de 1970	10
		entre 1971 y 1980	5
7 110 00 0011011 0001011		entre 1981 y 1990	1
	amenaza	entre 1991 y 2010	0
		Bueno	0
	El grado de deterioro	Aceptable	1
Estado de conservación	influye en la vulnerabilidad de la edificación	Regular	5
		Malo	10
	El tipo de terreno influye en las características de vulnerabilidad física	Firme, seco	0
Características del suelo bajo la edificación		Inundable	1
		Ciénaga	5
		Húmedo, blando, relleno	10
Topografía del sitio	La topografía del sitio de construcción de la edificación indica posibles debilidades frente a la amenaza	A nivel, terreno plano	0
		Bajo nivel calzada	5
		Sobre nivel calzada	0
		Escarpe positivo o negativo	10
Forma de la construcción	La presencia de irregularidad en la edificación genera	Regular	0
		Irregular	5
	vulnerabilidades	Irregularidad severa	10

Con la información otorgada mediante la tabla 2 de la Metodología SNGR en función de la información levantada en el sitio, procedí a determinar el índice de vulnerabilidad para amenaza sísmica de la edificación haciendo uso de la tabla 3 de la Metodología SNGR, y obtuve los siguientes resultados:

Variable	Valores posibles del indicador	Ponderación	Valor máximo
Sistema estructural	0,1,5,10	0,3	3
Material de paredes	0,1,5,10	0,6	6
Tipo de cubierta	0,1,5,10	0,5	5
Tipo de entrepiso	0,1,5,10	0,5	5
Número de pisos	0,1,5,10	0,4	4
Año de construcción	0,1,5,10	0,25	2,5
Estado de conservación	0,1,5,10	0,5	5
Características del suelo	0,1,5,10	0,2	2
Topografía del sitio	0,1,5,10	0,2	2
Forma de construcción	0,1,5,10	1,2	12
Valor minimo = 0			46,5

Con el valor del índice de vulnerabilidad para amenaza sísmica obtenido mediante las respectivas ponderaciones efectuadas en la tabla 3 de la Metodología SNGR procedí a determinar el nivel de vulnerabilidad sísmica de la edificación tomando como referencia los valores de la tabla 4 de la Metodología SNGR.

Nivel de vulnerabilidad	Puntaje
Bajo	0 a 33 puntos
Medio	34 a 66 puntos
Alto	Más de 66 puntos

En función del valor obtenido de índice de vulnerabilidad para amenaza sísmica, obtuve como resultado un nivel de vulnerabilidad sísmica medio.

Cabe recalcar que esta metodología de análisis de vulnerabilidad sísmica propuesta por la Secretaría Nacional de Gestión de Riesgos (SNGR) no considera el efecto producido por las edificaciones adyacentes.

3.11.1 Análisis de Vulnerabilidad Sísmica aplicando la Metodología Propuesta en la Guía Práctica para Evaluación Sísmica y Rehabilitación de Estructuras, de Conformidad con la Norma Ecuatoriana de la Construcción (NEC).

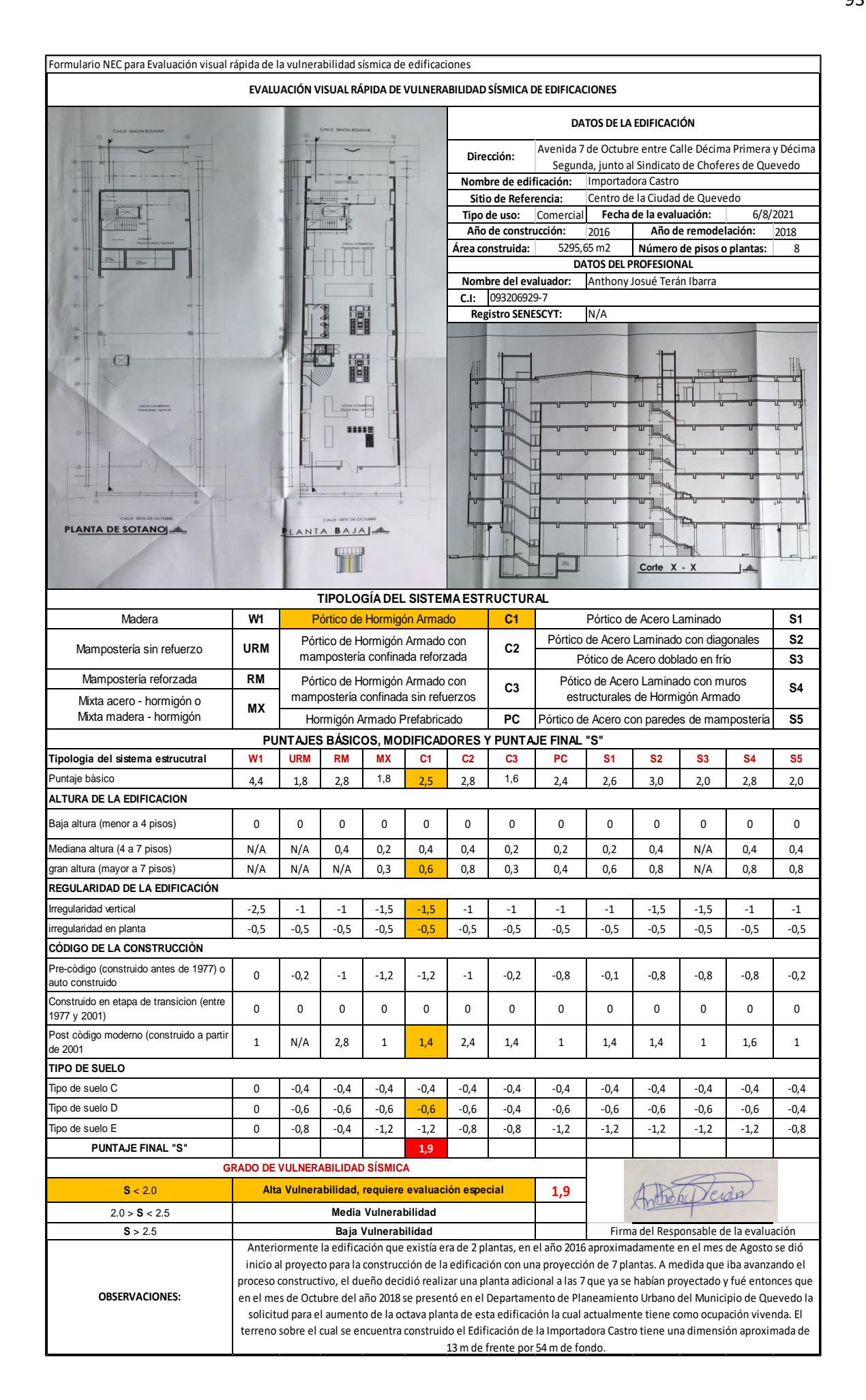
Con la información levantada el mismo viernes 6 de agosto del 2021 procedí a utilizarla e implementarla en esta metodología ya que esta información me sirve para realizar el respectivo análisis de vulnerabilidad sísmica haciendo uso del Formulario NEC para Evaluación visual rápida de la Vulnerabilidad sísmica de edificaciones, obtuve los siguientes resultados:

Con el puntaje final "s" procedo a determinar el grado de vulnerabilidad sísmica de la edificación en función de los valores referenciales propuestos en este formulario, y el grado de vulnerabilidad sísmica de la edificación obtenido fue el siguiente:

\$ < 2.0	Alta Vulnerabilidad, requiere evaluación especial 1,9 Media Vulnerabilidad		A Angho Devan
2.0 > S < 2.5			XIVIOUS AND
\$ > 2.5	Baja Vulnerabilidad		Firma del Responsable de la evaluación
OBSERVACIONES:	Anteriormente la edificación que existía era de 2 plantas, en e inicio al proyecto para la construcción de la edificación con un proceso constructivo, el dueño decidió realizar una planta adicien el mes de Octubre del año 2018 se presentó en el Departam solicitud para el aumento de la octava planta de esta edificac terreno sobre el cual se encuentra construido el Edificación de	a proyecció onal a las 7 ento de Pla ión la cual a la Importa	ón de 7 plantas. A medida que iba avanzando el que ya se habían proyectado y fué entonces que ineamiento Urbano del Municipio de Quevedo la actualmente tiene como ocupación vivenda. El dora Castro tiene una dimensión aproximada de

Como resultado de este análisis, obtuve un grado de vulnerabilidad sísmica **alto**, el cual a su vez me indica que la edificación en estudio requiere de una evaluación especial.

Al igual que la metodología empleada anteriormente (Metodología SNGR), la metodología propuesta en la guía práctica para evaluación sísmica y rehabilitación de estructuras, de conformidad con la norma ecuatoriana de la construcción (NEC) tampoco considera el efecto producido por las edificaciones adyacentes. Sin embargo, esta metodología considera propiedades intrínsecas de la edificación en estudio, lo cual nos proporciona un resultado más preciso respecto a la metodología anteriormente aplicada.

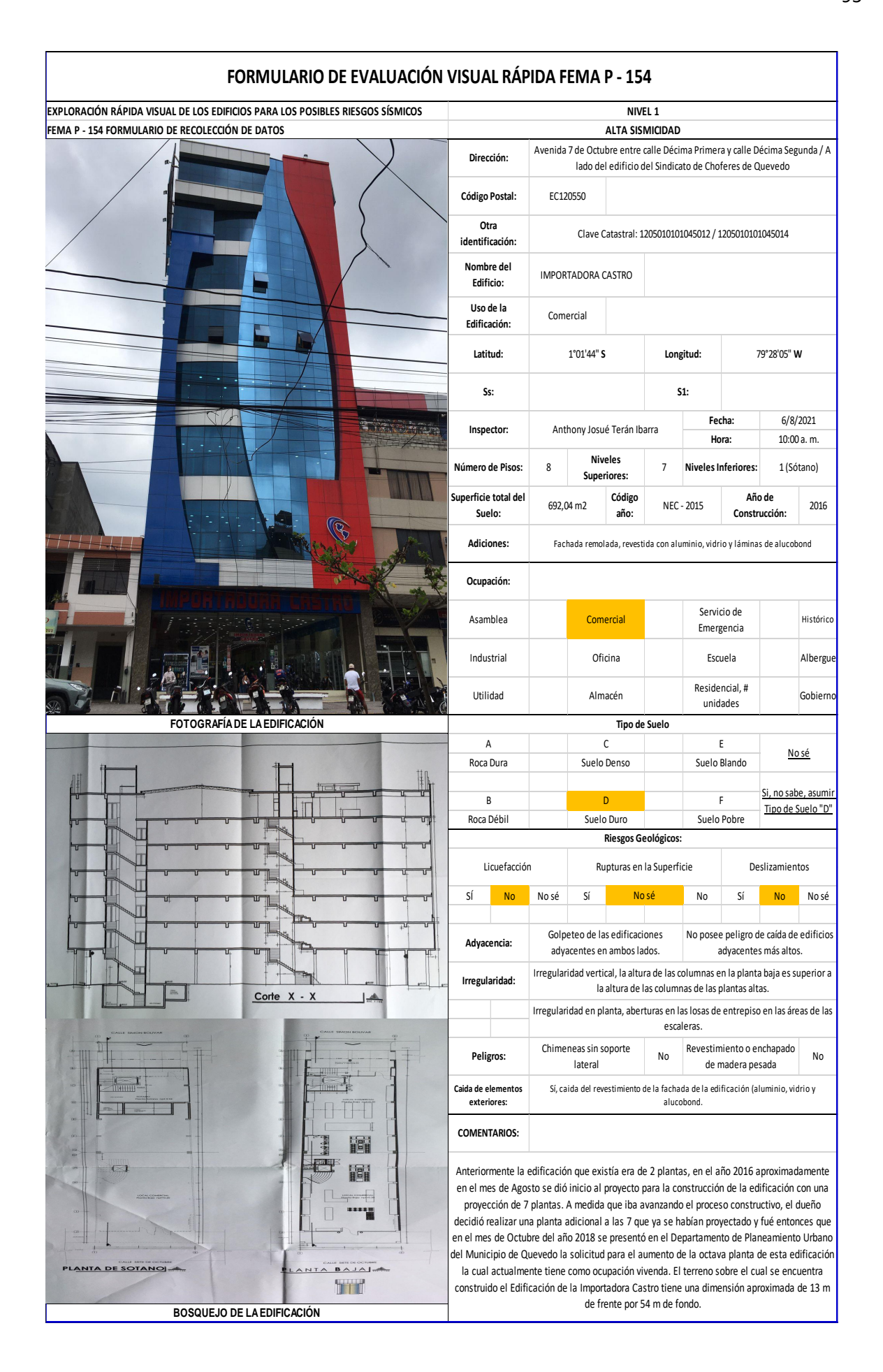


3.12 Análisis de Vulnerabilidad Sísmica Aplicando el Método FEMA P-154

De igual manera, la información levantada aquel viernes 6 de agosto del 2021 me ha sido de gran utilidad para realizar el análisis de vulnerabilidad sísmica de la edificación aplicando éstas 3 metodologías.

Debo mencionar que la metodología FEMA P-154 en su formulario de evaluación visual rápida evalúa la vulnerabilidad sísmica de la edificación considerando parámetros como el golpeteo potencial, riesgo de caída de más edificios altos adyacentes, riesgos geológicos, peligros no estructurales, etc.

Haciendo uso de la información levantada y utilizando el formulario de evaluación visual rápida FEMA P-154 del Nivel 1 (Alta Sismicidad) obtuve los siguientes resultados:



NOTA DE BASE, MODIFICADORES Y ULTIMA PUNTUACION NIVEL 1, SL1																	
Tipologia del sistema estrucutral	W1	W1A	W2	S1 (MRF)	S2 (BR)	S3 (LM)	S4 (RCSW)	S5 (URMN)	C1 (MRF)	C2 (SW)	C3 (URMI)	PC1 (TV)	PC2	RM1 (FD)	RM2 (RD)	URM	МН
Puntaje bàsico	3,6	3,2	2,9	2,1	2,0	2,6	2,0	1,7	1,5	2,0	1,2	1,6	1,4	1,7	1,7	1,0	1,5
Irregularidad vertical grave, VL1	-1,2	-1,2	-1,2	-1,0	-1,0	-1,1	-1,0	-0,8	-0,9	-1,0	-0,7	-1,0	-0,9	-0,9	-0,9	-0,7	N/A
Irregularidad vertical moderada, VL1	-0,7	-0,7	-0,7	-0,6	-0,6	-0,7	-0,6	-0,5	-0,5	-0,6	-0,4	-0,6	-0,5	-0,5	-0,5	-0,4	N/A
Irregularidad de planta, PL1	-1,1	-1	-1	-0,8	-0,7	-0,9	-0,7	-0,6	-0,6	-0,8	-0,5	-0,7	-0,6	-0,7	-0,7	-0,4	N/A
Pre-Codigo	-1,1	-1	-0,9	-0,6	-0,6	-0,8	-0,6	-0,2	-0,4	-0,7	-0,1	-0,5	-0,3	-0,5	-0,5	0	-0,1
Posterior-año de Referencia	1,6	1,9	2,2	1,4	1,4	1,1	1,9	N/A	1,9	2,1	N/A	2,0	2,4	2,1	2,1	N/A	1,2
Suelo tipo A o B	0,1	0,3	0,5	0,4	0,6	0,1	0,6	0,5	0,4	0,5	0,3	0,6	0,4	0,5	0,5	0,3	0,3
Suelo tipo E (1-3 pisos)	0,2	0,2	0,1	-0,2	-0,4	0,2	-0,1	-0,4	0	0	-0,2	-0,3	-0,1	-0,1	-0,1	-0,2	-0,4
suelo tipo E (>3 pisos)	0,3	-0,6	-0,9	-0,6	-0,6	N/A	-0,6	-0,4	-0,5	-0,7	-0,3	N/A	-0,4	-0,5	-0,6	-0,2	N/A
Puntaje Mínimo "Smin"	1,1	0,9	0,7	0,5	0,5	0,6	0,5	0,5	0,3	0,3	0,3	0,2	0,2	0,3	0,3	0,2	1
FINAL PUNTAJE NIVEL 1, SL1 >= Smin									1,4								
Alcance de control						OTROS RIESGOS ACCIÓN REQUERIDA											
Exterior: X Parcial		Todos lo	os lados		Aéreo	¿Hay peligros que provocan una evaluación Evaluación detallada estructural requerida?											
Interior: Ninguna	Х	Visible			Aereo		detal	lada estruc	tural?			Sí, tipo de	edificio c	desconoce	FEMA u o	tro edifico	
Dibujo comentado: Si	Х	No				X	Golpeado	potecial (a	menos S	L2 > Línea	Х	Sí, el resultado da menos que el de corte.					
Tipo de fuente de suelo: N/A						de corte si se conoce).			Sí, se presentan otros peligros.								
Tipo de fuente de peligro geológico: N/A					П	Riesgo d	e caída de i	más edific	ios altos	□ No							
Persona de contacto: Arq. Mílton Macías					ш		adyace	ntes.		Evaluación detallada no estructural recomendada?							
INSPECCIÓN DE NIVEL 2 REALIZADA?						Riesgos Geológicos o Tipo de Suelo Sí, peligros no estructurales identificados que deben se			ben ser ev	aluados.							
X Sí, Final de la puntuación del Nivel 2, SL2 = 0,3 No				No		Daños significativos / Deterioro al			X N	No, existen peligros no estructurales que pueden requerir la							
Peligros No Estruccturales: X Si No				No		Sistema Estructural. X mitigación, sino una evaluación detallada no e			ada no es r	ecesaria.							
Cuando la información no puede ser verificada, se toma en cuenta lo siguiente: EST = Estimado o Datos fiables ó DNK: No lo sé.																	

Los resultados arrogados mediante el formulario FEMA P-154 de Nivel 1 nos da una ponderación de 1,4, este resultado lo procedí a comparar con la siguiente tabla de valores referenciales para determinar la vulnerabilidad sísmica de la edificación:

Interp	Interpretación de los resultados (comportamiento esperado de las construcciones)					
	Alta probabilidad de tener daño de grado 5 y muy alta probabilidad de tener daño					
S<0.3	de grado 4					
	Alta probabilidad de tener daño de grado 4 y muy alta probabilidad de tener daño					
0.3 <s<0.7< th=""><th>de grado 3</th></s<0.7<>	de grado 3					
	Alta probabilidad de tener daño de grado 3 y muy alta probabilidad de tener daño					
0.7 <s<2.0< th=""><th>de grado 2</th></s<2.0<>	de grado 2					
	Alta probabilidad de tener daño de grado 2 y muy alta probabilidad de tener daño					
2.0 <s<3.0< th=""><th>de grado 1</th></s<3.0<>	de grado 1					
S>3.0	Probabilidad de tener daño de grado 1					

Como podemos apreciar en la tabla, según el valor que obtuve en el Formulario FEMA P-154 de Nivel 1, la edificación posee una **alta probabilidad de tener daño de grado 3 y muy alta probabilidad de tener daño de grado 2**, ya que el valor de 1,4 se encuentra dentro del rango **0,7 < S <2,0**.

Dentro de esta misma metodología existe un segundo formulario denominado Formulario FEMA P-154 de Nivel 2 Alta Sismicidad el cual es opcional, sin embargo, para mi tema de estudio lo he considerado para determinar y obtener un valor más ajustado de la vulnerabilidad sísmica de la edificación.

Este formulario se basa en los siguientes parámetros y es el siguiente:

Exploración rápida visual	de los edificio	s de posibles rie	esgos sísmicos.				el 2 (Opcional)			
FEMA P-154 Formulario de Recolección de Datos. Alta Sismicidad										
la recopilación de datos de nivel 2 opcional al ser realizado por un profesional de la ingeniería civil o estructural, un arquitecto o un estudiante graduado con experiencia en la evaluación y el diseño							eño de edi	ficios sísmico.		
Nombre del edificio: Importadora Castro Puntaje Final Nivel 1: S _{L1} = 1,4 (No se considera Smin) Inspector: Anthony Josué Terán Ibarra Modificadores de Irregularidad Nivel 1: Irregularidad Vertical = -0,9 Irregularidad Vertical = -0,9							ridad nlar	nta = -0.6		
Inspector: Anthony Josué Terán Ibarra Modificadores de Irregularidad Nivel 1: Irregularidad Vertical = -0,9 Irregularidad plar Fecha / Hora: $06-08-2021/10:00$ am PUNTAJE BASE AJUSTADO: $S' = (S_{L1} - V_{L1} - P_{L1}) = (1,4 - (-0,9) - (-0,6)) = 2,9$								ita0,0		
1 0 0 0 0 0 0 0 0 0 0 0 0 0 0 0 0 0 0 0	PONTAJE BASE AJUSTADO: $S = (S_{L1} - V_{L1} - V_{L1}) = (1.4 - (-0.9) - (-0.6)) = 2.9$ MODIFICADORES ESTRUCTURALES PARA AGREGAR A LA PUNTUACIÓN DE REFERENCIA AJUSTADA									
Tema									Si	Subtotales
Tellia	Pendiente en	Declaración (Si la declaración es verdad, encierre el modificador en un círculo el "Si", sino tachar el modificador) ente en Edificio W1: Hay por lo menos un completo cambio de grado de piso desde el lado del edificio al otro.						-1,2	Subtotales	
	sitio No edificio W1: Hay por lo menos un completo cambio de grado de piso desde el lado del edificio al otro.						-0,3			
			red baja: Una pared baja sin r						-0,6	
		W1 casa de gar	aje: Debajo de un piso que o	cupa, hay una ape	rtura de gar	aje sin un marco de acero o d	e momento hay n	nenos de 20	-1,2	
	Piso débil	-	n la misma línea (para múltip						1,2	
			•	uras en el suelo de	e los pisos (o	como para el estacionamiento	o) en por los men	os 50% de la	-1,2	
	(máximo encierre en	longitud del ed		ا مع میرمامیرزم م		aug al FOO/ dal nice cunorior e	la altura da auali			
			: Longitud dei Sistema latera : la altura del piso superior.	ii eri cualquier pisc	o es menor d	que el 50% del piso superior o	ia aitura de cuair	quier piso es	-0,9	
	arr circulo)			l en cualquier pisc	o es entre el	50% y 75% de los del piso sup	perior o la altura o	de cualquier		
Irregularidad Vertical			,3 y 2,0 veces la altura del pis			,,			-0,5	
VETICAL VL2		Elementos ver	ticales del sistema lateral en	un piso superior e	están por fue	era de los del piso de abajo ha	ciendo el despla	zamiento en	-1,0	
VL2	Caídas	el diafragma a								
				· · · · · · · · · · · · · · · · · · ·		dentro de los que están en pi			-0,5	
						ongitud de los elementos en		al tions	-0,3	
	Columna		ra/ancho de menos del 50% (•	largo del eje de la columna en	i ei sistema iater	ai tiene	-0,5	
	corta		,			de la mitad del ancho de la en	iuta o hav parede	es advacentes		
			leno que acortan la columna.				, , , ,	, , , , , , , , , , , , , , , , , , , ,	-0,5	
	Dividido	Hay un nivel de	e división en uno de los nivel	les de piso o en el	techo.				-0,5	
	Otra			-		l comportamiento sísmico de			-1,0	$V_{L2} = -1$
	-					l comportamiento sísmico del	edificio.		-0,5	(Cap at -1,2)
			lativamente bien distribuida ente abierto W1A enumerad		•	bas direeciones.			-0,7	
Irregularidad						l que no son ortogonales entr	e sí.		-0,4	
Planta						a dimensión global del plan e			-0,4	
PL2	Abertura del o	diafragma: Hay ւ	una abertura en el diafragma	con un ancho de r	más del 50%	del total al ancho de diafragr	na en ese nivel.		-0,2	
	Edificio C1, C2 desplazado fuera del plano: Las vigas exteriores no se alínean con las columnas en el plano.							-0,4	$P_{L2} = -0, 2$	
Exceso	-	-	regularidad plana observable tramos de elementos latera	•		mportamiento sísmico del ed	ificio.		-0,7 0,3	(Cap at -1,2)
Exceso			e estructura adyacente en			rticalmente dentro de 60 cm.	(Canacida	d total del	-1,0	
Golpeando			e la más corta del edificio y			pisos más alto que el otro.		lodificadores	-1,0	
		estructura ac	dyacente y:	El edifici	io se encuen	tra al final del bloque.	de -	-1,2)	-0,5	
Edificio S2	Ů	de arriostramie							-1,0	
Edificio C1	-		en el marco de momento.		1-1 -	1 10 11		1 11	-0,4	
Edificio PC1 / RM1			ared que sean visibles o cono daptación o punto de referer		libujos que r	no se basen en la flexión de v	igas cruzadas (No	los combine	0,3	
Edificio					(en lugar de	e un espacio interior con algu	nas naredes inter	riores como		
PC1 / RM1	en un almacé		curos, artaras rienas de las p	areaes interiores	(cugu. uc	an espacio interior con alga-	ias parcaes inter	10103 001110	0,3	
URM	Gabletes de p	aredes están pr	esentes.						-0,4	
MH			mico suplementario proporc		arro y el suel	lo.			1,2	M = -1.4
Reequipamiento			al es visible o conocido a par						1,4	
			$M \ge S_{min} = (2.9 + (-1) + 6.0)$ The affecte negativamente alocal			adificación:	Si 🗌	do al formato d No	el Nivel 1)	
,			•			· Nivel 1 que la evaluación de				
,,,,,,,,,,,,,,,,,,,,,,,,,,,,,,,,,,,,,,,						·				
Ubicación	Dodaración (I	Marque "Sí" o "N		OS NO ESTRUCTUE	RALES OBSER	RVABLES	Si	No	Cor	nentario
Obicación			ería no reforzada no arriostra	ada o chimenea de	e mamposte	ría no reforzada.	31	X	COI	Hentano
			enchapado pesado.					X		
	Hay una gran	cubierta sobre la	as puertas de salida o pasare	las de peatones qu	ue parece ap	ooyado adecuadamente.		X		
Exterior	Hay un acceso	rio de mampost	tería no reforzada sobre las p	uertas de salida o	zonas peato	onales.		X		
Hay un letrero en el edificio que indica los materiales peligrosos que están presentes.										
Hay un edificio URM adyacente más alto con una pared no anclada o parapeto URM no arriostrado o chimenea. X Otros riesgos de caída exterior no estructural observado.						Alicas	-1			
	Otros riesgos de caída exterior no estructural observado. Hay teja de barro o ladrillo hueco, particiones en cualquier escalera o salida de pasillos. X						v	Alumi	nio y Vidrio	
Interior	Otros peligros no estructurales interiores que pueden colapsar observados.							Α	Lámpar	as colgantes
Rendimiento sísmico estimado para no estructural (Marque la casilla apropiada y traslade la información al Formulario de Nivel 1 en la casilla de conclusiones)										
X Peligros no estructurales potenciales con amenaza significativa para la seguridad de la vida del inquilino - Detallado no estructural evalucación recomendada.										
Peligros no estructurales identificados con amenaza significativa para la seguridad de la vida de los ocupantes - Detallado no estructural evalucación necesaria.										
Baja o ninguna amenaza de peligro estructural de seguridad de la vida del ocupante - Detallado no estructural. No se requiere evaluación.										
Comentarios:										
					-	candelabros de tamaños y pe				fciación, así
como también el revestimiento de la fachada de la edificación en su exterior, todo esto atenta contra la vida de las personas al momento de un sísmo o terremoto.										

El resulta obtenido de este Formulario Nivel 2 fue una ponderación de 0,3, dicho valor lo obtuve tomando en consideración todos los parámetros tipificados en este formulario los cuales se basan en parámetros ya evaluados en el Formulario Nivel 1 y en parámetros más específicos de la edificación, con los cuales realizando operaciones algebraicas llegué a obtener este valor de 0,3 el cual fue muy ajustado.

Interp	retación de los resultados (comportamiento esperado de las construcciones)
	Alta probabilidad de tener daño de grado 5 y muy alta probabilidad de tener daño
S<0.3	de grado 4
	Alta probabilidad de tener daño de grado 4 y muy alta probabilidad de tener daño
0.3 <s<0.7< th=""><th>de grado 3</th></s<0.7<>	de grado 3
	Alta probabilidad de tener daño de grado 3 y muy alta probabilidad de tener daño
0.7 <s<2.0< th=""><th>de grado 2</th></s<2.0<>	de grado 2
	Alta probabilidad de tener daño de grado 2 y muy alta probabilidad de tener daño
2.0 <s<3.0< th=""><th>de grado 1</th></s<3.0<>	de grado 1
S>3.0	Probabilidad de tener daño de grado 1

Realizando la respectiva comparación con la tabla de valores referenciales pude determinar que, la edificación una vez más presenta una alta probabilidad de tener daños, pero esta vez los daños son de grado 5 y a su vez posee una muy alta probabilidad de tener daño de grado 4.

CAPÍTULO IV

Resultados

4.1 Observaciones Finales del Análisis no Lineal Estático (Pushover)

- Se observa que la curva de capacidad no es convexa, esto se debe a que los muros que se encuentran ubicados en la parte central de la edificación aportan inercia al momento en que el edifico sufra una deflexión.
- Realizando el análisis tanto en el sentido X como el sentido Y se debe considerar la dirección del sismo más crítica, el cual en este caso es la cara más larga de la edificación, debido a la poca inercia existente en este sentido, por lo tanto, se ve reflejado el poco desempeño en el sentido X.
- Se debe realizar un reforzamiento apropiado y utilizar el nuevo factor de amortiguamiento sísmico "R", ya que el valor que nos ofrece la NEC-15 es un valor general según el sitio en el que se encuentre la estructura.

4.2 Resultado de la Comparación de Datos Obtenidos en los Análisis Efectuados

Realizando la comparación de los resultados obtenidos mediante las diferentes metodologías aplicadas para determinar la vulnerabilidad sísmica de la edificación en estudio, obtuve lo siguiente:

Los resultados obtenidos para la metodología Fema P-154, tiene valores similares a los obtenidos aplicando la metodología de la Norma Ecuatoriana de la Construcción (NEC) ya que, en ambos resultados, catalogan a la edificación de estudio con un **alto grado de vulnerabilidad sísmica** y con la necesidad de aplicar un estudio más detallado para la correcta estimación de la vulnerabilidad sísmica. Esto debido principalmente a que el modificador (código de construcción), afecta en gran medida los resultados. La edificación evaluada se construyó en años anteriores a la creación de códigos de construcción en el Ecuador, por lo cual se presentan dichos resultados.

Por otro lado, la metodología SNGR, considera que la edificación de estudio posee una vulnerabilidad sísmica media. Dicho resultado es completamente opuesto a los resultados obtenidos de las demás metodologías aplicadas, ya que, en estas la edificación de estudio presenta alta vulnerabilidad sísmica y sugieren un estudio más detallado de la misma. Se considera esta variación, debido a que es una metodología más flexible en lo referente a análisis estructural, ya que por ejemplo no considera irregularidades en planta o elevación como modificador del índice de vulnerabilidad, simplemente considera un modificador de índice de vulnerabilidad referente a la forma de la construcción o edificación.

4.3 Evaluación del Riesgo de Construir Edificaciones Contiguas

De la comparación realizada en base a los resultados obtenidos de las 3 diferentes metodologías aplicadas, se evidenció claramente que en los resultados de los 3 análisis aplicados, éstos oscilan en una ponderación de la vulnerabilidad sísmica de media a alta, mencionando y haciendo énfasis en que 2 de las 3 metodologías aplicadas no consideran la adyacencia de edificaciones en el análisis de la determinación de la vulnerabilidad sísmica, sin embargo, al no considerar este factor como un modificador de índice de vulnerabilidad sísmica en el análisis o evaluación de la edificación para determinar la vulnerabilidad sísmica de la misma, aun así los resultados obtenidos de una de estas 2 metodologías es un nivel de vulnerabilidad sísmica **medio** y de la otra metodología el resultado obtenido es un grado de vulnerabilidad sísmica **alto.**

Por consiguiente, puedo concluir que, construir edificaciones contiguas aumenta el riesgo de colapso y por ende la vulnerabilidad sísmica tanto de la edificación a construirse como la de las edificaciones adyacentes ya construidas.

4.4 Determinación de la Importancia del Uso de Juntas Sísmicas

Si bien es cierto, cada edificación sufrirá un desplazamiento lateral a lo largo de su eje vertical conocido como deriva de entrepiso al momento de presentarse un evento sísmico, por ende, al no existir un espaciamiento entre las edificaciones adyacentes, éstas se

golpearán entre sí generando un fenómeno de golpeteo que también es conocido como "pounding" en el idioma inglés. Este fenómeno de golpeteo que se genera al momento de producirse un evento sísmico puede ocasionar el colapso de la estructura y también de las estructuras adyacentes. Adicional al posible fenómeno de golpeteo, también es muy probable que se genere el famoso fenómeno de columna corta al tener edificaciones adyacentes con losas no alineadas, ya que al no existir alineación en los entrepisos estos provocarán la restricción del desplazamiento de los elementos estructurales verticales (columnas).

Por tales razones, se puede determinar que es de gran importancia el uso de juntas sísmicas al momento de construir edificaciones junto a edificaciones adyacentes, ya que la finalidad de éstas es evitar el contacto con las edificaciones adyacentes al momento de producirse las derivas de entrepiso, la misma que deberá ser calculada en función de la deriva de entrepiso que se genera en la última planta de la edificación, ya que es aquí en donde la estructura desempeñará o alcanzará su máximo desplazamiento horizontal.

CAPÍTULO V

Conclusiones y Recomendaciones

Con los resultados obtenidos de la presente investigación, tanto del análisis estructural de la edificación mediante el uso del software ETABS como de los análisis visuales efectuados, puedo concluir que toda estructura de ingeniería civil, ya sea esta un puente, una edificación, una carretera, una represa, etc., siempre estará expuesta al peligro latente de los sismos, aunque éstas sean construidas con los códigos y normativas de construcción actuales y vigentes los cuales se basan en los estudios realizados en función de la ingeniería sísmica y el diseño sismorresistente, por tal razón es evidente e importante diseñar y construir estructuras sismo resistentes con la finalidad primordial de salvaguardar las vidas humanas tanto de las personas que ocuparán la estructura como la de las personas que se encuentren fuera de ella. También debemos recordar que el concepto de ingeniería civil se caracteriza por diseñar y construir estructuras que deben ser primordialmente seguras, funcionales y económicas.

Basándome en mi tema de estudio y en los resultados obtenidos de los análisis efectuados concluyo que es de vital importancia, a más de diseñar y construir edificaciones sismo resistentes, tomar en consideración las causas y los efectos que pueden producir las edificaciones adyacentes al momento de producirse un sismo, debido a que éstas se desplazarán lateralmente al momento de producirse un sismo con lo cual se generará el fenómeno de golpeteo o también conocido como "pounding" el cual puede provocar el colapso inmediato de las estructuras adyacentes, de igual forma en el caso de tener edificaciones adyacentes con losas no alineadas, esto inducirá a restringir el desplazamiento de las columnas colindantes de los niveles superiores produciendo el fenómeno de columna corta el cual también es causante del colapso de las estructuras ante eventos sísmicos.

Por tal motivo recomiendo el uso de juntas sísmicas en todos los procesos constructivos de edificaciones en donde se presenten edificaciones contiguas, ya sean estas con losas alineadas o no alineadas, con la finalidad de dejar una separación o abertura prudente entre las edificaciones colindantes para evitar el golpeteo entre ellas al momento de generarse las derivas de entre piso producidas a causa de la vibración generada por las ondas sísmicas de un evento sismo.

Bibliografía

- Alvarez Sanchez, J. J., & Pulgar Santacruz, X. O. (2019). Análisis de vulnerabilidad sísmica de los módulos escolares públicos en el distrito de Villa María del Triunfo mediante el método Índice de vulnerabilidad (Fema p-154) y su validación mediante cálculo de distorsiones laterales. 0–172.
- Barbat, A., Oller, S., & Vielma, J. (2005). *Cálculo y diseño sismorresistente de edificios. Aplicación de la norma NCSE-02*. https://doi.org/10.13140/2.1.4142.6244
- Bergman, J. (2016). *Tierra*.
 - https://www.windows2universe.org/?page=/earth/geology/quake_4.html&lang=sp&e
- Bozzo Rotondo, L. M., & Harbat, A. H. (2014). *Diseño sismorresistente de edificios :técnicas convencionales y avanzadas* (Issue sp). :Reverté(imp. 2014).
- Buñay, L. G., & Tenelema, F. A. (2014). Universidad Nacional De Chimborazo. In *Obtencion* de mapas del indice de vulnerabilidad sismica de las viviendas construidas en el barrio La Libertad de la ciudad de Riobamba.
 - http://dspace.unach.edu.ec/handle/51000/677%0Ahttp://dspace.unach.edu.ec/bitstream/51000/1381/1/UNACH-EC-AGR-2016-0002.pdf
- FEMA P-154. (2015). Rapid Visual Screening of Buildings for Seismic Hazards: A Handbook (3 ed.). (Federal Emergency Management Agency (ed.); 3 ed.). Federal Emergency Management Agency.
- Ludeña Guaicha, G. F. (2017). Estudio de vulnerabilidad sísmica del Colegio 9 de Octubre aplicando la Norma Ecuatoriana de Construcción mediante metodología FEMA 154.

 UNIVERSIDAD TECNICA DE MACHALA.
- MIDUVI, & SGR. (2016). Guía práctica para evaluación sísmica y rehabilitación de estructuras, de conformidad con la Norma Ecuatoriana de la Construcción NEC 2015. In *Norma Ecuatoriana de la Construcción* (Vol. 5).
- NEC-SE-DS. (2015). Cargas Sísmicas Diseño Sismo Resistente. In *Norma Ecuatoriana de la Construcción*.
 - http://www.indeci.gob.pe/proyecto58530/objetos/archivos/20110606102841.pdf%0Ahttps://www.habitatyvivienda.gob.ec/wp-content/uploads/downloads/2015/02/NEC-SE-DS-Peligro-Sísmico-parte-1.pdf (in spanish)
- NEC. (2015). Riesgo Sísmico, Evaluación, Rehabilitación de Estructuras. In *Dirección de Comunicación Social, MIDUVI*. https://www.habitatyvivienda.gob.ec/wp-content/uploads/downloads/2015/02/NEC-SE-RE-Riesgo-sísmico.pdf
- Osorio, D. (2017). Evaluación y diseño para la rehabilitación de la vivienda del Sr. Walter Santos en la parroquia Pedernales. http://repositorio.puce.edu.ec/handle/22000/14551
- Ruff L. J. (1996). Large earthquakes in subduction zones, segment interaction and

- recurrence times. In: Bebout, G. E., Scholl, D. W., Kirby, S. H. Platt, J. P. (Eds). Subduction top to bottom. *Geophysical Monograph*, *96*, 91–104.
- SNGR y otros. (2011). Propuesta Metodológica para el análisis de vulnerabilidad en función de amenazas a nivel municipal (Secretaría Nacional de Gestión de Riesgos & Programa de las Naciones Unidas Ecuador para el Desarrollo (eds.)). https://biblioteca.gestionderiesgos.gob.ec:8443/files/original/c4620f0705eae9f57bd96f6 928e83a20.pdf
- Swenson, J. L., & Beck, S. L. (1999). Source Characteristics of the 12 November 1996 Mw 7.7 Peru Subduction Zone Earthquake. *Pure and Applied Geophysics*, *154*(3), 731–751. https://doi.org/10.1007/s000240050250
- Tibaldi A., & León J. (2000). Morphometry of late Pleistocene-Holocene faulting and volcanotectonic relationship in the southern Andes of Colombia. *Tectonics*, *10*, 358–377.
- Toulkeridis T. (2009). Geodinámica y Vulcanología del Ecuador (Continental e Insular) Amenazas, Vulnerabilidad y Riesgos. *Encuentro Internacional Sobre Gestión Del Riesgo Natural Con Énfasis En El Sector Eléctrico*.
- Véliz Indacochea, C. F. (2018). Evaluación de la Vulnerabilidad Sísmica de Edificios de Hormigón Armado: Aplicación al Área Urbana del Centro Histórico de la Ciudad de Portoviejo.
- Yépez Moya, F., Barbat Barbat, A., & Canas Torres, J. (1996). Simulación de escenarios de daño sísmico en zonas urbanas. Revista Internacional de Métodos Numéricos Para Cálculo y Diseño En Ingeniería, 12(3), 331–358. https://upcommons.upc.edu/handle/2099/7823
- Zapata Martí, R., Caballeros, R., Jarquín, E., Perfit, J., & Mora, S. (2000). La reducción de la vulnerabilidad frente a los desastres. In *Enfrentando Desastres Naturales: Una Cuestión del Desarrollo*.
 - http://www.crid.or.cr/digitalizacion/pdf/spa/doc12961/doc12961-contenido.pdf

Anexos

Tipos de perfiles de suelos para el diseño sísmico según la NEC-2015

Tipo de perfil	Descripción	Definición					
A	Perfil de roca competente	V ₆ ≥ 1500 m/s					
В	Perfil de roca de rigidez media	1500 m/s >V _s ≥ 760 m/s					
С	Perfiles de suelos muy densos o roca blanda, que cumplan con el criterio de velocidad de la onda de cortante, o	760 m/s > V₅≥ 360 m/s					
	Perfiles de suelos muy densos o roca blanda, que cumplan con cualquiera de los dos criterios	N ≥ 50.0 S _u ≥ 100 KPa					
	Perfiles de suelos rígidos que cumplan con el criterio de velocidad de la onda de cortante, o	360 m/s > V _s ≥ 180 m/s					
D	Perfiles de suelos rígidos que cumplan cualquiera de las dos condiciones	50 > N ≥ 15.0 100 kPa > Su≥ 50 kPa					
	Perfil que cumpla el criterio de velocidad de la onda de cortante, o	Vs < 180 m/s					
Е	Perfil que contiene un espesor total H mayor de 3 m de arcillas blandas	IP > 20 w ≥ 40% S _u < 50 kPa					
	Los perfiles de suelo tipo F requieren una evaluación realizada expingeniero geotecnista. Se contemplan las siguientes subclases:	olícitamente en el sitio por un					
	F1—Suelos susceptibles a la falla o colapso causado por la excitación sísmica, tales como; suelos licuables, arcillas sensitivas, suelos dispersivos o débilmente cementados, etc.						
	F2—Turba y arcillas orgánicas y muy orgánicas (H > 3m para turba o arcillas orgánicas y muy orgánicas).						
F	F3—Arcillas de muy alta plasticidad (H > 7.5 m con índice de Plasticidad IP > 75)						
	F4—Perfiles de gran espesor de arcillas de rigidez mediana a blanda (H > 30m)						
	F5—Suelos con contrastes de impedancia α ocurriendo dentro de los primeros 30 m superiores del perfil de subsuelo, incluyendo contactos entre suelos blandos y roca, con variaciones bruscas de velocidades de ondas de corte.						
	F6—Rellenos colocados sin control ingenieril.						

Los parámetros utilizados en la clasificación son los correspondientes a los 30 m superiores del perfil para los perfiles tipo A, B, C, D y E. Aquellos perfiles que tengan estratos claramente diferenciables deben subdividirse, asignándoles un subíndice i que va desde 1 en la superficie, hasta n en la parte inferior de los 30 m superiores del perfil.

Para el perfil tipo F se aplican otros criterios, como los expuestos en la sección 10.5.4 de la NEC y la respuesta no debe limitarse a los 30 m

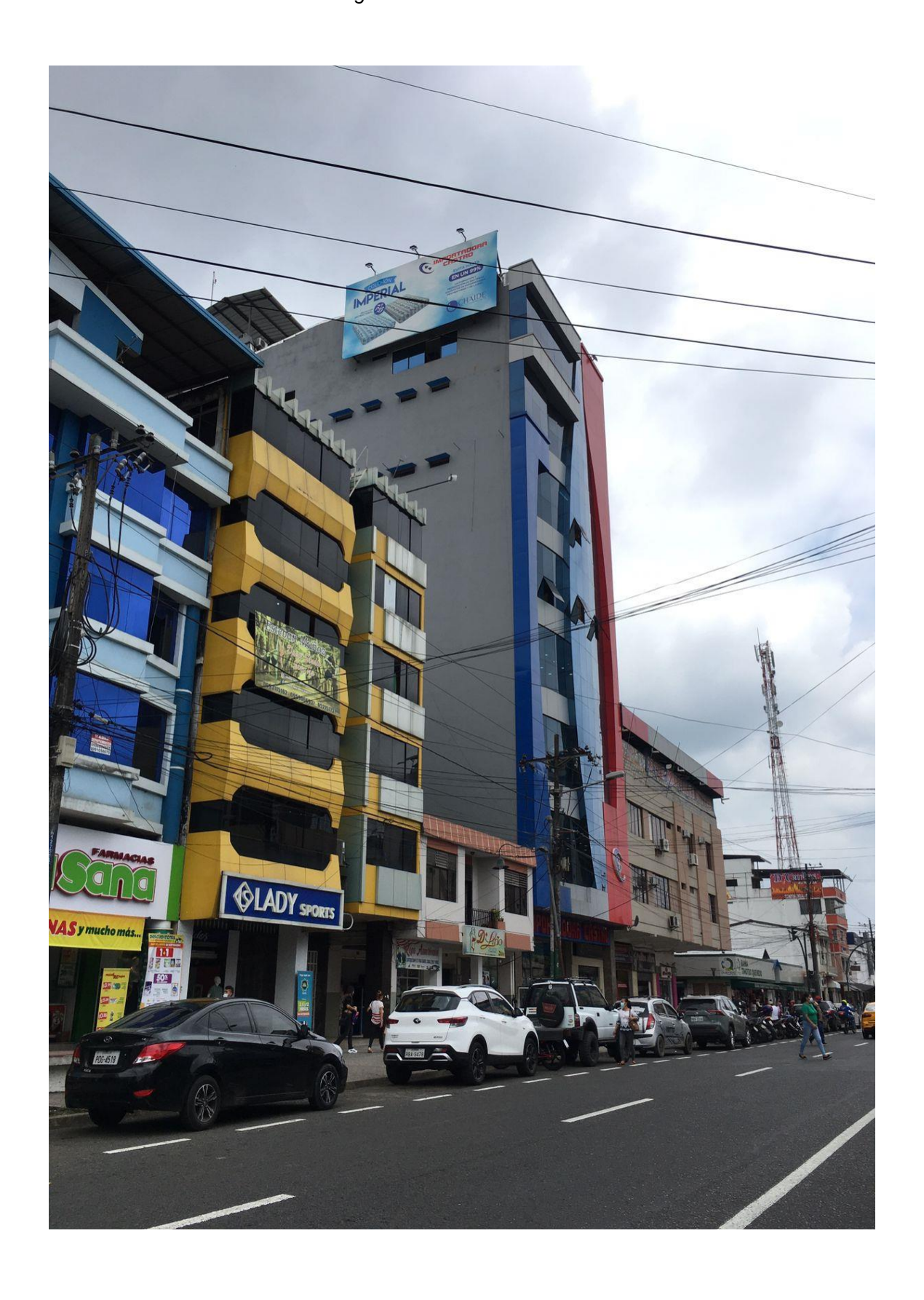
superiores del perfil en los casos de perfiles con espesor de suelo significativo

FOTOGRAFÍA # 1 Fotografía del terreno en el año 2015



FOTOGRAFÍA # 2 Fotografía de la Avenida 7 de octubre en el año 2015





FOTOGRAFÍA # 4 Fotografía de la fachada de la edificación en la Avenida 7 de Octubre

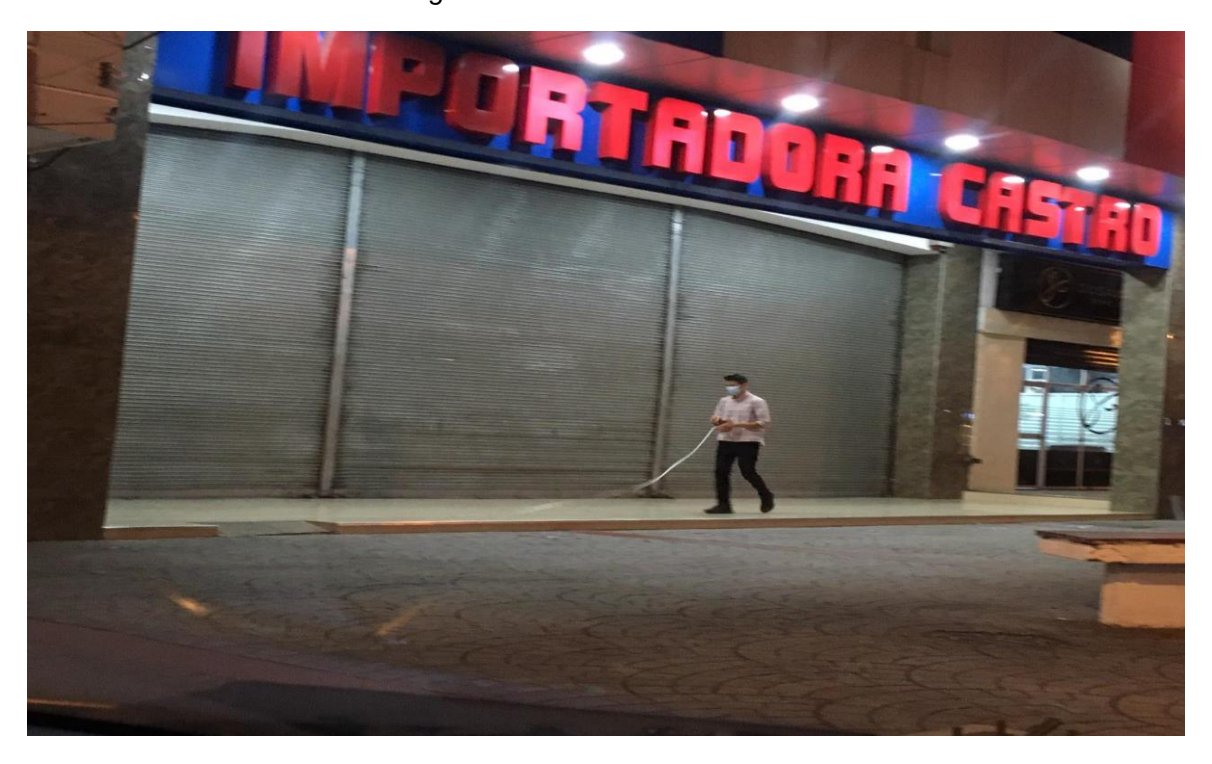




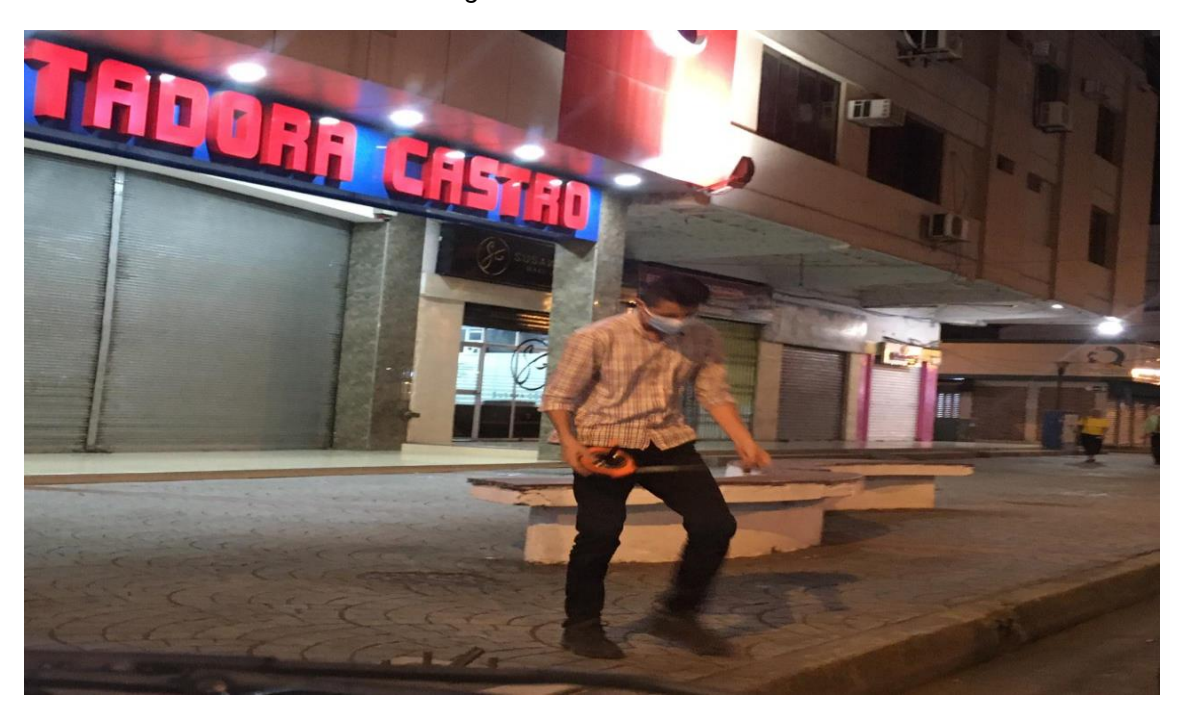
FOTOGRAFÍA # 6 Fotografía de toma de medidas del frente en la Avenida 7 de Octubre



FOTOGRAFÍA # 7 Fotografía de toma de medidas del frente de la edificación



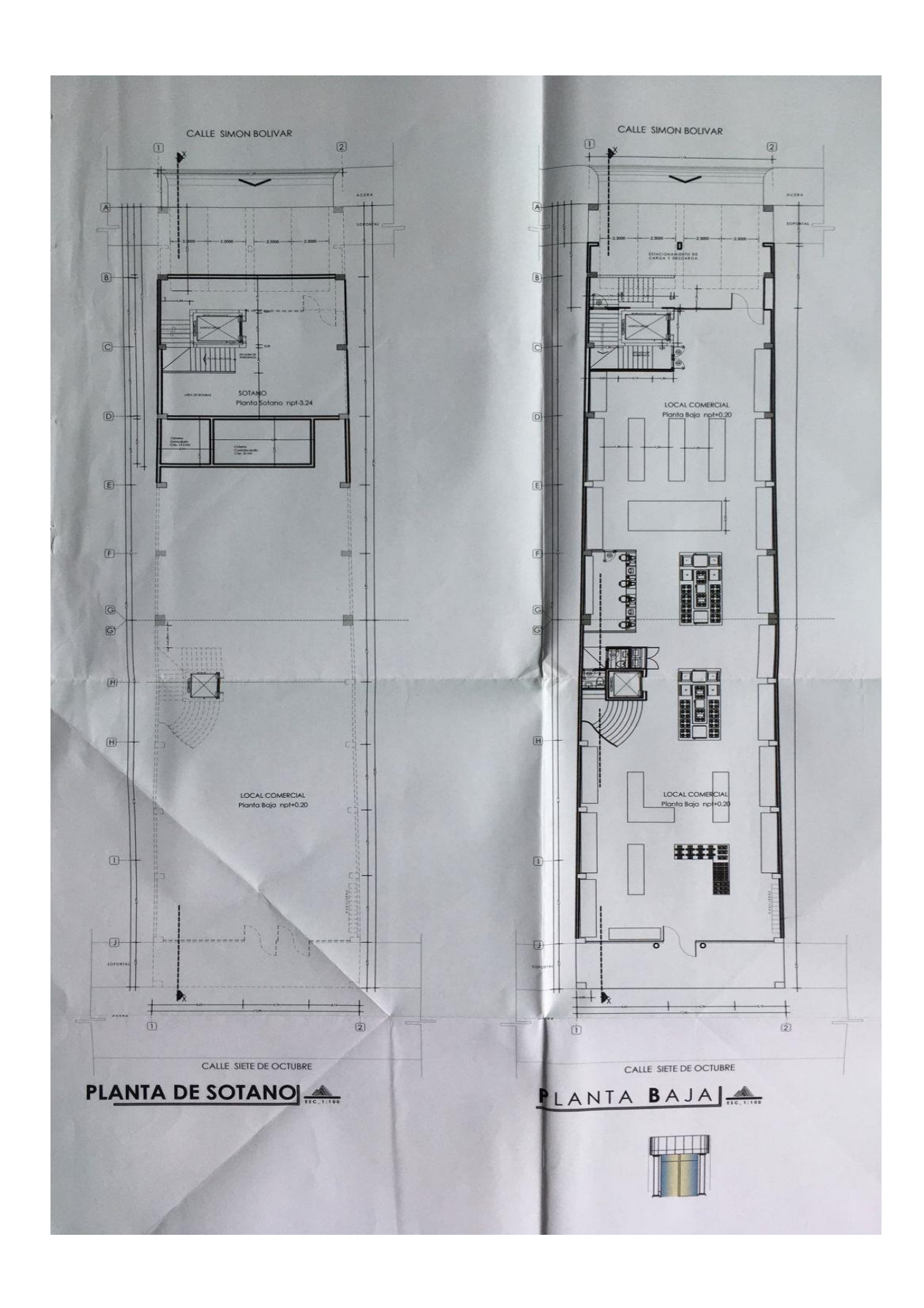
FOTOGRAFÍA # 8 Fotografía toma de medidas de ancho de la acera



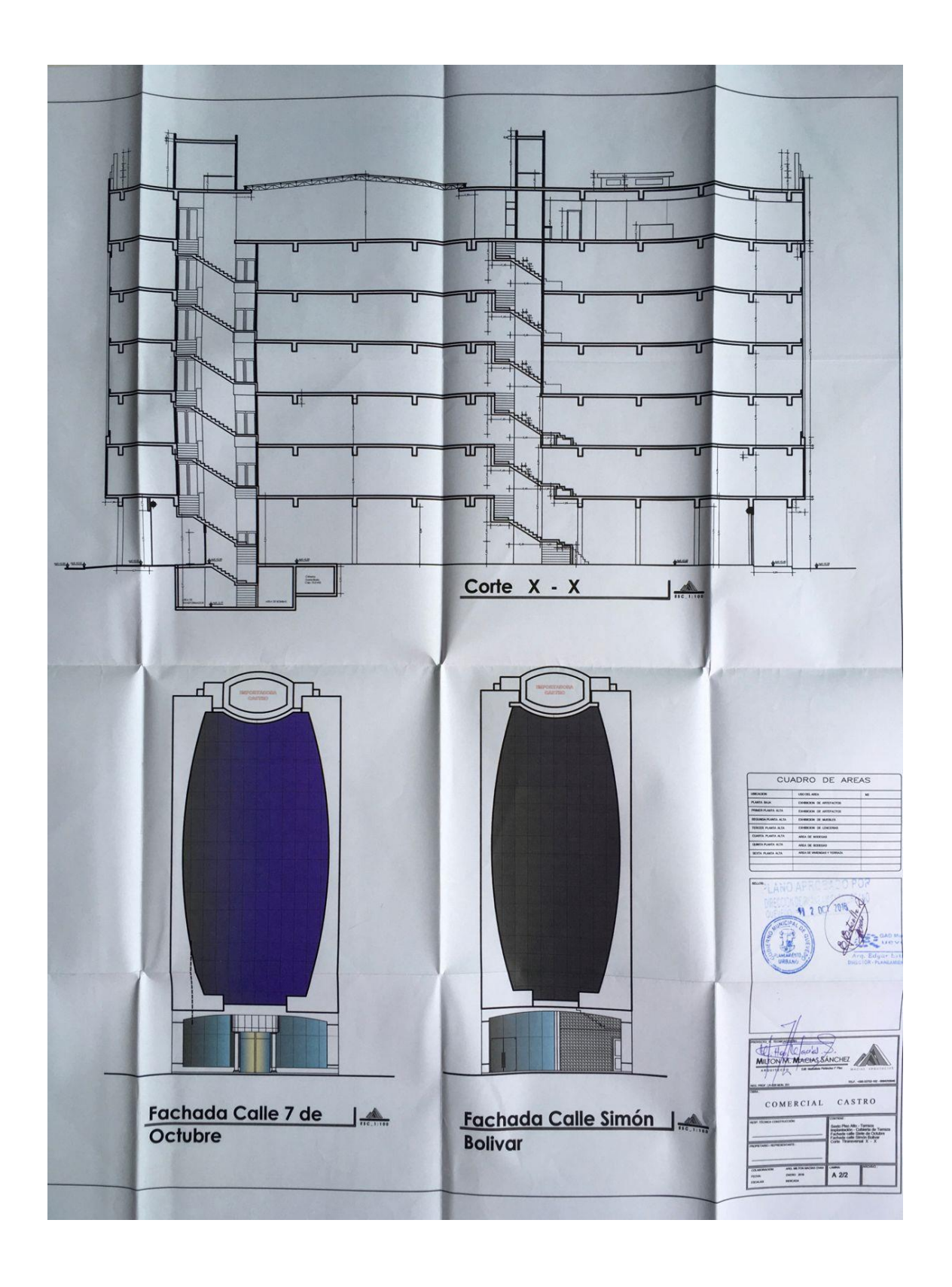
FOTOGRAFÍA # 9 Fotografía toma de medidas de anchos en la Avenida 7 de Octubre



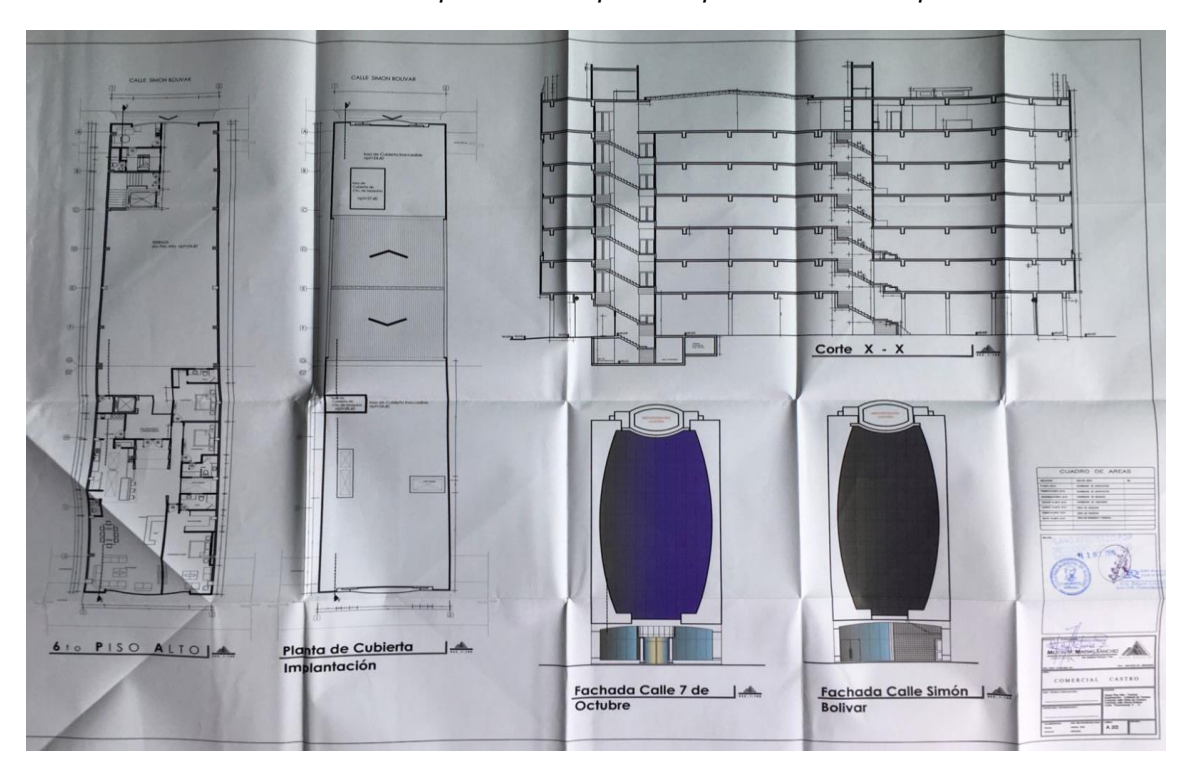
FOTOGRAFÍA # 10 Planta de Sótano y Planta baja - Plano Aprobado por el GAD Municipal de Quevedo



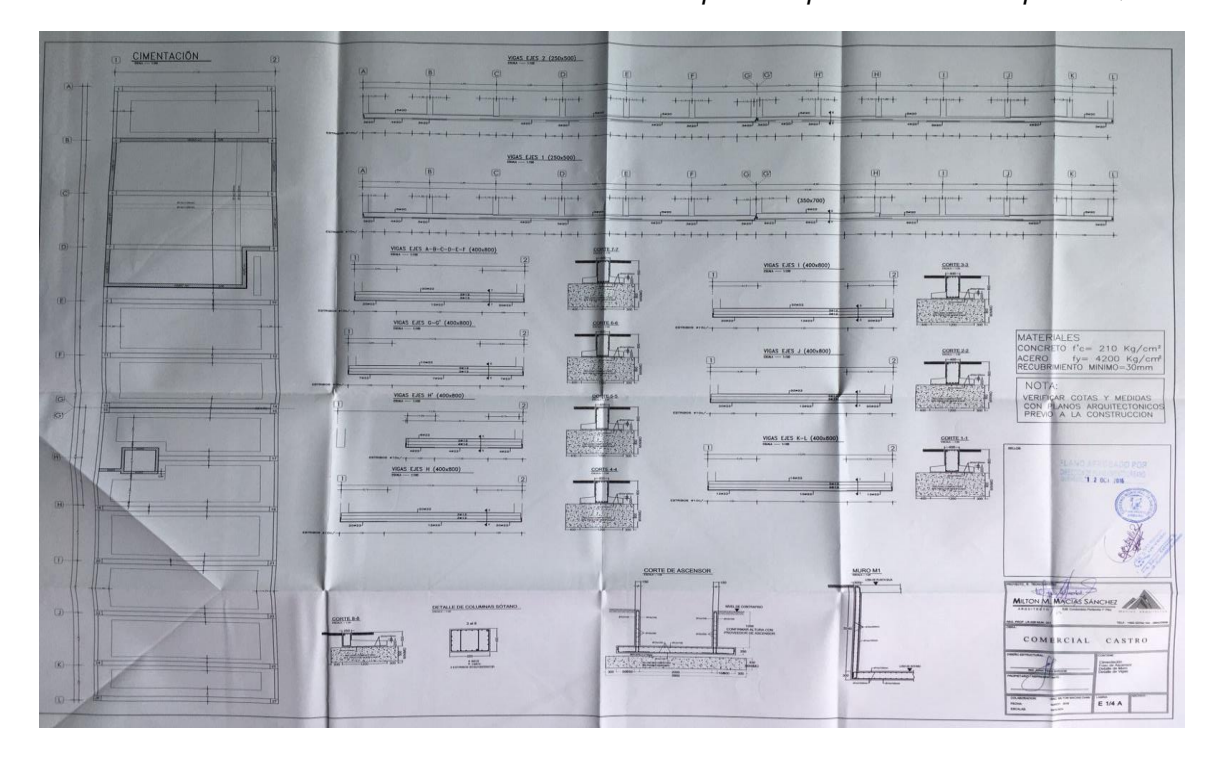
FOTOGRAFÍA # 11 Corte en elevación y Fachada - Plano Aprobado por el GAD Municipal de Quevedo



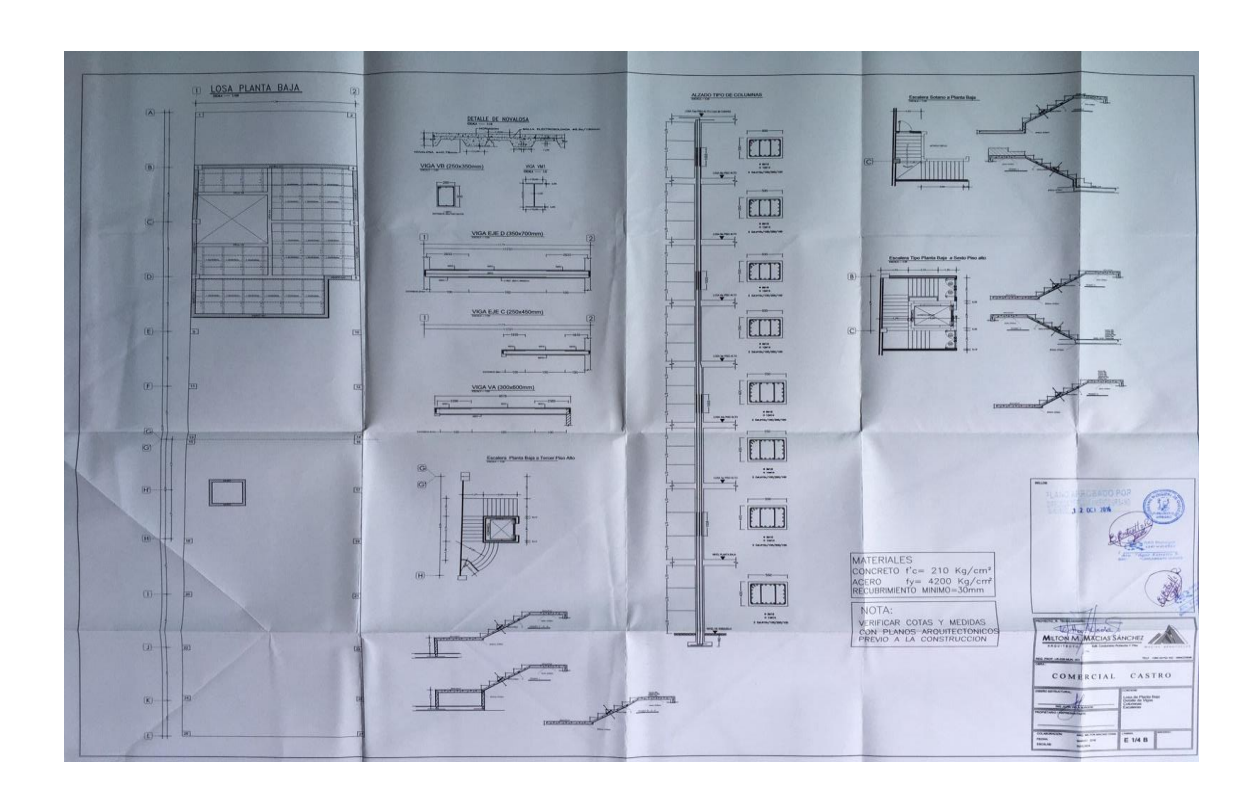
FOTOGRAFÍA # 12 Plano Arquitectónico Aprobado por el GAD Municipal de Quevedo



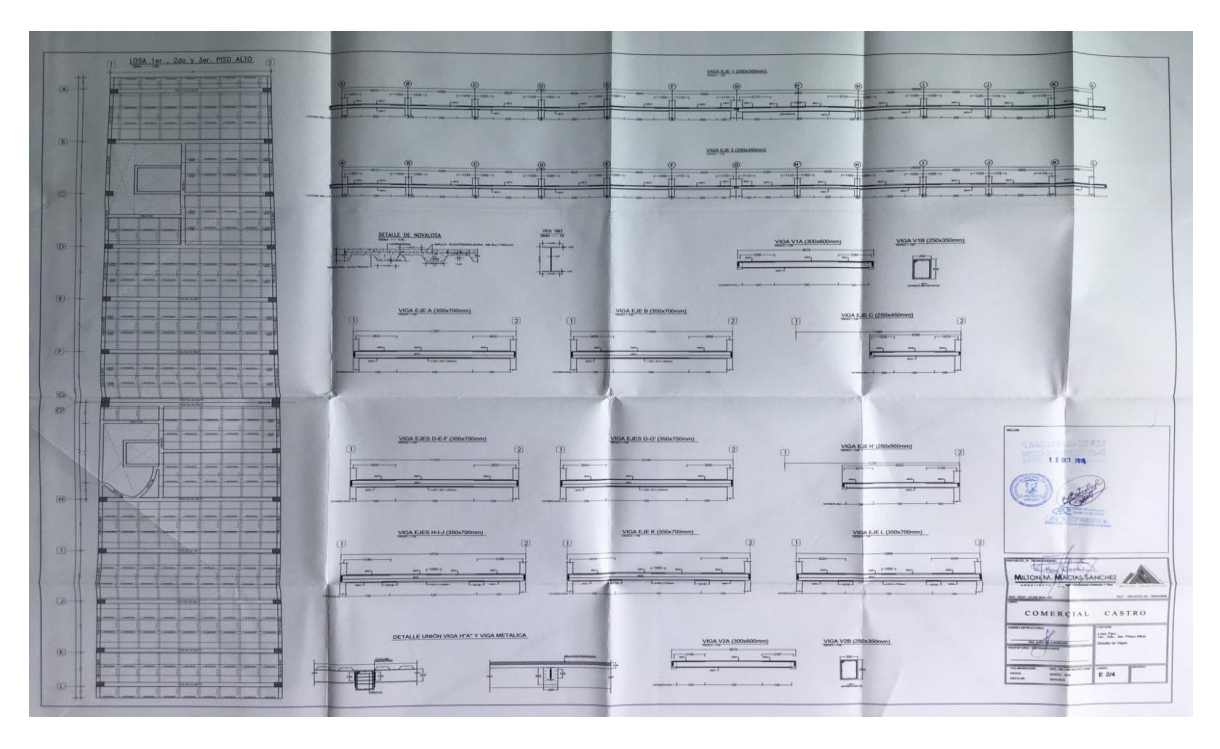
FOTOGRAFÍA # 13 Plano Estructural de la Cimentación Aprobado por el GAD Municipal de Quevedo



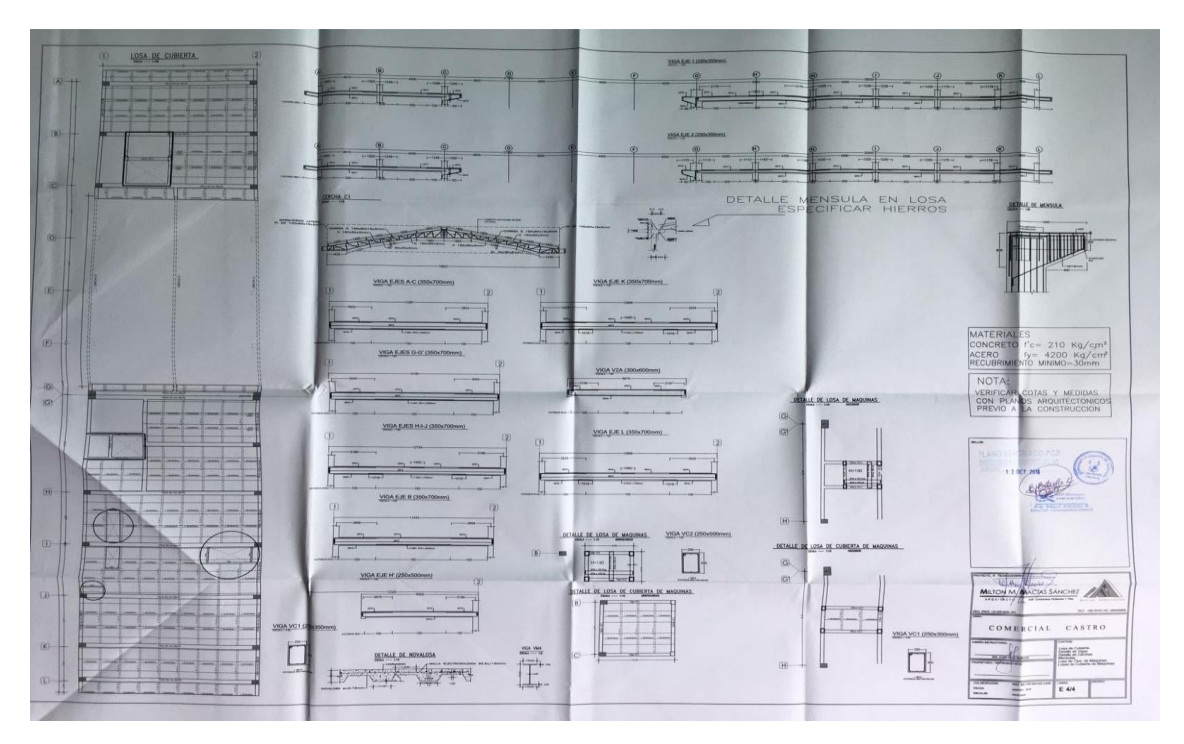
FOTOGRAFÍA # 14 Plano Estructural de la Planta Baja Aprobado por el GAD Municipal de Quevedo



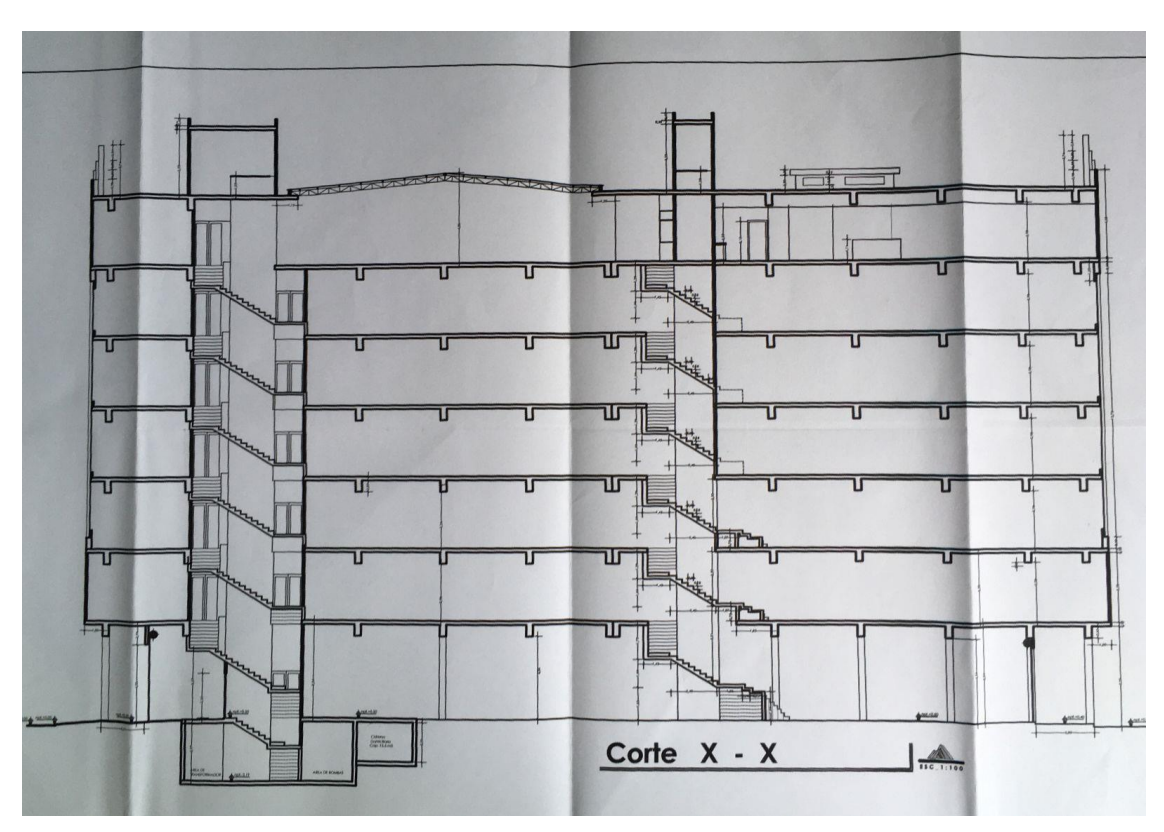
FOTOGRAFÍA # 15 Plano Estructural de 1er, 2do y 3er Piso Alto Aprobado por el GAD Municipal de Quevedo



FOTOGRAFÍA # 16 Plano Estructural de Losa de Cubierta Aprobado por el GAD Municipal de Quevedo



FOTOGRAFÍA # 17 Corte en Elevación de la Edificación





FICHA DE REGISTRO DE TRABAJO DE TITULACIÓN







REPOSITORIO NACIONAL EN CIENCIA Y TECNOLOGÍA						
FICHA DE	FICHA DE REGISTRO DE TESIS/TRABAJO DE GRADUACIÓN					
	Análisis de vulnerabilidad sísmica de una edificación de 8					
TÍTULO Y SUBTÍTULO:	niveles con edificios contiguos con losas alineadas y no					
	alineadas.					
AUTOR(ES)	TERÁN IBARRA ANTHONY	JOSUÉ				
REVISOR(ES)/TUTOR(ES)	Tutor: Ing. Douglas Iturburu,					
KEVISOK(ES)/TOTOK(ES)						
,	Revisor: Ing. Alexis Jama, M	SC.				
INSTITUCIÓN:	Universidad de Guayaquil					
UNIDAD/FACULTAD:	Facultad de Ciencias Matemáticas y Físicas					
MAESTRÍA/ESPECIALIDAD:						
GRADO OBTENIDO:	Ingeniero Civil					
FECHA DE PUBLICACIÓN:	Octubre, 2021	No. DE PÁGINAS:	105 pág.			
ÁREAS TEMÁTICAS:	REAS TEMÁTICAS: Análisis de vulnerabilidad sísmica de edificación y losas					
	alineadas y no alineadas					
PALABRAS CLAVES/	ANALISIS - VULNERABILIDAD SÍSMICA- EDIFICACIÓN-					
KEYWORDS:	LOSAS- ALINEADAS Y NO ALINEADAS.					

RESUMEN/ABSTRACT:

La presente investigación se desarrolló con el propósito de analizar y evaluar la vulnerabilidad sísmica en una edificación.

Se tomó como referencia metodologías existentes en Ecuador y el método ATC21 (que incluye el formulario FEMA P-154), que permitieron obtener los indicadores suficientes que permitió determinar que toda edificación siempre estará expuesta a peligro latente, por lo cual deberá realizarse su estudio conforme lo determinan el código y normas de construcción, con la finalidad de precautelar las vidas humanas.

El estudio realizado permitió determinar la vulnerabilidad existente al estar en contigüidad con construcciones de losas alineadas y no alineadas, y es necesario tomar en cuenta las causas y efectos que pueden producir estas. Por ello se recomienda la construcción de juntas sísmicas lo que permitirá que exista la separación suficiente y así evitar el golpeteo o pounding.

ADJUNTO PDF:	SI				
CONTACTO CON AUTOR/ES:	Teléfono: 096-397-2315 099-240-8125	E-mail: tonyysay@hotmail.com yibarra_uteq@hotmail.com			
CONTACTO CON LA	Nombre: FACULTAD DE C FÍSICAS	CIENCIAS MATEMÁTICAS Y			
INSTITUCIÓN:	Teléfono: 052-747297				
	E-mail: fmatematicas@ug.edu.ec				